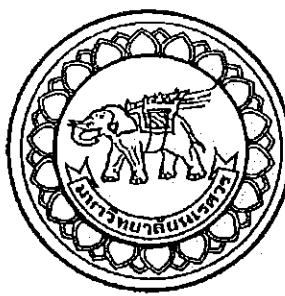


อภินันทนาการ



การพัฒนาแหล่งจ่ายกำลังสวิตซิ่ง
THE DEVELOPMENT OF SWITCHING POWER SUPPLY



17194961

ผศ
4/66 ก
2558

ปริญญาในพนธ์นี้เป็นส่วนหนึ่งของการศึกษาหลักสูตรปริญญาวิศวกรรมศาสตรบัณฑิต
สาขาวิชาวิศวกรรมไฟฟ้า ภาควิชาวิศวกรรมไฟฟ้าและคอมพิวเตอร์
คณะวิศวกรรมศาสตร์ มหาวิทยาลัยแม่ฟ้า
ปีการศึกษา 2558



ใบรับรองปริญญานิพนธ์

ชื่อหัวข้อโครงการ	การพัฒนาแหล่งจ่ายกำลังสวัสดิ์		
ผู้ดำเนินโครงการ	นายนนทพันธุ์ จันทร์วิทูร	รหัส	51383898
	นายกุมิณ พงษ์มาศ	รหัส	51384918
ที่ปรึกษาโครงการ	(ผู้ช่วยศาสตราจารย์ ดร.สุชาติ แย้มเม่น)		
สาขาวิชา	วิศวกรรมไฟฟ้า		
ภาควิชา	วิศวกรรมไฟฟ้าและคอมพิวเตอร์		
ปีการศึกษา	2558		

คณะกรรมการสาขาวิชา มหาวิทยาลัยบดินทรเดชา อนุมัติให้ปริญญานิพนธ์ฉบับนี้เป็นส่วนหนึ่ง
ของการศึกษาตามหลักสูตรวิศวกรรมศาสตรบัณฑิต สาขาวิศวกรรมไฟฟ้า

ที่ปรึกษาโครงการ

(ผู้ช่วยศาสตราจารย์ ดร.สุชาติ แย้มเม่น)

กรรมการ

(ผู้ช่วยศาสตราจารย์ ดร.พันต์ นัดฤทธิ์)

กรรมการ

(ผู้ช่วยศาสตราจารย์ ดร.สุวิทย์ กิริวิทยา)

ชื่อหัวข้อโครงงาน	การพัฒนาวงจรแหล่งจ่ายกำลังสวิตชิ่ง		
ผู้ดำเนินโครงการ	นายนนทพันธุ์ จันทร์วิทูร	รหัส 51383898	
	นายภูมิน พงษ์ภาณุ	รหัส 51384918	
ที่ปรึกษาโครงงาน	ผู้ช่วยศาสตราจารย์ ดร.สุชาติ แย้มเม่น		
สาขาวิชา	วิศวกรรมไฟฟ้า		
ภาควิชา	วิศวกรรมไฟฟ้าและคอมพิวเตอร์		
ปีการศึกษา	2558		

บทคัดย่อ

ในโครงงานนี้จะออกแบบและพัฒนาแหล่งจ่ายกำลังสวิตชิ่ง เพื่อนำมาใช้เป็นแหล่งจ่ายกำลังงานให้กับเกียร์ไฟฟ้า ที่พิกัดแรงดัน 5 V และกระแส 100 mA โดยวงจรแหล่งจ่ายกำลังสวิตชิ่งมีการนำองค์ประกอบของวงจรคือ ไอ ໂอด ซีเนอร์ ไอ ໂอด ทรานซิสเตอร์ օอปโตคัปเปลอร์ ตัวเก็บประจุ ตัวด้านทาน และ หม้อแปลงสวิตชิ่ง มารวมเข้าด้วยกันเป็น วงจรเรียงกระแสแล้วจะกรองกระแสด้านเข้า วงจรตัวแปลงผันแบบพุช-พุต วงจรควบคุมแรงดันและกระแส วงจรเรียงกระแสแล้วจะกรองกระแสด้านออก

จากการทดลองมีการปรับตั้ง ให้มีแรงดันไฟฟ้าด้านออกเท่ากับ 5 V และกระแสไฟฟ้าด้านออกที่เท่ากับ 100 mA โดยจ่ายให้กับ โหลดที่มีค่าความต้านทาน $50\ \Omega$ และผลการทดลองพบว่า แรงดันไฟฟ้าด้านออกที่ได้มีค่าเท่ากับ 5.09 V ทำให้มีความคลาดเคลื่อนของแรงดันไฟฟ้าด้านออกเท่ากับ 1.8 % กระแสไฟฟ้าด้านออกมีค่าเท่ากับ 103.40 mA ได้ค่าเบอร์เซนต์ความคลาดเคลื่อนเท่ากับ 3.40 % ให้กำลังไฟฟ้า $526.326\ mW$ สามารถคิดเป็นเบอร์เซนต์ความคลาดเคลื่อนได้เท่ากับ 6.00 % และมีริพเพล็กเตอร์เท่ากับ 4.45% เมื่อหาค่าประสิทธิภาพของแหล่งจ่ายกำลังสวิตชิ่งจะคิดเป็นเบอร์เซนต์ได้เท่ากับ 90.68 % มีค่ากำลังสูญเสียภายในระบบเท่ากับ $0.054\ W$ หาค่าเบอร์เซนต์แรงดันคงที่ได้เท่ากับ 2.98 % ดังนั้นวงจรแหล่งจ่ายกำลังสวิตชิ่งมีค่าของแรงดันและกระแสอยู่ในช่วงที่ยอมรับได้ เมื่อโหลดความต้านทานมีค่า $50\ \Omega$

Project title	The Development of Switching Power Supply	
Name	Mr. Nontapan Chandaravithoon	ID.51383898
	Mr. Phumeen Phongsakun	ID.51384918
Project advisor	Assistant Professor Suchart Yammern, Ph.D.	
Major	Electrical Engineering	
Department	Electrical and Computer Engineering	
Academic year	2015	

Abstract

This project is to design and develop for a switching power supply in order to be used for electric irons having a rated voltage of 5 volt and a rated current of 100 milliamps. The developed power supply consists of four main parts: input filter-rectifier circuit, push-pull converter, current-voltage control circuit and output filter-rectifier circuit.

From the experimental results with the set voltage of 5 volt and the set current of 100 milliamps supplied to the resistant load of 50 ohm, it has been shown that the output voltage is equal to 5.09 volt with tolerance of 1.8%, the output current is equal to 103.40 milliamps with tolerance of 3.40%, the ripple factor is equal to 4.45%, the efficiency of the developed supply is equal to 90.68%, the power loss is equal to 0.054 watts, and the value of the voltage regulation is equal to 2.98%. Therefore, the developed supply can produce the voltage and the current in the acceptable range while supplying the resistant load of 50 ohm.

กิตติกรรมประกาศ

โครงการนี้สำเร็จลุล่วงไปได้ด้วยความกรุณาเป็นอย่างยิ่งจาก ผู้ช่วยศาสตราจารย์ ดร. สุชาติ เย็นเม่น ซึ่งเป็นอาจารย์ที่ปรึกษาโครงการ และให้ความกรุณาในการตรวจทานบริษัทฯ ณ พัฒนา ผู้ดำเนินโครงการขอรบกวนเป็นอย่างสูงและขอระลึกถึงความกรุณาของท่านไว้ตลอดไป

ขอขอบพระคุณ ผู้ช่วยศาสตราจารย์ ดร. พนัส นัดฤทธิ์ และผู้ช่วยศาสตราจารย์ ดร. สุวิทย์ กิริเวชยา ซึ่งเป็นคณะกรรมการในการสอนโครงการที่ให้คำแนะนำ ชี้แนะแนวทาง และข้อคิดเห็น ต่างๆ ที่เป็นประโยชน์ในโครงการนี้ ทำให้โครงการนี้อ่อง光芒สมบูรณ์แบบยิ่งขึ้น

ขอขอบพระคุณ นายประพิป สังเนิน ที่ประดิษฐ์ประธานาธิการความรู้ต่างๆ ตลอดระยะเวลา ของการศึกษาเล่าเรียน ซึ่งเป็นความรู้ที่สามารถนำไปใช้ในการทำโครงการนี้ และยังสามารถ นำไปใช้ในการประกอบอาชีพในอนาคต

เห็นอีสิ่งอื่นใดที่จะขาดไม่ได้เลยในการดำเนินโครงการขอรบกวนขอขอบพระคุณบิดา คุณ นารดา ผู้มอบความรัก ความเมตตา สดับปัญญา รวมทั้งเป็นผู้ให้ทุกสิ่งทุกอย่าง คงเป็นกำลังใจให้ จนได้รับความสำเร็จอย่างทุกวันนี้ และขอขอบคุณทุกๆ คนในครอบครัวของ คณะผู้ดำเนินโครงการ ที่ไม่ได้กล่าวไว้ ณ ที่นี้ด้วย

นายนนทพันธุ์ จันทร์วิทูร
นายภูมิน พงษ์กาล

สารบัญ

หน้า

ใบรับรองปริญานินพนธ์	ก
บทคัดย่อภาษาไทย	ข
บทคัดย่อภาษาอังกฤษ	ค
กิตติกรรมประกาศ	ง
สารบัญ	จ
สารบัญตาราง	ฉ
สารบัญรูป	ฉ

บทที่ 1 บทนำ	1
--------------------	---

1.1 ที่มาและความสำคัญของโครงการ	1
1.2 วัตถุประสงค์ของโครงการ	1
1.3 ขอบเขตของโครงการ	1
1.4 ขั้นตอนและแผนดำเนินงาน	2
1.5 ประโยชน์ที่คาดว่าจะได้รับจากโครงการ	3
1.6 งบประมาณ	3

บทที่ 2 หลักการและทฤษฎีที่เกี่ยวข้อง	4
--	---

2.1 ไดโอด (Diode)	5
2.2 ซีเนอร์ไดโอด (Zener Diode)	9
2.3 ทรานซิสเตอร์ (Transistor)	12
2.4 ออปโตคัปเปลอร์ (OptoCoupler)	19
2.5 ตัวเก็บประจุ (Capacitor)	21
2.6 ตัวต้านทาน (Resistor)	23
2.7 หม้อแปลงไฟฟ้า (Transformers)	26
2.8 วงจรเรียงกระแส (Rectifier) และวงจรกรองกระแส C (C Filter) ด้านเข้า	31
2.9 วงจรตัวแปลงผู้แบบพุช-พูล	36
2.10 วงจรควบคุมด้านกระแส	39
2.11 วงจรเรียงกระแส (Rectifier) และวงจรกรองกระแส C (C Filter) ด้านออก	40
2.12 โปรแกรมที่เกี่ยวข้อง	41

สารบัญ (ต่อ)

	หน้า
บทที่ 3 วิธีดำเนินโครงการ	45
3.1 เสนอหัวข้อโครงการ	45
3.2 ศึกษาหลักการทำงานของจรรถเหล่งจ่ายกำลังสวิตช์	45
3.3 ออกแบบวงจรเรียงกระแสและวงจรกรองกระแสด้านเข้า	46
3.3.1 หาค่าเกลี้ย	47
3.3.2 หาค่าแรงดันเฉลี่ย	47
3.4 ออกแบบตัวเปลี่ยนแบบพูช-พูล	49
3.5 ออกแบบวงจรเรียงกระแสและวงจรกรองกระแสด้านออก	52
3.6 ออกแบบวงจรควบคุมด้านแรงดันและกระแส	55
3.6.1 หาค่า V_{out} , I_z	55
3.6.2 หาค่า R ที่เหมาะสม	55
3.6.3 หาค่า R_{Load} ที่เหมาะสม	55
3.6.4 การเลือกขนาดแกนหม้อแปลงไฟฟ้าความถี่สูง	55
3.6.5 การออกแบบหม้อแปลงไฟฟ้าความถี่สูงจากแกน EI ETD และ แกน Pot	57
3.7 ออกแบบวงจรเหล่งจ่ายกำลังสวิตช์โดยใช้โปรแกรมพีสไปร์ท (Pspice)	57
3.8 ออกแบบลายวงจรโดยใช้โปรแกรมเซอร์กิตวิชาร์ด (circuit wizard)	59
3.9 นำวงจรเหล่งจ่ายกำลังที่ออกแบบมาประกอบเป็นชิ้นงาน	60
3.10 การทดสอบสมรรถนะของวงจรเหล่งจ่ายกำลังสวิตช์	60
3.11 วิเคราะห์ผลการทดลอง	61
3.12 สรุปผลการทดลอง	61
3.13 ปัญหา และข้อเสนอแนะ	61

บทที่ 4 ผลการทดสอบและการวิเคราะห์

4.1 ผลการออกแบบลายปรินท์ที่ได้จากโปรแกรมเซอร์กิตวิชาร์ดและนำมาลงอุปกรณ์ต่างๆ	59
4.2 ผลการทดสอบวงจรย่อยของเหล่งจ่ายกำลังสวิตช์	61
4.2.1 ผลการทดสอบวงจรเรียงกระแสและวงจรกรองกระแสด้านเข้า	61
4.2.2 ผลการทดสอบวงจrtัวเปลี่ยนแบบพูช-พูล	63
4.2.3 ผลการทดสอบวงจรเรียงกระแสและวงจรกรองกระแสด้านออก	65
4.2.4 ผลการทดสอบวงจรควบคุมแรงดันและกระแส	66

สารบัญ (ต่อ)

หน้า	
4.3 ผลการทดสอบประสิทธิภาพของวงจรเหล่านี้ยกระดับสวิตช์.....	68
 บทที่ 5 สรุปผลและข้อเสนอแนะ	76
5.1 สรุปผลการดำเนินโครงการ	76
5.2 ปัญหา ข้อเสนอแนะ และแนวทางแก้ไข.....	76
5.3 แนวทางในการพัฒนาต่อไป	77
 เอกสารอ้างอิง.....	78
ภาคผนวก ก โปรแกรมPspice ที่ใช้ช่วยในการออกแบบวงจร	79
ภาคผนวก ข วิธีการใช้งาน วงจรเหล่านี้ยกระดับสวิตช์	82
ภาคผนวก ค รายละเอียด ลักษณะสำคัญคือปืนและลงอุปกรณ์โดยใช้โปรแกรม Circuit wizard ในการออกแบบ.....	84
ภาคผนวก ง เอกสารข้อมูลอ้างอิงของอุปกรณ์ภายในวงจร	86
 ประวัติผู้ดำเนินโครงการ	109

สารบัญตาราง

ตารางที่	หน้า
2.1 ตารางแสดงหรือ ค่าคงตัว ไดอิเล็กตริกของสาร ไดอิเล็กตริก	23
2.2 ตารางแสดงสีของขนาดของตัวต้านทาน	28
3.1 การเปรียบเทียบคุณลักษณะ โครงสร้างแกนหม้อแปลงไฟฟ้าความถี่สูงชนิด EI	56
3.2 การเปรียบเทียบคุณลักษณะ โครงสร้างแกนหม้อแปลงไฟฟ้าความถี่สูงชนิด ETD	56
3.3 การเปรียบเทียบคุณลักษณะ โครงสร้างแกนหม้อแปลงไฟฟ้าความถี่สูงชนิด Pot	56
4.1 ผลทดสอบค่าพารามิเตอร์ของวงจรเรียงกระแสและกรองกระแสด้านเข้า.....	66
4.2 ผลทดสอบค่าพารามิเตอร์ของวงจรตัวแปลงผันแบบพุช-พุด.....	67
4.3 ผลทดสอบค่าพารามิเตอร์ของวงจรควบคุมแรงดันกระแส.....	69
4.4 ผลทดสอบค่าพารามิเตอร์ของวงจรควบคุมแรงดันกระแส.....	70
4.5 เปรียบเทียบระหว่างค่าปรับตั้งที่ต้องการนำไปใช้กับผลที่ได้จากการทดลองของแรงดันไฟฟ้า กับกระแสไฟฟ้าโดยมีการเปลี่ยนความต้านทานโหลด จำนวน 16 ค่า	71
4.6 ผลการทดลองของวงจรແຄล่าจ่ายกำลังสวิตซ์จริงแรงดันไฟฟ้า กระแสไฟฟ้า กำลังไฟฟ้าทั้งด้าน เข้าและด้านออก	74

สารบัญรูป

รูปที่	หน้า
2.1 แผนผังของวงจรแหล่งจ่ายกำลังสวิตช์.....	4
2.2 รูปวงจรแหล่งจ่ายกำลังสวิตช์ที่ออกแบบ	5
2.3 โครงสร้างและสัญญาลักษณ์ของไดโอด	5
2.4 กราฟคุณสมบัติทางกระแสและแรงดัน (VI Curve) ของไดโอดแบบอุณหคติ	6
2.5 กราฟคุณสมบัติทางกระแสและแรงดัน (VI Curve) ของไดโอดในทางปฏิบัติ.....	7
2.6 เอกสารอ้างอิงข้อมูลของไดโอด เบอร์ 1N4001-1N4007	8
2.7 แสดงวงจรคัตต์คืนแบบอนุกรมทางลง และกราฟรูปคืนแรงดันด้านเข้ากับด้านออก	9
2.8 แสดงโครงสร้างและสัญญาลักษณ์ของซีเนอร์ไดโอด	10
2.9 แสดงกราฟลักษณะคุณสมบัติทางไฟฟ้าของซีเนอร์ไดโอด	10
2.10 วงจรสมมูลของซีเนอร์ไดโอด	11
2.11 วงจรรักษาแรงดัน	11
2.12 โครงสร้างทรานซิสเตอร์	12
2.13 สัญญาลักษณ์ของทรานซิสเตอร์	13
2.14 จ่ายสัญญาณไปยังทรานซิสเตอร์	13
2.15 แรงดันขุ่นต่างๆ ของวงจรทรานซิสเตอร์ขณะทำงาน	14
2.16 วงจรทรานซิสเตอร์ข่มอิมตัว	15
2.17 การใบอัสทรานซิสเตอร์	16
2.18 วงจรทรานซิสเตอร์สวิตช์	19
2.19 สัญญาลักษณ์ทางไฟฟ้าของอุปกรณ์เชื่อมต่อทางแสง ชนิด NPN Optocoupler	20
2.20 โครงสร้างพื้นฐานของตัวเก็บประจุ	21
2.21 สัญญาลักษณ์ของตัวเก็บประจุ.....	21
2.22 ลักษณะพื้นที่ส่วนที่อยู่ช้อนกันของแผ่นตัวนำที่มีผลต่อค่าความจุ	22
2.23 ระยะห่างระหว่างแผ่นตัวนำที่มีต่อค่าความจุ.....	23
2.15 แรงดันขุ่นต่างๆ ของวงจรทรานซิสเตอร์ขณะทำงาน	14
2.16 วงจรทรานซิสเตอร์ข่มอิมตัว	15
2.17 การใบอัสทรานซิสเตอร์	16
2.18 วงจรทรานซิสเตอร์สวิตช์	19
2.19 สัญญาลักษณ์ทางไฟฟ้าของอุปกรณ์เชื่อมต่อทางแสง ชนิด NPN Optocoupler	20
2.20 โครงสร้างพื้นฐานของตัวเก็บประจุ	21

สารบัญรูป (ต่อ)

รูปที่	หน้า
2.21 สัญลักษณ์ของตัวเก็บประจุ	21
2.22 ลักษณะพื้นที่ส่วนที่อยู่ข่อนกันของแผ่นตัวนำที่มีผลต่อค่าความจุ	22
2.23 ระยะห่างระหว่างแผ่นตัวนำที่มีต่อค่าความจุ	23
2.24 วงจรกรองกระแสแบบครึ่งคลื่น	25
2.25 การทำงานของวงจรคานาปัชิสเตอร์ฟิลดเตอร์และรูปคลื่นแรงดันด้านออก	26
2.26 ตัวอย่างตัวต้านทานชนิดค่าคงที่แบบต่างๆ	26
2.27 สัญลักษณ์ของตัวต้านทานชนิดค่าคงที่	27
2.28 ແບບสีตัวต้านทาน	27
2.29 วงจรอนุกรม	29
2.30 สัญลักษณ์ของหม้อแปลง	30
2.31 หลักการทำงานของหม้อแปลง	30
2.32 ส่วนประกอบของค่ากระแสเกลี่ย	31
2.33 หลักการทำงานของหม้อแปลงขณะมีภาระ	32
2.34 วงจรเรียงกระแส (Rectifier) และวงจรกรองกระแส C (C Filter) ด้านเข้า	34
2.35 พารามิเตอร์ของรูปคลื่นไฟน์	35
2.36 วงจรเรียงกระแสครึ่งคลื่น	36
2.37 แรงดันด้านเข้าและด้านออก	37
2.38 ค่า แสตดง VP , VRMS , VDC	37
2.39 วงจรเรียงกระแสครึ่งคลื่นและวงจรกรองด้วยตัวเก็บประจุ	38
2.40 แรงดันริปเปลี่ยนของการเรียงกระแสครึ่งคลื่นและเติมคลื่น	39
2.41 วงจรตัวแปลงผันแบบพุช-พุต	39
2.42 เนื่องจากค่าความหนาบวนร้าวให้เหลือของหม้อแปลง	41
2.43 วงจรควบคุมแรงดันและกระแส	42
2.44 วงจรซีเนอร์ไดโอด อนุกรมกับตัวต้านทาน	43
2.45 วงจรเรียงกระแส (Rectifier) และวงจรกรองกระแส C (C Filter) ด้านออก	43
3.1 วงจรเรียงกระแส (Rectifier) และ วงจรกรองกระแส C (C Filter) ด้านเข้า	46
3.2 รูปแสดงรูปคลื่นแรงดันไฟฟ้ากระแสลับ	47
3.3 รูปแสดงสัญญาณและการหาค่าประสิทธิผล	48
3.4 วงจรตัวแปลงผันแบบพุช-พุต	49

3.5 วงจรเรียงกระแส (Rectifier) และกรองกระแส C (C Filter) ด้านออก	52
3.6 รูปแสดงสัญญาณและการหาค่าประสิทธิผล.....	53
3.7 วงจรควบคุมด้านแรงดันและกระแส	54
3.8 วงจรแหล่งจ่ายกำลังสวิตชิ่ง	58
3.9 กราฟแรงดันด้านออกของวงจรแหล่งจ่ายกำลังสวิตชิ่ง	59
3.10 กราฟแสดงกระแสด้านออกของวงจรแหล่งจ่ายกำลังสวิตชิ่ง.....	59
4.1 ลายปริน์ PCB ด้านบนที่ออกแบบ.....	62
4.2 ลายปริน์ PCB ด้านล่างที่ออกแบบ	63
4.3 แผ่นลายทองแดงของวงจรแหล่งจ่ายกำลังสวิตชิ่งที่กัดลายปริน์แล้ว	63
4.4 แผ่นลายทองแดงของที่ลิงอุปกรณ์วงจรแหล่งจ่ายกำลังสวิตชิ่งแล้ว.....	64
4.5 วงจรย้อนต่างๆในวงจรแหล่งจ่ายกำลังสวิตชิ่งโดยรวม	64
4.6 รูปวงจรเรียงกระแสและกรองกระแสด้านเข้า	65
4.7 ค่าพารามิเตอร์ของวงจรเรียงกระแสและกรองกระแสด้านเข้า	65
4.8 รูปวงจรตัวแปลงผันแบบพุช-พุด	66
4.9 ค่าพารามิเตอร์ของวงจrtัวแปลงผันแบบพุช-พุด.....	67
4.10 รูปวงจรเรียงกระแสและกรองกระแสด้านออก	68
4.11 ค่าพารามิเตอร์ของวงจรเรียงกระแสและกรองกระแสด้านออก	69
4.12 รูปวงจรควบคุมแรงดันและกระแส	70
4.13 ค่าพารามิเตอร์ของวงจรควบคุมแรงดันและกระแส	70
4.14 กราฟแรงดันด้านออกของระหว่างค่าปรับตั้งที่ต้องการกับค่าที่วัดได้จากผลการทดลอง.....	72
4.15 กราฟกระแสด้านออกของระหว่างค่าปรับตั้งที่ต้องการกับค่าที่วัดได้จากผลการทดลอง.....	72
4.16 กราฟกำลังไฟฟ้าด้านออกของระหว่างค่าปรับตั้งที่ต้องการกับค่าที่วัดได้จากผลการทดลอง	73
4.17 แสดงสัญญาณด้านออกขณะต่อ กับ ความต้านทาน โหลด 50 โอห์ม	75

บทที่ 1

บทนำ

1.1 ที่มาและความสำคัญของโครงงาน

ในปัจจุบันวงจรแൾจ์จ่ายกำลังสวิตชิ่งนี้ ได้นำมาใช้กันอย่างแพร่หลายในงานหลายด้าน เครื่องใช้อิเล็กทรอนิกส์ขนาดเล็กซึ่งต้องการแൾจ์จ่ายไฟที่มีขนาดสูง และ มีขนาดเล็ก เช่น เครื่องคอมพิวเตอร์ สมาร์ทโฟน และ โทรศัพท์ จำเป็นที่ต้องใช้วงจรแൾจ์จ่ายกำลังสวิตชิ่ง เพราะมีขนาดเล็ก และแนวโน้มการนำวงจรแൾจ์จ่ายกำลังมาใช้ในเครื่องใช้อิเล็กทรอนิกส์ทุกประเภทเป็นไปได้สูง การศึกษาหลักการและการออกแบบวงจรแൾจ์จ่ายกำลังสวิตชิ่งนี้จึงเป็นสิ่งที่ไม่อาจหลีกเลี่ยง ได้สำหรับผู้ที่เกี่ยวข้องในงานอิเล็กทรอนิกส์ทุกประเภท เพื่อรองรับเทคโนโลยีอนาคตซึ่งแน่นอนว่าในอนาคตนี้อุปกรณ์ต่างๆย่อมໄດ้รับการพัฒนาให้มีขนาดที่เล็กลง และสามารถใช้งานได้อย่างสะดวกสบายเพื่อให้เหมาะสมกับผู้ใช้งาน

โครงงานนี้จะออกแบบและพัฒนาแൾจ์จ่ายกำลังสวิตชิ่ง เพื่อนำมาใช้เป็นแൾจ์จ่ายกำลังให้กับเตาเรืออัจฉริยะ ที่พิกัดแรงดัน 5 โวลต์ กระแส 100 มิลลิแอมป์ และต้องการแൾจ์จ่ายกำลังที่มีขนาดเล็ก จึงเห็นว่าถ้าเป็นแൾจ์จ่ายกำลังธรรมชาติจะมีขนาดที่ใหญ่มากและมีน้ำหนักมาก จึงจำเป็นต้องใช้แൾจ์จ่ายกำลังสวิตชิ่งที่มีขนาดเล็กและเบากว่ามาก มาเป็นแൾจ์จ่ายกำลังให้แก่เตาเรืออัจฉริยะ

1.2 วัตถุประสงค์ของโครงงาน

ออกแบบและสร้างวงจรแൾจ์จ่ายกำลังสวิตชิ่งซึ่งมีพิกัดกระแส 100 มิลลิแอมป์ และพิกัดแรงดัน 5 โวลต์ และวิเคราะห์หลักการทำงานของวงจรแൾจ์จ่ายกำลังสวิตชิ่ง

1.3 ขอบเขตของโครงงาน

- 1.3.1 วงจรแൾจ์จ่ายกำลังสวิตชิ่งมีกระแสทางด้านออก 100 มิลลิแอมป์ มีแรงดัน 5 โวลต์
- 1.3.2 ใช้หม้อแปลงสวิตชิ่งในการแยกแรงดันสูงกับแรงดันต่ำ
- 1.3.3 ใช้ออปโตคัปเพลอร์ (OptoCoupler) เป็นตัวควบคุมเพาเวอร์สวิตช์ปิดเปิด
- 1.3.4 ใช้ซีเนอร์ไอดิจิตเป็นตัวควบคุมแรงดัน

1.4 ขั้นตอนและแผนการดำเนินงาน

กิจกรรม	ปี 2558			
	พ.ศ. มิ.ย.	ก.ค. ส.ค.	ก.ย. ต.ค.	พ.ย. ธ.ค.
1. เสนอหัวข้อโครงการ				
2. ศึกษาหลักการทำงานของวงจร แหล่งจ่ายกำลังสวิตชิ่ง				
3. ออกแบบวงจรเรียงกระแสและ วงจรกรองกระแสค้านออก				
4. ออกแบบวงจรตัวแปลงผู้คนแบบ พุช-พุด				
5. ออกแบบวงจรเรียงกระแสและ วงจรกรองกระแสค้านออกแบบ				
6. ออกแบบวงจรควบคุมแรงดัน กระแสและกระแส				
7. ออกแบบวงจรแหล่งจ่ายกำลัง สวิตชิ่งโดยใช้โปรแกรมพีสไปร์ช (Pspice)				
8. ออกแบบลายวงจร โดยใช้ โปรแกรมเซอร์คิวชิวาร์ด (circuit wizard)				
9. นำวงจรที่ออกแบบมาประกอบ เป็นชิ้นงาน				
10. การทดสอบสมรรถนะของ วงจรแหล่งจ่ายกำลังสวิตชิ่ง				
11. วิเคราะห์ผลการทดลอง				
12. สรุปผลการทดลอง				
13. ปัญหา และข้อเสนอแนะ				
14. จัดทำรูปเล่มปริญญาในพนธ์				

1.5 ผลที่คาดว่าจะได้รับ

- 1.5.1 ได้วงจรแผลงจ่ายกำลังสวิตซ์ที่พิกัดแรงดันออก 5 โวลต์ มีกระแส 100 มิลลิแอมป์ เพื่อใช้ในเตารีดไฟฟ้าอัจฉริยะ
- 1.5.2 ได้พัฒนาบุคลากรด้านความรู้เกี่ยวกับวงจรแผลงจ่ายกำลัง
- 1.5.3 สามารถสร้างเครื่องข่ายเพื่อที่จะพัฒนาวงจรแผลงจ่ายกำลังแบบสวิตซ์ให้มีประสิทธิภาพดียิ่งขึ้น

1.6 งบประมาณ

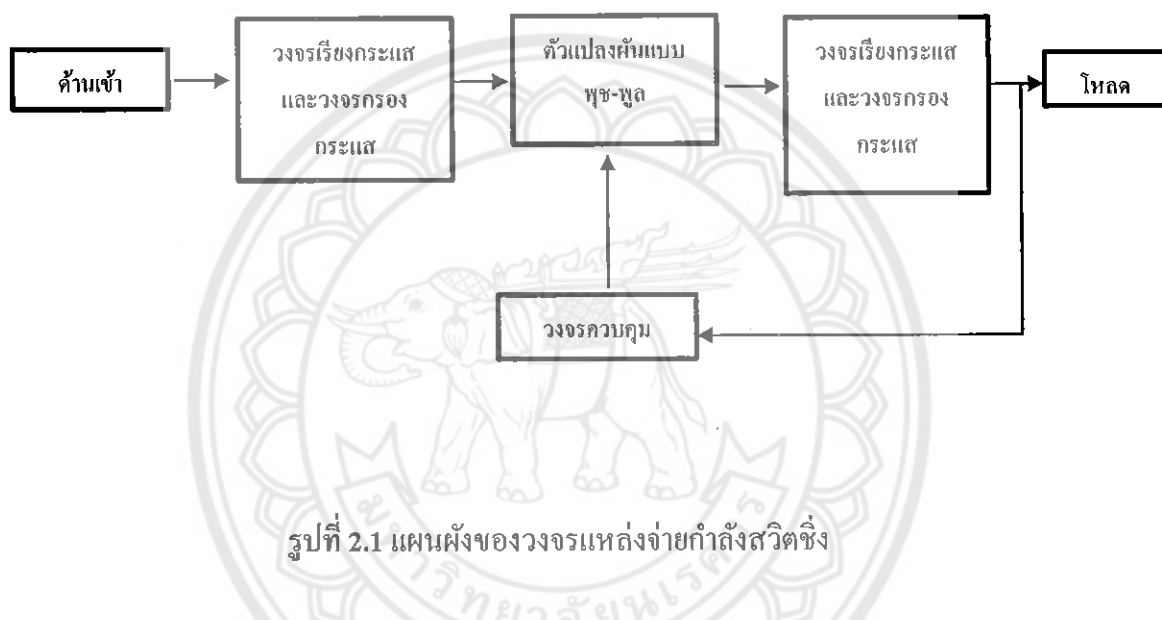
1.6.1 ค่าอุปกรณ์อิเล็กทรอนิกส์	500	บาท
1.6.2 ค่าถ่ายเอกสารและค่าจัดทำรูปเล่น	1,500	บาท
รวมเป็นเงิน (สองพันบาทถ้วน)	<u>2,000</u>	บาท
<u>หมายเหตุ:</u> ถ้วนเดียบถูกรายการ		



บทที่ 2

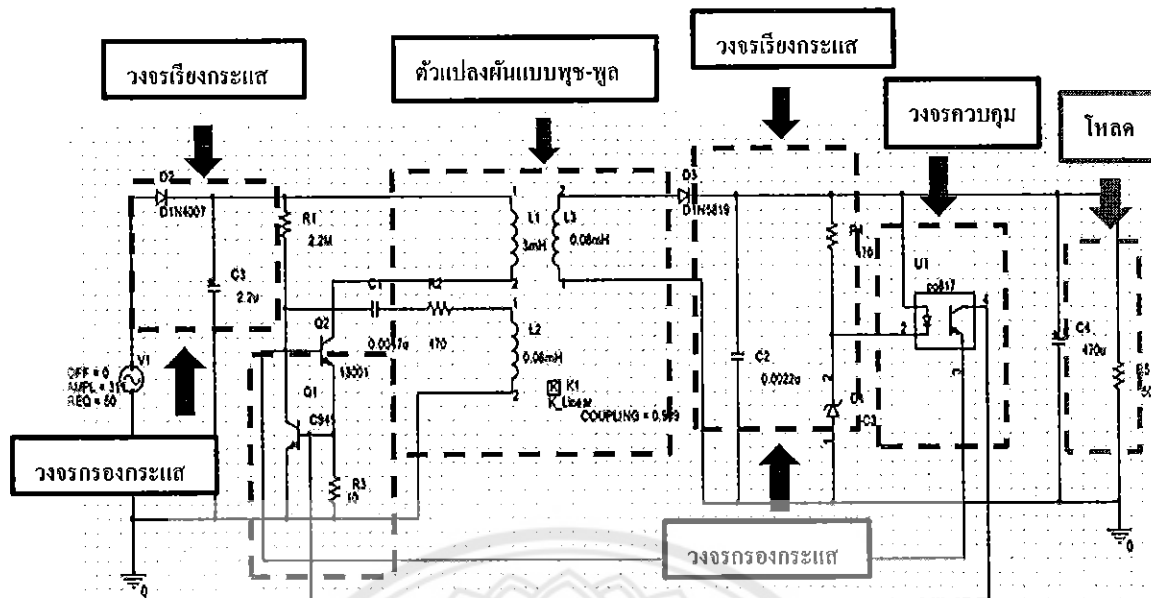
หลักการและทฤษฎีที่เกี่ยวข้อง

ในบทนี้จะกล่าวถึงทฤษฎีของอุปกรณ์ต่างๆที่เกี่ยวกับวงจรแหล่งจ่ายกำลังสวิตชิ่งเพื่อใช้ในการทำโครงการซึ่งประกอบด้วย ไดโอด ซีเนอร์ไดโอด ทรานซิสเตอร์ օอปโปร์ติปเปโลร์ ตัวเก็บประจุ ตัวด้านทาน หม้อแปลงสวิตชิ่ง เพื่อนำมาใช้งานในวงจรย่อยดังต่อไปนี้ วงจรเรียงกระแส และวงจรกรองกระแสด้านขาเข้า วงจรตัวแปลงผันแบบพุช-พูล วงจรควบคุมแรงดันและกระแส วงจรเรียงกระแส และวงจรกรองกระแสด้านออก อีกทั้งโปรแกรมที่เกี่ยวข้อง



รูปที่ 2.1 แผนผังของวงจรแหล่งจ่ายกำลังสวิตชิ่ง

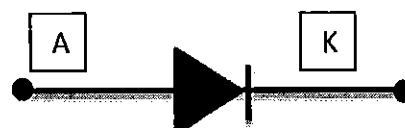
จากรูปที่ 2.1 วงจรแหล่งจ่ายกำลังสวิตชิ่งที่ออกแบบนั้น สามารถแบ่งปันมาได้ในแต่ละส่วนที่กล่าวมาในข้างต้น วงจรแหล่งจ่ายกำลังสวิตชิ่งทำงานที่พิกัดกำลัง 220 โวลต์ พิกัดกระแส ด้านออก 100 มิลลิแอมป์ แรงดันไฟฟลัมค่าสูงจะผ่านเข้ามาทางวงจรเรียงกระแสและวงจรกรองกระแสแปลงเป็นไฟตรงและการองสัญญาณรบกวนเพื่อให้ผลลัพธ์ที่ดีที่สุด วงจรเพาเวอร์ทรานซิสเตอร์จะทำงานเป็นเพาเวอร์ค่อนเวอร์เตอร์โดยการตัดต่อแรงดันเป็นช่วงๆ ที่ความถี่ประมาณ 20-200 KHz จากนั้นจะผ่านไปยังตัวแปลงผันแบบพุช-พูลเพื่อลดแรงดันลง ด้านออกของหม้อแปลงจะต่อ กับวงจรเรียงกระแส และกรองกระแสให้เรียบ ส่วนการคงค่าแรงดันจะทำได้โดยการป้อนกลับค่าแรงดันที่ด้านออกกลับมาเข้ากับวงจรควบคุม เพื่อควบคุมให้เพาเวอร์ทรานซิสเตอร์ นำกระแสมากขึ้นหรือน้อยลงตามการเปลี่ยนแปลงของแรงดันที่ด้านออก ซึ่งจะมีผลทำให้แรงดันด้านออกคงที่ได้ การทำงานดังรูปที่ 2.2



รูปที่ 2.2 รูปวงจรแผลงจ่ายกำลังสวิตชิ่งที่ออกแบบ

2.1 ไดโอด (Diode)

ไดโอดเป็นส่วนสำคัญส่วนหนึ่งของวงจรอิเล็กทรอนิกส์ ทำมาจากการก่อตัวนำซิลิคอน มี 2 ขั้วที่ชื่นสารชนิดพี เรียกว่า แອโนด (Anode: A) และขั้วที่ชื่นสารชนิดเอ็นเรียกว่า แคโทด (Cathode: K) สัญลักษณ์ของไดโอดเปรียบเทียบกับสารก่อตัวนำ 1 รอบต่อ (พี-เอ็น) ดังรูปที่ 2.3 แรงดันที่ต่อกคร่อมไดโอด เมื่อไดโอดนำกระแสเจิงเท่ากับ $0.6V$ มันคือแรงดันที่ต่อกคร่อมรอยต่อ พี-เอ็น

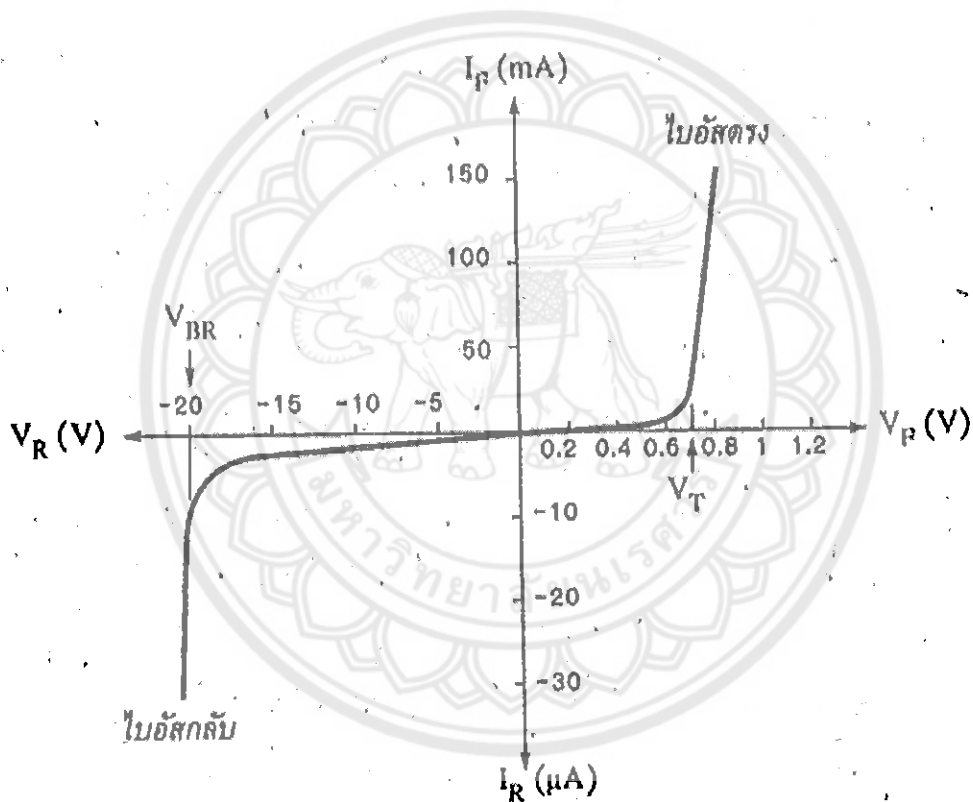


รูปที่ 2.3 โครงสร้างและสัญลักษณ์ของไดโอด

โดยทั่วไปแล้วไดโอดจะมีคุณสมบัติการทำงานอยู่ 3 ข้อซึ่งได้แก่

1. เมื่อไดรับไฟแอดคลับไดโอดจะไม่นำกระแส
2. เมื่อไดรับไฟแอดตรง ที่แรงดันมากกว่า $0.6 V$ ไดโอดจะนำกระแสได้

3. โดยปกติในวงจร ไดโอดจะต้องต่อตัวต้านทานจำกัดกระแสเพื่อป้องกัน ไดโอดเกิดการเสียหาย
เส้นโค้งคุณลักษณะทางแรงดันกระแสเรียกว่า กราฟ VI-Curve แสดงคุณลักษณะเมื่อ
ไดโอดได้รับไฟแอดสตรง และไฟแอดสกับบ์ เมื่อไดโอดได้รับไฟแอดสตรง จะมีกระแสไฟผ่าน
ไดโอดได้ และจะมีแรงดันต่ำกว่า 0.6 V แต่เมื่อไดโอดได้รับไฟแอดสกับบ์ ไดโอด
จะไม่นำกระแส แต่จะมีกระแสร้อน ไฟล์ จำนวนน้อยมาก ไฟล์ผ่าน ไดโอดได้ (นาโนแอมเปอร์) และ
เมื่อให้ แรงดันไฟแอดสกับบ์ให้กับ ไดโอดเพิ่มมากขึ้น จนถึงจุดพังทลาย (Break down point) ไดโอด
จะทะลุมีกระแสไฟล์ได้ จำนวนมาก และ ไดโอดนี้จะเสียหายไม่สามารถนำกลับมาใช้งานได้
ตามปกติอีก สำหรับ กราฟคุณลักษณะของ ไดโอดแสดงในรูปที่ 2.4



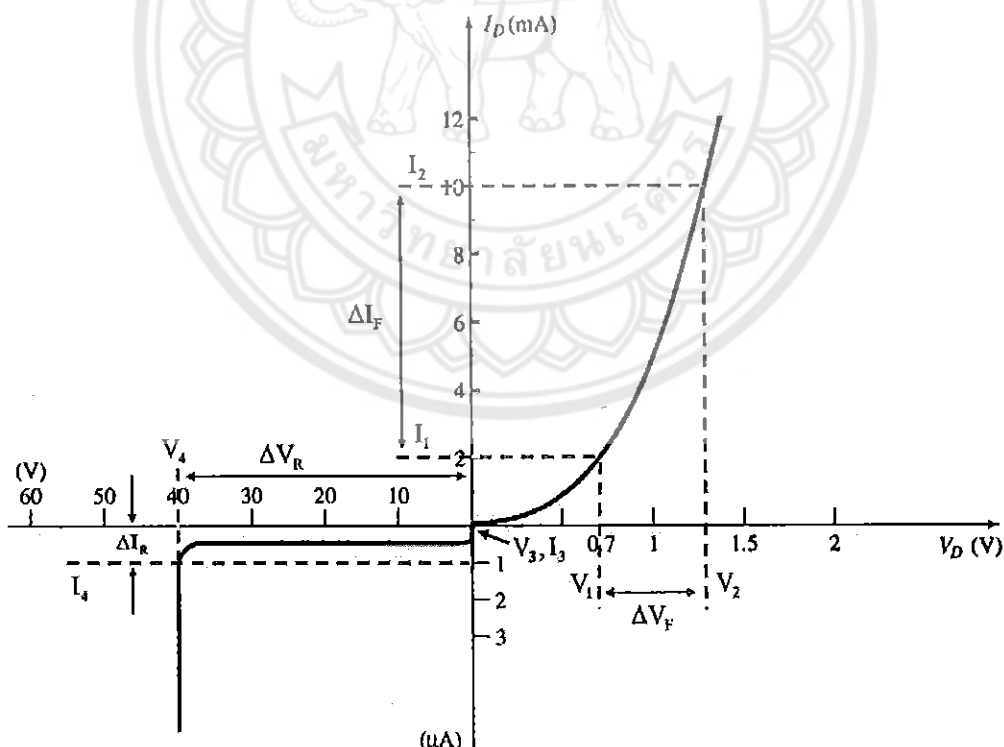
รูปที่ 2.4 กราฟคุณสมบัติทางกระแสและแรงดัน (VI Curve) ของไดโอดแบบอุดมคติ

ผลของอุณหภูมิที่มีต่อ ไดโอด เมื่ออุณหภูมิเปลี่ยนแปลงจะมีผลต่อลักษณะสมบัติทาง
แรงดันและกระแสของ ไดโอด เนื่องจากสารกึ่งตัวนำจะมีจำนวนโดยเด่นและอิเลคตรอนอิสระที่ขึ้นอยู่
กับอุณหภูมิสิ่งแวดล้อมด้วย ดังนั้นในการออกแบบวงจรจำเป็นต้องทราบว่ากระแส ไดโอดเมื่อ
ไฟแอดสกับบ์ จะเปลี่ยนแปลงอย่างไรกับอุณหภูมิ และแรงดันคร่อม ไดโอดจะเป็นอย่างไร
เปลี่ยนแปลงอย่างไรกับอุณหภูมิเมื่อกระแสที่ไฟล์ผ่าน ไดโอดมีค่าคงที่

ความต้านทานในตัวไดโอดพอที่จะแบ่งออกตามชนิดของแรงดันที่ให้กับตัวไดโอดซึ่งแยกออกเป็นความต้านทานทางไฟฟ์ตรังและความต้านทานไฟฟ์ลับ

ความต้านทานทางไฟฟ์ตรัง (static resistance) จากลักษณะสมบัติแรงดันและกระแสของไดโอดจะไม่เป็นลักษณะเชิงเส้น ดังนั้นความต้านทานในตัวไดโอดจึงไม่คงที่จากกฎของโอล์มจะได้ความต้านทานทางไฟฟ์ตรัง ที่จะทำงานขณะไม่มีสัญญาณเข้ามา

ความต้านทานทางไฟฟ์ลับ (dynamic resistance) เมื่อไดโอดทำงานในขณะที่มีค่าสัญญาณแรงดันไฟฟ์ลับขนาดเล็ก ๆ ป้อนเข้ามาค่าความต้านทานที่เกิดขึ้นที่ไดโอดจะเกิดการเปลี่ยนแปลงตลอดเวลาค่าความต้านทานนี้จะแตกต่างจากความต้านทานทางไฟฟ์ตรังเราเรียกว่าความต้านทานนี้ว่า ความต้านทานทางไฟฟ์ลับการหาค่าความต้านทานทางไฟฟ์ลับหาค่าได้จากการอัตราส่วนการเปลี่ยนแปลงของแรงดันคร่อมตัวไดโอดที่เปลี่ยนไปกับค่าการเปลี่ยนแปลงของกระแสที่ไหลในตัวไดโอด เนื่องจากการทำงานของไดโอดเมื่อมีสัญญาณเข้ามา ณ จุดที่ไดโอดทำงานก็จะมีค่าไม่คงที่ไม่แน่นอน เกิดการเปลี่ยนแปลงตามลักษณะสมบัติ แต่เมื่อคิดการเปลี่ยนแปลงกระแสไปแล้ว ค่าเด็ก ๆ ของกระแสและแรงดันแล้วจะสามารถหาค่าความต้านทานทางไฟคุณภาพหรือความต้านทานต่อไฟฟ์ลับได้ดังรูปที่ 2.5



รูปที่ 2.5 กราฟคุณสมบัติทางกระแสและแรงดัน (VI Curve) ของไดโอดในทางปฏิบัติ

จากรูปที่ 2.5 สามารถหาค่าความต้านทานภายในไดโอดได้จาก

$$\text{ความต้านทานไออกอสตรอง } R_F = \frac{\Delta V_F}{\Delta I_F} = \frac{V_2 - V_1}{I_2 - I_1} \quad (2.1)$$

$$\text{ความต้านทานไไบแอสกัล์บ } R_R = \frac{\Delta V_R}{\Delta I_R} = \frac{V_4 - V_3}{I_4 - I_3} \quad (2.2)$$



1N4001 - 1N4007

1.0A RECTIFIER

Maximum Ratings and Electrical Characteristics @ TA = 25°C unless otherwise specified

Single phase, half wave, 60Hz, resistive or inductive load.
For capacitive load, derate current by 20%.

Characteristic	Symbol	1N4001	1N4002	1N4003	1N4004	1N4005	1N4006	1N4007	Unit
Peak Repetitive Reverse Voltage 4	V _{RRM}	50	100	200	400	600	800	1000	V
Working Peak Reverse Voltage DC Blocking Voltage	V _{WM}								
RMS Reverse Voltage	V _{RRMS}	35	70	140	280	420	560	700	V
Average Rectified Output Current (Note 1) @ TA = 25°C 2	I _o				1.0				A
Non-Repetitive Peak Forward Surge Current 8.3ms single half sine-wave superimposed on rated load	I _{FSA}				30				A
Forward Voltage @ If = 1.0A 1	V _{fM}				1.0				V
Peak Reverse Current @ TA = 25°C 3	I _{RM}				6.0				mA
Rated DC Blocking Voltage @ TA = 100°C					60				
Typical Junction Capacitance (Note 2)	C _J		15			8			pF
Typical Thermal Resistance Junction to Ambient	R _{JA}			100					K/W
Maximum DC Blocking Voltage Temperature	T _A			+150					°C
Operating and Storage Temperature Range	T _J , T _{STO}			-65 to +150					°C

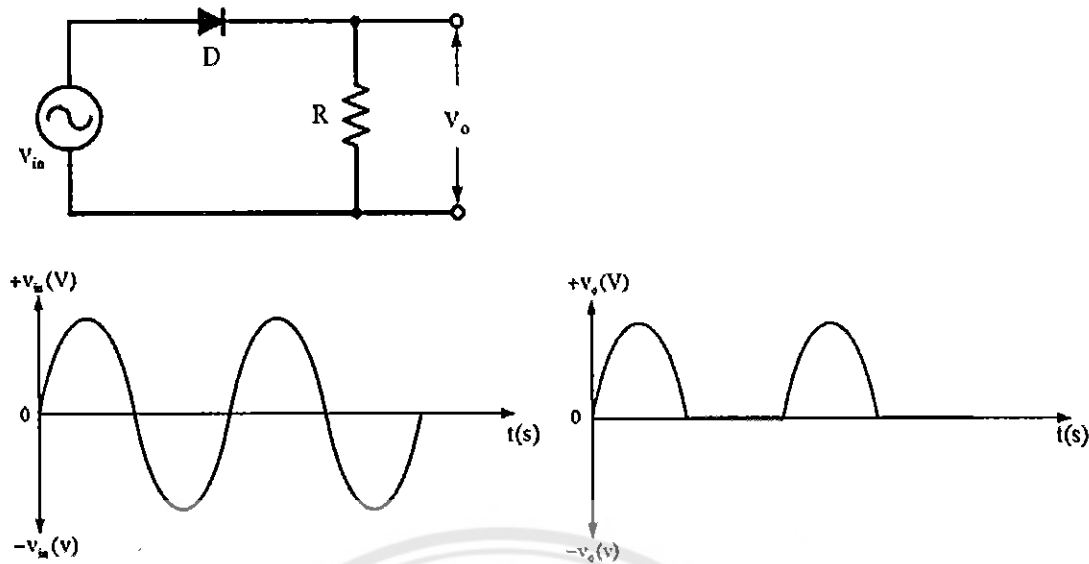
Notes:
 1. Leads maintained at ambient temperature at a distance of 0.5mm from the case.
 2. Measured at 1.0 MHz and applied reverse voltage of 4.0V DC.
 3. EU Directive 2002/95/EC (RoHS). All applicable RoHS exemptions applied, see EU Directive 2002/95/EC Annex Notes.

รูปที่ 2.6 เอกสารอ้างอิงข้อมูลของไคโอด เบอร์ 1N4001-1N4007

การอ่านค่าเอกสารอ้างอิงข้อมูล จะแสดงข้อมูลพื้นฐานที่จำเป็นในการเลือกใช้งานไคโอด ได้อย่างถูกต้องดังรูปที่ 2.6 ซึ่งควรอ่านและเข้าใจในตัวเลขที่สำคัญ 4 ค่า คือ

1. แรงดันตกครั้งเมื่อนำกระแส (Forward Voltage Drop)
2. กระแสเฉลี่ยเมื่อไคโอดได้รับไบแอสตรอง (Average forward Current)
3. กระแสไบแอสกัล์สูงสุด (Peak Reverse Current)
4. แรงดันเบรกดาวน์ (Breakdown Voltage)

การนำไคโอดไปใช้งานในวงจรตัวอย่างดังรูปที่ 2.7 ว่างจะเรียงกระแสตามที่



รูปที่ 2.7 แสดงวงจรตัดรูปคลื่นแบบอนุกรมทางลับและการฟรูปคลื่นแรงดันด้านเข้ากับด้านออก

จากรูปที่ 2.7 จะเห็นได้ว่าแรงดันกระแสสัมบัดด้านเข้าจะมีคลื่นสัมบัดขึ้นลงด้านบนกับด้านลับ แต่เมื่อผ่านไคโอดแล้วจะทำให้คลื่นส่วนด้านลับหายไปทำให้เป็นแรงดันกระแสตรง สามารถหาค่าแรงดันข้อออกได้จาก

$$V_o = I_D \times R \quad (2.3)$$

$$R = \sqrt{r_F + r_R} \quad (2.4)$$

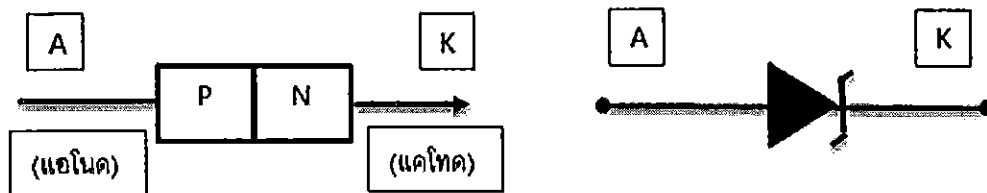
ค่า r_F , r_R หาได้จากสมการที่ (2.1) และ (2.2)

$$I_D = \frac{V}{R} \quad (2.5)$$

2.2 ซีเนอร์ไ/do (Zener Diode)

ซีเนอร์ไ/do (Zener Diode) เป็นไ/do ชนิดพิเศษที่สร้างขึ้นมาเพื่อทำหน้าที่รักษาแรงดันให้คงที่ มีโครงสร้างเหมือนไ/do ธรรมดากันๆ ไป ดังรูปที่ 2.8 แต่ไ/do ธรรมดากันๆ ไปเมื่อทำการใบอัลกอล์จะถูกดันเข้าสู่จุดที่เรียกว่าจุดดันซีเนอร์ไ/do จุดดันนี้จะทำให้เกิดการเสียหายได้ ซีเนอร์ไ/do เป็นไ/do ที่ผลิตจากสารซิลิกอนที่มีปริมาณความหนาแน่นของสารเจือปนในส่วนของสารพีและเอ็นมีค่าสูงกว่าปกติ ซึ่งคุณสมบัติคือถ้าจะทำให้ค่าแรงดันเบรกค่านี้สูง และค่าแรงดันเบรกค่านี้หรือแรงดันซีเนอร์สามารถกำหนดให้ด้วยการควบคุมความหนาแน่นของสารเจือปนและเมื่อให้ใบอัลกอล์จะ

สามารถทวนกระแสข้อนกลับได้สูงโดยไดโอดไม่เสียหาย แรงดันที่ตกค่อนตัวซึ่นอร์ไดโอดจะเป็นตัวควบคุมและรักษาแรงดันให้คงที่



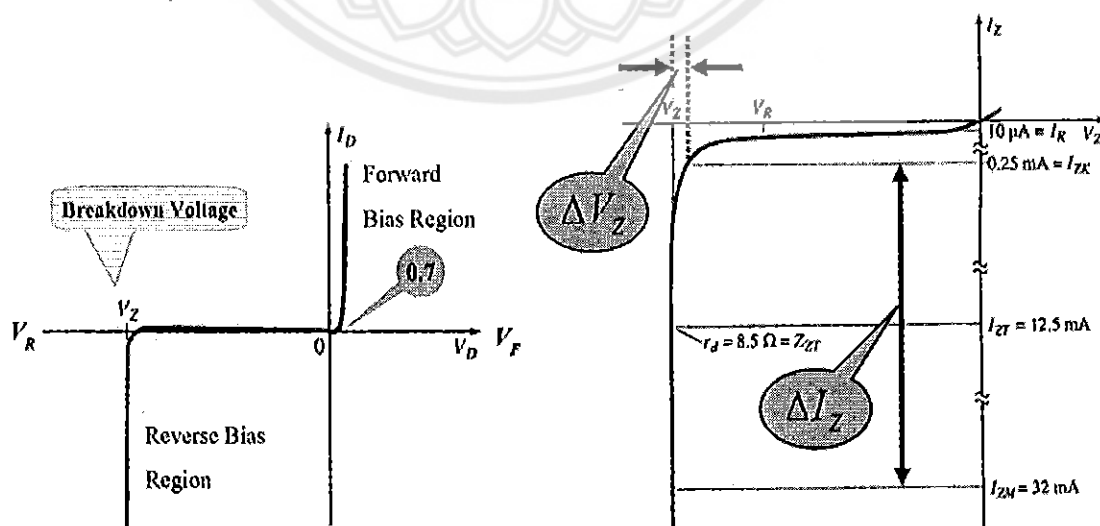
ก. โครงสร้าง
ข. สัญลักษณ์

รูปที่ 2.8 แสดงโครงสร้างและสัญลักษณ์ของซีเนอร์ไดโอด

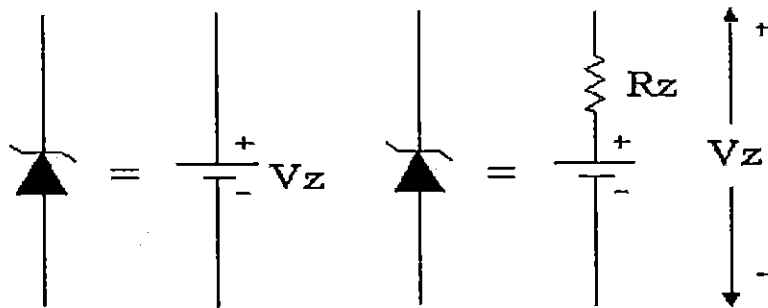
การพังทลายของซีเนอร์ไดโอดแบ่งออกเป็น 2 ชนิดคือ

1. การพังทลายแบบอะวานเดนช์ (Avalanche) ก็อเมื่อไดโอดได้รับไฟอัศกับบแรงดันสูงสุดจนทำให้มีกระแสไฟลัดข้อนกลับผ่านไดโอดจำนวนมากทำให้รอยต่อของไดโอดทะลุและใช้งานไม่ได้

2. การพังทลายแบบซีเนอร์ เป็นการพังทลายที่เกิดขึ้นกับแรงดันไฟอัศกับบค่าต่ำๆ ซึ่งกำหนดได้จากการได้อัศารกิ่งตัวนำที่ใช้ผลิตซีเนอร์ไดโอด การพังทลายแบบซีเนอร์นี้จะมีกระแสไฟลัดผ่านซีเนอร์ไดโอดจำนวนหนึ่ง ซึ่งต้องจำกัดไม่ให้เกินค่าพิกัดสูงสุดและจะเกิดสถานะที่แรงดันตกคร่อมซีเนอร์ไดโอดมีค่าคงที่เรียกว่า แรงดันซีเนอร์ คุณสมบัติข้อนี้สามารถนำซีเนอร์ไดโอดไปเป็นวงจรควบคุมแรงดันไฟตรงให้คงที่ได้



รูปที่ 2.9 แสดงกราฟลักษณะคุณสมบัติทางไฟฟ้าของซีเนอร์ไดโอด



ก. ในอุคਮคติ

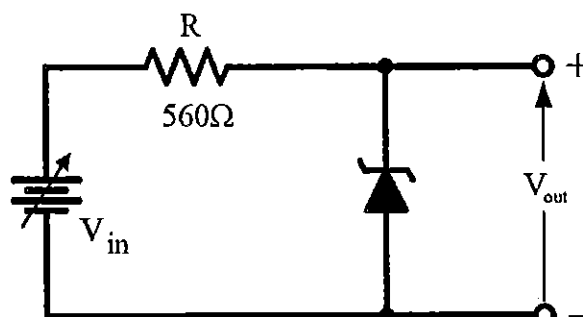
ข. ในทางปฏิบัติ

รูปที่ 2.10 วงจรสมมูลของซีเนอร์ไดโอด

จากกราฟคุณสมบัติทางไฟฟ้าของแรงดันและกระแส และวงจรสมมูลของซีเนอร์ไดโอด ดังรูปที่ 2.9 กับรูปที่ 2.10 V_z เป็นแรงดันเบรกความหรือ แรงดันซีเนอร์ ในการพังทลายของซีเนอร์ไดโอดเมื่อไดรับไบอสกลับ เมื่อเพิ่มแรงดันไบอสกลับจนถึงค่าแรงดันซีเนอร์จะมีกระแสไหลผ่านซีเนอร์ไดโอดมากขึ้น ที่จุดเดียวกับการไฟจะมีกระแสไหลผ่าน ซีเนอร์ไดโอดเท่ากับ I_z (knee current) ซึ่งเป็นกระแสบริเวณเดินโด้งดังรูปที่ 2.10 และถ้าซีเนอร์ไดโอดไดรับแรงดันไบอสกลับสูงขึ้นอีก กระแสจะเพิ่มขึ้นแต่แรงดันซีเนอร์จะคงที่ แต่ถ้าเพิ่มกระแสเกินกว่าค่ากระแสซีเนอร์สูงสุด I_{Zm} (maximum current) แรงดันซีเนอร์จะไม่คงที่และชำรุดได้สามารถหาได้จาก

$$R_z = \frac{\Delta V_z}{\Delta I_z} \quad (2.6)$$

การนำซีเนอร์ไดโอดมาใช้งานจำเป็นจะต้องทราบพิกัดต่างๆ ของซีเนอร์ไดโอด เช่น แรงดันซีเนอร์ อัตราหักกำลังไฟสูงสุด ยกตัวอย่างการนำซีเนอร์ไดโอดมาใช้ในการควบคุมแรงดัน ดังรูปที่ 2.10



รูปที่ 2.11 วงจรรักษาแรงดัน

จากวงจรรูปที่ 2.11 กำหนดให้ซีเนอเริคโอดที่มี $V_Z = 10 \text{ V}$ ต่อกับแหล่งจ่ายโดยมีความต้านทานจำกัดกระแสค่า 560Ω โดยที่ซีเนอเริคโอดมี $I_{ZK} = 4 \text{ mA}$, $I_{ZM} = 40 \text{ mA}$ จะต้องจ่าย V_{in} ย่านใด จึงทำให้ $V_{out} = 10 \text{ V}$ คงที่

จากสมการที่ (2.6) จะได้ว่า

$$I_{ZK} = \frac{V_Z}{R} \quad (2.7)$$

$$V_Z = 14 \text{ mA} \times 560 \Omega = 2.24 \text{ V}$$

$$V_{in} = V_R + V_Z = 2.24 + 10 = 12.24 \text{ V}$$

$$I_{ZM} = \frac{V_Z}{R} \quad (2.8)$$

$$V_Z = 40 \text{ mA} \times 560 \Omega = 22.4 \text{ V}$$

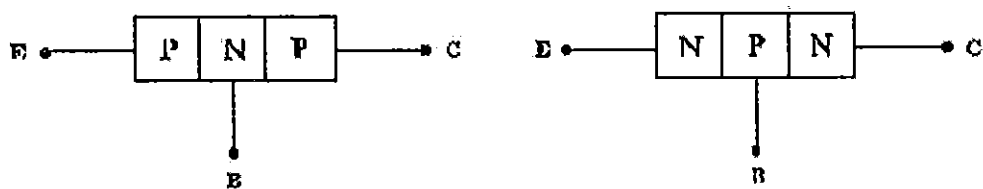
$$V_{in} = V_R + V_Z = 22.4 + 10 = 32.24 \text{ V}$$

ดังนั้น V_{in} ที่ใช้จะอยู่ในช่วง 12.24 V ถึง 32.24 V จะทำให้ $V_{out} 10 \text{ V}$ คงที่

2.3 ทรานซิสเตอร์ (Transistor)

คือ สิ่งประดิษฐ์ที่จากสารกึ่งตัวนำมีสามขา (TREE LEADS) กระแสหรือแรงดัน เพียงเล็กน้อยที่ขาหนึ่งจะควบคุมกระแสที่มีปริมาณมากที่ไหลผ่านขาทั้งสองข้างได้ หมายความว่า ทรานซิสเตอร์เป็นหัวเครื่องขยาย (AMPLIFIER) และสวิตช์ทรานซิสเตอร์ ทรานซิสเตอร์ชนิดสองร้อยต่อเรียกค้ายตัวย่อว่า BJT (BIPOLAR JUNCTION TRANSISTOR)

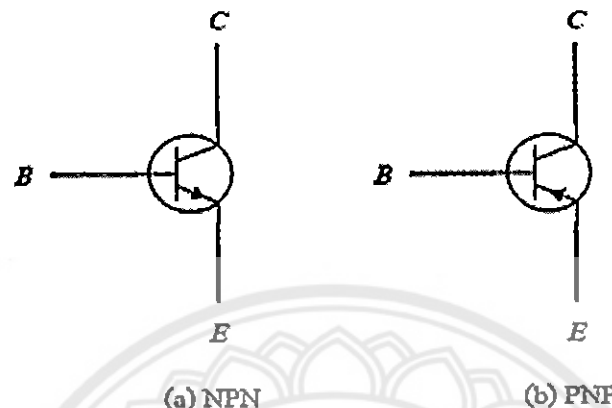
ทรานซิสเตอร์ชนิดสองร้อยต่อหรือ BJT นี้ ประกอบด้วยสารกึ่งตัวนำชนิดพีและเอ็นต่อกันโดยการเติมสารเจือปน (Doping) จำนวน 3 ชั้นทำให้เกิดรอยต่อ (Junction) ขึ้นจำนวน 2 รอยต่อ การสร้างทรานซิสเตอร์จึงสร้างได้ 2 ชนิด คือ ชนิดที่มีสารชนิด N 2 ชั้น เรียกว่าชนิด NPN และชนิดที่มีสารชนิด P 2 ชั้น เรียกว่าชนิด PNP โครงสร้างของทรานซิสเตอร์ชนิด NPN และชนิด PNP แสดงดังรูปที่ 2.12



รูปที่ 2.12 โครงสร้างทรานซิสเตอร์

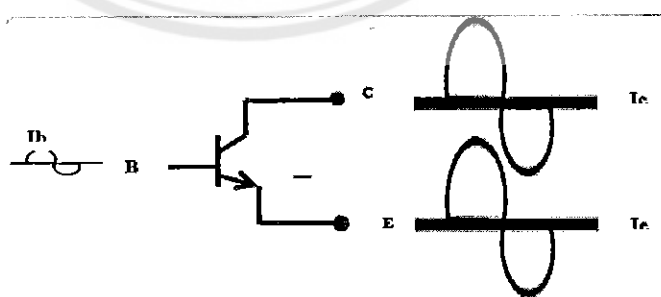
เมื่อพิจารณาจากรูปที่ 2.14 จะเห็นว่าโครงสร้างของทรานซิสเตอร์จะมีสารกึ่งตัวนำ 3 ชั้น แต่ละชั้นจะต่อ漉คตัวนำจากเนื้อสารกึ่งตัวนำไปไว้งานชั้นที่เล็กที่สุด(บางที่สูด)เรียกว่า เบส

(Base) ตัวอักษรย่อ B สำหรับสารกึ่งตัวนำชนิดที่เหลือคือ คอลเลกเตอร์ (collector หรือ C) และ อิมิตเตอร์ (Emitter หรือ E) นั่นคือทรานซิสเตอร์ทั้งชนิด NPN จะมี 3 ขา คือ ขาเบส ขาคอลเลกเตอร์ ในวงจรอิเล็กทรอนิกส์นิยมเขียนทรานซิสเตอร์แทนด้วยสัญลักษณ์ดังรูปที่ 2.13



รูปที่ 2.13 สัญญาลักษณ์ของทรานซิสเตอร์

เนื่องจากทรานซิสเตอร์เป็นอุปกรณ์ที่มีขั้ว 3 ขั้ว คือ ขั้วคอลเลกเตอร์ (Collector ; C), ขั้วเบส (Base ; B) และขั้วอิมิตเตอร์ (Emitter ; E) จึงมีกระแสและแรงดันทรานซิสเตอร์หลายค่า ดังนี้ ทรานซิสเตอร์เป็นอุปกรณ์ซึ่งถูกควบคุมด้วยกระแสเบส [Base Current; I_B] กล่าวคือ เมื่อ I_B มีการเปลี่ยนแปลงแม้มเพียงเล็กน้อยก็จะทำให้กระแสอิมิตเตอร์ [Emitter Current; I_E] และกระแสคอลเลกเตอร์ [Collector Current; I_C] เปลี่ยนแปลงไปด้วยนอกจากนี้ถ้าเราเลือกบริเวณการทำงาน (Operating Region) หรือทำการใบ้อัลที่อยู่ต่อของทรานซิสเตอร์ทั้ง 2 ตำแหน่ง ให้เหมาะสม ก็จะได้ I_E และ I_C ซึ่งมีขนาดมากขึ้นเมื่อเทียบกับ I_B



รูปที่ 2.14 จ่ายสัญญาณให้ทรานซิสเตอร์

จากรูปที่ 2.14 เมื่อจ่ายสัญญาณกระแส AC ที่ขั้วเบส (I_B) หรือที่ด้านอินพุตของทรานซิสเตอร์ก็จะได้รับสัญญาณเอาต์พุตที่ขั้ว E (I_E) และที่ขั้ว C (I_C) มีขนาดเพิ่มขึ้นตัวประกอบหรือเฟกเตอร์ที่ทำให้กระแสไฟฟ้า จากขั้วเบส ไปยังขั้วคอลเลกเตอร์ของทรานซิสเตอร์มีค่าเพิ่มขึ้น

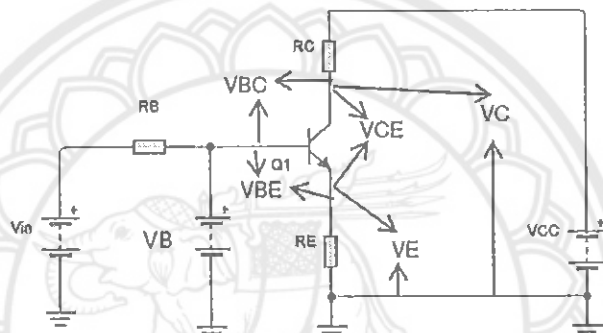
เรียกว่า อัตราขยายกระแสไฟฟ้า (Current Gain) ซึ่งแทนด้วยอักษรกรีก คือ เบต้า (β) ถ้าต้องการหา ปริมาณ I_C ของทรานซิสเตอร์ ก็เพียงแต่คูณ I_B ด้วยพิกัด β เนี่ยเป็นสมการได้ดัง

$$I_C = \beta \times I_B \quad (2.9)$$

$$I_E = I_B + I_C \quad (2.10)$$

$$I_C \sim I_E \quad (2.11)$$

แรงดันของทรานซิสเตอร์จะมีค่าเท่ากับแรงดันไฟฟ้าหาราย ประการเดียวกัน ดังรูปที่ 2.15



รูปที่ 2.15 แรงดันจุดต่างๆ ของวงจรทรานซิสเตอร์ขณะทำงาน

V_{CC} , V_{EE} , และ V_{BB} เป็นแรงดันไฟฟ้าจากแหล่งจ่ายไฟฟ้ากระแสตรง V_C , V_B และ V_E เป็น แรงดันไฟฟ้าที่วัดได้จากขั้ว C, B และ E V_{BC} , V_{BE} และ V_{CE} เป็นแรงดันไฟฟ้าที่วัดได้ระหว่างขั้วที่ ระบุตามหัวลูกศร

เมื่อนำหลักการ มาร่วมพิจารณา ทำให้ทราบว่า การที่จะนำทรานซิสเตอร์ไปใช้งานได้นั้น ต้องต่อแรงดันไฟฟ้าเพื่อทำการ ใบอัลติรอยต์หรือ โอดเก็บเพื่อเพิ่มทั้งสองเนื้องานของทรานซิสเตอร์ มี 3 ขั้วการต่อแรงดันไฟฟ้าที่ขั้วเพื่อให้ทรานซิสเตอร์ทำงานจึงเป็นไปได้ 3 แบบคือ

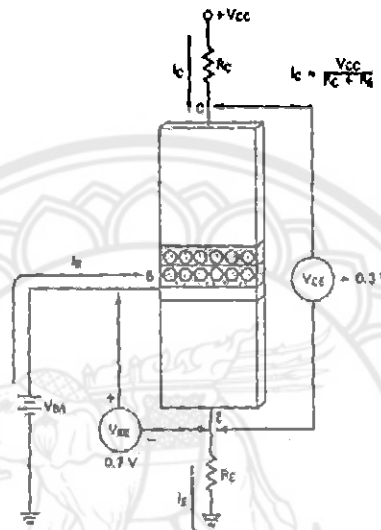
1. การให้ทรานซิสเตอร์ทำงานที่บริเวณคัตออฟ (Cut-off Region)
2. การให้ทรานซิสเตอร์ทำงานที่บริเวณอิมิตัว (Saturation Region)
3. การให้ทรานซิสเตอร์ทำงานที่บริเวณแอคทีฟ (Active Region)

ในการอธิบายถึงการทำงานที่บริเวณต่าง ๆ ของทรานซิสเตอร์นั้น จะเริ่มนับจากกรณีไม่มี การต่อแรงดันที่ขั้ว ของทรานซิสเตอร์ หรือกรณีไม่ได้รับการ ใบอัลติรอยต์

การทำงานที่บริเวณคัตออฟ คือการต่อแหล่งจ่ายไฟฟ้าให้ทรานซิสเตอร์ทำงานใน บริเวณคัตออฟเป็นการ ใบอัลติรอยต์ที่อยู่ต่อหัว 2 ตำแหน่ง ซึ่งจะทำให้กระแสที่ไหลผ่านขั้วทั้งสามมี ค่าใกล้สูญญากาศ การต่อวงจรในลักษณะดังกล่าวบริเวณปลดพาราห์ทั้งสองบริเวณจะขยายกว้างขึ้น

จึงมีเพียงกระแสข้อน กลับ (Reverse Current) กระแสเร็วไหลปริมาณเต็มมากเท่านั้นที่ไหลจากคอลเลคเตอร์ไปยังอิมิตเตอร์ได้

การทำงานที่บริเวณอิ่มตัว จากสมการที่ 2.9 ทำให้ทราบว่าถ้าค่า I_B เพิ่มขึ้น I_C ก็จะเพิ่มขึ้นด้วย เมื่อ I_E เพิ่มขึ้นจนถึงค่าสูงสุด หรือ เรียกว่า ทรานซิสสเตอร์เกิดการอิ่มตัว ตามที่แสดงในรูปที่ 2.16 ค่า I_C จะเพิ่มตามค่า I_B ไม่ได้อีกแล้วการหาค่า I_C ทำได้โดยใช้ V_{CC} หารด้วยผลรวมของความต้านทานที่ข้าวคอลเลคเตอร์(R_C)กับความต้านทาน ที่ข้าวอิมิตเตอร์(R_E) ดังรูปที่ 2.16

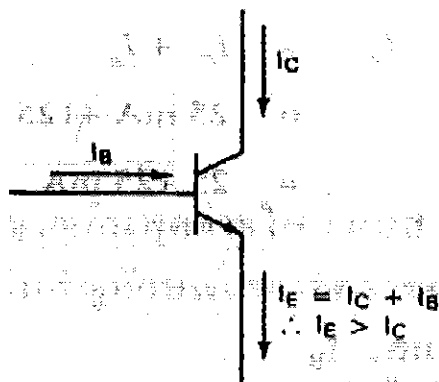


รูปที่ 2.16 วงจรทรานซิสสเตอร์ขั้นอิ่มตัว

สมมติ仮定ว่า V_{CE} ของทรานซิสสเตอร์มีค่า 0 V (สภาพในอุคุมคติ) I_C จะขึ้นอยู่กับค่า V_{CC} , R_C และ R_E ดังนี้

$$I_C = \frac{V_{CC}}{R_C + R_E} \quad (2.12)$$

การทำงานที่บริเวณแยกที่ฟคือ การต่อแหล่งจ่ายไฟฟ้าให้ทรานซิสสเตอร์ทำงานในบริเวณแยกที่ฟเป็นการแยกที่ฟเป็นการใบอัลตราร์ฟอยต่อ อิมิตเตอร์ - เบส และใบอัลตราร์ฟอยต่อ คอลเลคเตอร์ - เบส ดังรูปที่ 2.17



รูปที่ 2.17 การ ไนอัลตรานซิสเตอร์

การอธิบายหลักการทำงานของทรานซิสเตอร์ในบริเวณนี้จะง่ายขึ้น สำพิจารณาเฉพาะ
รอบต่ออินิटเตอร์-เบส โดยแทนด้วยสัญลักษณ์ของไคโอด ดังรูปที่ 2.17 [สมมติ V_{BE} มีค่ามาก
พอที่จะทำให้ไคโอดทำงาน (Si ประมาณ 0.7 V และ Ge ประมาณ 0.3 V)] รอบต่อคือลเก็ตเตอร์-เบส
ได้รับการไนอัลคลับ ทำให้บริเวณปลดพากว้างกว่าที่รอบต่ออินิटเตอร์-เบสซึ่ง ได้รับการไนอัล
ตรง ดังนั้น ความต้านทานที่เบส (R_B) จึงมีค่าสูง เมื่อพิจารณาในรูปที่ 2.19 ของไคโอดจะเห็นว่า I_B
เป็นกระแสที่มีค่าต่ำมาก เมื่อเทียบกับกระแสคือลเก็ตเตอร์ (I_C) และเป็นส่วนหนึ่งของ I_E ดังนั้น
 I_E ส่วนใหญ่จึงเป็นกระแส I_C ซึ่งผ่านรอบต่อคือลเก็ตเตอร์ - เบส ของทรานซิสเตอร์

ค่าพิกัดของทรานซิสเตอร์มีหลายประเภท ในหัวข้อนี้จะกล่าวถึงค่าพิกัดเฉพาะบางประเภท
ขันเป็นพื้นฐาน สำคัญสำหรับการนำทรานซิสเตอร์ไปใช้งานให้ได้ประสิทธิภาพสูงสุด และ
หลีกเลี่ยงไม่ให้เกิดความเสียหายได้ ๆ ซึ่งได้แก่ พิกัดเบต้าไฟฟ้ากระแสตรง, พิกัดอัลฟ้าไฟฟ้า
กระแสตรง, พิกัดกระแสไฟฟ้าสูงสุด และพิกัดแรงดันไฟฟ้าสูงสุดเบต้าไฟฟ้ากระแสตรง (β_{DC})
พิกัดเบต้าไฟฟ้ากระแสตรงของทรานซิสเตอร์ซึ่งมักเรียกว่า ๆ ว่าเบต้า เป็นอัตราส่วนของ I_C ต่อ
 I_B เขียนเป็นสมการได้ดังนี้ กือ

$$\beta = \frac{I_C}{I_B} \quad (2.13)$$

วงจรทรานซิสเตอร์ส่วนมากมีสัญญาณอินพุตจ่ายให้ข้ามเบส และสัญญาณเอาต์พุตออกจาก
ข้ามคือลเก็ตเตอร์ เบต้าของทรานซิสเตอร์จึงเป็นสัญลักษณ์แทนอัตราขยายกระแส DC (DC Current
Gain) ของทรานซิสเตอร์ จากสมการ 2.9 และ 2.13 หากกระแสอินิटเตอร์ได้ ดังนี้

$$I_C = \beta \times I_B \quad (2.14)$$

$$I_E = I_B + I_C$$

$$\begin{aligned}
 &= I_B + \beta \times I_B \\
 I_E &= I_B \times (1+\beta)
 \end{aligned} \tag{2.15}$$

ใช้เบต้าและกระแสไฟฟ้าที่ขึ้นได้ขึ้นหนึ่งหาก่ากระแสไฟฟ้าที่ขึ้นอื่นๆ ได้อัลฟ้าไฟฟ้ากระแสตรง (α_{DC}) พิกัดอัลฟ้าของทรานซิสเตอร์ ซึ่งมักเรียกว่า ว่า อัลฟ้า คือ อัตราส่วน I_C ต่อ I_E เอียนเป็นสมการได้ดังนี้

$$\alpha = \frac{I_C}{I_E} \tag{2.16}$$

เมื่อนำกฎกระแสไฟฟ้าของเคอร์ชอร์ป์มาร่วมพิจารณา จะเห็นได้ว่าความสัมพันธ์ระหว่างกระแสไฟฟ้าที่ขึ้นทั้งสามของทรานซิสเตอร์เป็นดังสมการ (2.9) คือ

$$\begin{aligned}
 I_E &= I_B + I_C \\
 I_C &= I_E - I_B
 \end{aligned}$$

เนื่องจาก I_C มีค่าต่ำกว่า I_E (เป็นปริมาณเท่ากับ I_B) ดังนั้น α หรือ $\frac{I_C}{I_E}$ จึงมีค่าต่ำกว่า 1 จากสมการที่ (2.16) ทำให้ได้

$$I_C = \alpha \times I_E \tag{2.17}$$

จากความสัมพันธ์ดังกล่าว หากา I_B ได้ดังนี้

$$\begin{aligned}
 I_B &= I_E - I_C \\
 &= I_E - (\alpha \times I_E) \\
 I_B &= I_E \times (1 - \alpha)
 \end{aligned} \tag{2.18}$$

ความสัมพันธ์ระหว่างอัลฟ้าและเบต้า(The Relationship Between Alpha and Beta)โดยทั่วไปสเปคของทรานซิสเตอร์จะระบุค่าเบต้า แต่จะไม่มีค่าอัลฟานៅื่องจากมักใช้ค่าเบต้าสำหรับ การคำนวณในวงจรทรานซิสเตอร์มากกว่าอัลฟายังไงครึ่งนำเป็นต้องหากาอัลฟ้าเพื่อคำนวณค่าอื่น ต่อไป จึงมีวิธีการหาค่าอัลฟ้าในเทอมของเบต้า โดยเริ่มนั้นจากสมการที่ 2.16

$$\alpha = \frac{I_C}{I_E}$$

เขียนสมการใหม่โดยใช้สมการที่ (2.14) แทนค่า I_C และสมการที่ (2.15) แทนค่า I_E

$$\alpha = \frac{\beta}{(1 + \beta)} \quad (2.19)$$

$$I_E = (\beta + 1) \times I_B \quad (2.20)$$

สเปคของทรานซิสเตอร์ระบุค่าพิกัดสูงสุดของกระแสออกเลคเตอร์ (I_{Cmax}) ไว้เสมอ I_{Cmax} หมายถึง กระแสออกเลคเตอร์สูงสุดที่ทรานซิสเตอร์ทนได้โดยไม่ทำให้เกิดความร้อนจนทรานซิสเตอร์เสียหาย ดังนั้นการนำทรานซิสเตอร์ไปใช้งานต้องระวังไม่ให้ค่า I_C สูงกว่า I_{Cmax} ค่า I_{Cmax} จะขึ้นอยู่กับค่ากระแสเบสสูงสุด (I_{Bmax}) ดังนี้

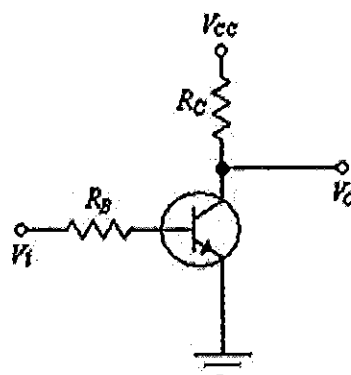
$$I_{Bmax} = \frac{I_{Cmax}}{\beta_{max}} \quad (2.21)$$

สเปคของทรานซิสเตอร์ส่วนมากจะระบุค่าพิกัดสูงสุดของแรงดันที่ข้าวคอกเลคเตอร์-เบส (V_{CBmax}) V_{CBmax} หมายถึง แรงดันในอัลตร้าลับที่ใช้กับบอร์ดต่อคอกเลคเตอร์-เบสได้โดยไม่ทำให้ทรานซิสเตอร์เสียหาย ดังนั้นการนำทรานซิสเตอร์ไปใช้งานจึงต้องระวังไม่ให้ V_{CB} สูงกว่า V_{CEmax}

ในการนำทรานซิสเตอร์ไปใช้งานพอยจะแบ่งเป็นหมวดใหญ่ ๆ ได้ 2 หมวด คือ

1. ในวงจรอนามัยอ กหรือวงจรขยายสัญญาณ
2. ในวงจรคิดต่อห หรือวงจรสวิตช์ซึ่งทำหน้าที่เป็นสวิตช์

ยกตัวอย่างทรานซิสเตอร์เป็นสวิตช์ วงจรทรานซิสเตอร์สวิตช์(Transistor Switching Circuit)โดยปกติจะไม่มีการใบอัลตร้าลับ เนื่องจากทรานซิสเตอร์จะถูกให้ทำงานแค่สองโหมดเท่านั้นคือ โหมดคัมตัว (Saturation Mode) และ โหมดคัตออฟ (Cutoff Mode)



รูปที่ 2.18 วงจรทรานซิสเตอร์สวิตช์

จากรูปที่ 2.18 เป็นวงจรทรานซิสเตอร์สวิตช์แบบพื้นฐาน ซึ่งการพิจารณาจะจะพิจารณาในภาวะที่ ทรานซิสเตอร์อิ่มตัว (“ON”) หรือ นำกระแสสกัดทรานซิสเตอร์คัดออก (“OFF”) หรือ ไม่นำกระแส (ซึ่งในวงจรดังกล่าวเอาท์พุตที่ได้ (V_O) จะกลับเฟสกับอินพุต (V_I) นั่นคือ ถ้าอินพุตเป็น High(V_I) เอาท์พุตจะมีค่าเป็น Low (0 Volt) และ ถ้าอินพุตเป็น Low เอาท์พุตจะมีค่าเป็น High (มีค่าโกลเดี้ยง V_{CC}) เรียกว่างรแบบนี้ว่าวงจรอินเวอร์เตอร์ (Inverter) เมื่อทรานซิสเตอร์ “ON” หรือ saturation

$$I_{Cset} = \frac{V_{CC}}{R_C} \quad (2.22)$$

การออกแบบจะต้องให้ I_B มีค่ามากพอที่จะทำให้ ทรานซิสเตอร์ “ON” อย่างเต็มที่ดังนี้

$$I_B < \frac{I_{Cset}}{\beta_{DC}} \quad (2.23)$$

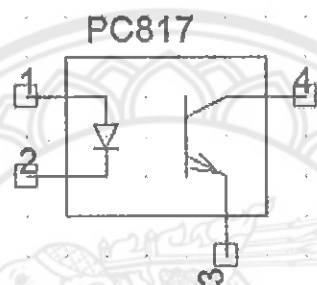
เมื่อแรงดันอินพุตเท่ากับ V_i และ R_B ดังนี้

$$V_i = I_B \times R_B + V_{BE} \quad (2.24)$$

2.4 ออปโตคัปเปลอร์ (Optocoupler)

เป็นอุปกรณ์เชื่อมต่อทางแสง หรือออปโตคัปเปลอร์ (Opto-Coupler) หรือบางทีก็เรียกว่า อุปกรณ์แยกสัญญาณทางแสง (Opto-Isolator) เป็นอุปกรณ์อิเล็กทรอนิกส์สำหรับการเชื่อมต่อทางแสง โดยการเปลี่ยนสัญญาณไฟฟ้าให้เป็นแสงแล้วเปลี่ยนกลับเป็นสัญญาณไฟฟ้าตามเดิม นิยมใช้สำหรับการ เชื่อมต่อสัญญาณระหว่างสองวงจร และต้องการแยกกันทางไฟฟ้าโดยเด็ดขาด เพื่อป้องกันการรบกวนกันทางไฟฟ้าระหว่างสองวงจร ภายในของอุปกรณ์ประเภทนี้ ประกอบด้วย

ไดโอดเปล่งแสง (LED) ซึ่งทำหน้าที่เป็นตัวส่งแสง (Optical Transmitter) เช่น แสงอินฟราเรด (Infrared) และสำหรับตัวรับแสง (Optical Receiver) ซึ่งมักนิยมใช้โฟโต้ทรานซิสเตอร์ (Phototransistor) เป็นตัวรับโดยจะถูกผลิตรวมอยู่ในตัวถังเดียวกัน โฟโต้ทรานซิสเตอร์ทำงานได้ในลักษณะเดียวกับทรานซิสเตอร์อย่างต่อเนื่องแบบ NPN แต่ไม่มีขาเบส (B) และถูกแทนที่ด้วยส่วนรับแสง เมื่อได้รับแสงหรืออนุภาคของแสง หรือที่เรียกว่า โฟตอน (Photons) ในปริมาณมากพอ จะทำให้เกิดอนุภาคอิเล็กทรอนิกส์ที่มีประจุในบริเวณรอยต่อระหว่างเบสและคอลเลกเตอร์ (Base-Collector Region) และให้ผลเหมือนมีกระแสไฟ流เข้าที่ขาเบสสูงที่ 2.19 แสดงสัญลักษณ์ของอุปกรณ์เชื่อมต่อทางแสงแบบ 4 ขา (เบอร์ PC817)

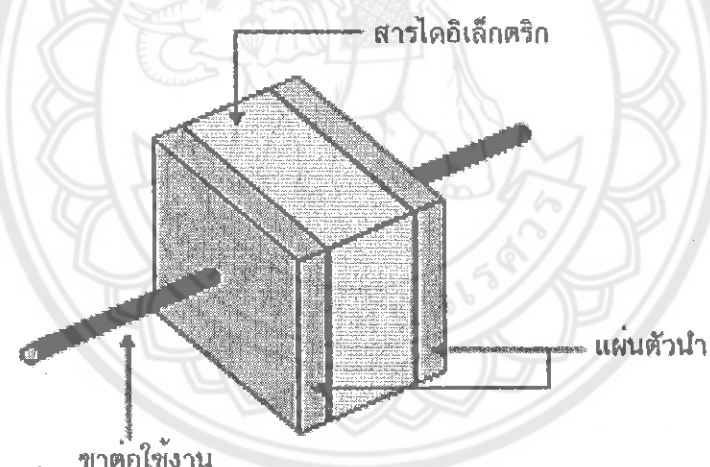


รูปที่ 2.19 สัญลักษณ์ทางไฟฟ้าของอุปกรณ์เชื่อมต่อทางแสง ชนิด NPN Optocoupler

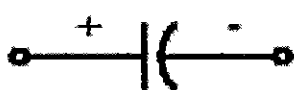
อุปกรณ์เชื่อมต่อทางแสงสามารถรับสัญญาณอินพุต (ดิจิทัล) เช่นจากไมโครคอนโทรลเลอร์ เพื่อใช้เปิด-ปิด ไดโอดเปล่งแสงที่อยู่ภายในตัวอุปกรณ์ (ทำให้มีกระแสไฟ流ได้โอดเปล่งแสง) และทำหน้าที่ควบคุมการทำงานของโฟโต้ทรานซิสเตอร์ด้วยแสง ดังนั้นจึงนำไปใช้ในลักษณะเป็น อุปกรณ์สวิตซ์เปิด-ปิด หรือนำไปต่อ กับวงจรทรานซิสเตอร์ภายนอกเพื่อให้สามารถขับกระแสได้ ในปริมาณที่สูงขึ้น เมื่อแรงดันอินพุตอยู่ในระดับที่สูงกว่าแรงดันไฟอัลตรารูป (IF) ทำให้ได้ โอดเปล่งแสงตามปริมาณกระแสไฟฟ้าที่ไหล ในการต่อวงจรจะต้องมีตัวต้านทานต่ออนุกรมอยู่ด้วย เพื่อจำกัดปริมาณของกระแสที่ไหลไม่ให้สูงเกิน ซึ่งขึ้นอยู่กับอุปกรณ์แต่ละตัวที่ใช้ แต่โดยทั่วไป แล้ว ควรจะให้อยู่ในช่วง 5-50 มิลลิแอมป์ (mA) เมื่อโฟโต้ทรานซิสเตอร์ได้รับแสงจะทำให้สามารถ นำไฟฟ้าได้ระหว่างขา C และ E ซึ่งให้ผลเหมือนในกรณีที่จ่ายกระแส เข้าที่ขาเบส (B) ของ ทรานซิสเตอร์อย่างต่อเนื่อง NPN และถ้ามีแรงดันต่ำกว่า 0V (VCE > 0V) ก็จะทำให้ มีกระแสเดินทางกลับไป

2.5 ตัวเก็บประจุ (capacitor)

ตัวเก็บประจุเป็นอุปกรณ์อิเล็กทรอนิกส์ที่ถูกนำมาใช้อย่างกว้างขวางในวงจรอิเล็กทรอนิกส์ ตัวเก็บประจุเป็นอุปกรณ์ที่สามารถเก็บประจุไฟฟ้าเอาไว้ภายในตัวมันแล้วจ่ายให้กับวงจรในเวลาที่ต้องการได้ ตัวเก็บประจุจึงเปรียบเสมือนเป็นแหล่งจ่ายแรงดันไฟฟ้าที่ต่อยู่ภายในวงจรเพื่อใช้งาน ในช่วงที่วงจรไม่มีระดับของแรงดันไม่เพียงพอ ตัวเก็บประจุมักถูกใช้ในการรักษาระดับแรงดันในวงจร จึงอาจกล่าวได้ว่าตัวเก็บประจุทำหน้าที่เป็นตัวกรองแรงดันไฟฟ้า นอกจากนี้ตัวเก็บประจุยังถูกใช้ในการกันกระแสไฟตรง โดยยอมให้เพียงกระแสไฟเดียวผ่านได้ หรืออาจใช้ลักษณะ ให้กระแสไฟเดินลงดิน ในบางครั้งเราอาจเรียกตัวเก็บประจุแบบทันศัพท์ว่า capacitor หรือ คอนденเซอร์ (condenser) หรือเรียกย่อๆ ว่า ซี (C) ตัวเก็บประจุเป็นอุปกรณ์สะสมพลังงานไฟฟ้าในรูปของประจุไฟฟ้าซึ่งถูกควบคุมด้วยสนามไฟฟ้า โครงสร้างพื้นฐานของตัวเก็บประจุประกอบไปด้วยแผ่นตัวนำสองแผ่นที่ถูกคลี่ไว้ด้วยสารไออิเล็กตริกดังแสดงในรูปที่ 2.20 สารไออิเล็กตริกที่นิยมนำมาใช้ทำตัวเก็บประจุ ได้แก่ อากาศ กระดาษ น้ำมัน เซรามิก ไม้ก้า (mica) น้ำยาอิเล็กโทร ไลต์พลาสติก หรือเทฟลอน (teflon) สัญลักษณ์ทางไฟฟ้าของตัวเก็บประจุแสดงในรูปที่ 2.21



รูปที่ 2.20 โครงสร้างพื้นฐานของตัวเก็บประจุ



(ก) ชนิดมีข้าว



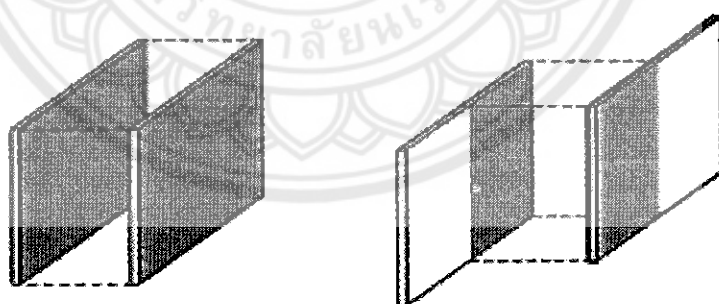
(ข) ชนิดไม่มีข้าว

รูปที่ 2.21 สัญลักษณ์ของตัวเก็บประจุ

ตัวเก็บประจุแต่ละตัวจะมีความสามารถในการเก็บสะสมประจุไฟฟ้าแตกต่างกัน ทำนองเดียวกับตัวต้านทาน ที่มีค่าความต้านทาน ซึ่งบวกถึงขนาดความสามารถในการต้านทานการไฟฟ้าของกระแสไฟฟ้าของตัวต้านทาน ตัวเก็บประจุ ก็มีค่าความจุซึ่งเป็นปริมาณที่ใช้บอกว่าตัวเก็บประจุมีความสามารถในการเก็บสะสมประจุได้มากน้อยเพียงใดค่าความจุนี้ หน่วยเป็นฟารัด (farad หรือ ตัวย่อ F) โดยตั้งชื่อให้เป็นเกียรติแก่นักวิทยาศาสตร์ ชื่อ ไมเคิล ฟาราเดย์ (Michael Faraday) ค่าความจุของตัวเก็บประจุในทางกายภาพนั้นขึ้นอยู่กับปัจจัย 3 ประการคือ

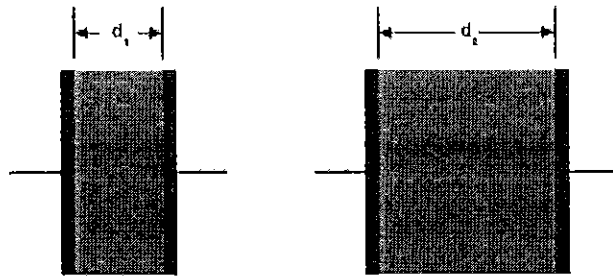
1. พื้นที่ส่วนที่ซ้อนกันของแผ่นตัวนำ
2. ระยะห่างระหว่างแผ่นตัวนำ
3. ชนิดของไอดิอเล็กทริกที่นำมาใช้ทำตัวเก็บประจุ

พื้นที่ส่วนที่ซ้อนกันของแผ่นตัวนำ เป็นปัจจัยหนึ่งที่ใช้ในการกำหนดขนาดของค่าความจุโดยถ้าเราวางแผ่น ตัวนำซ้อนกันเต็มแผ่นตามรูปที่ 2.22 (ก) ตัวเก็บประจุก็สามารถเก็บประจุไฟฟ้าได้มาก แต่ถ้าเราวางแผ่นตัวนำให้ซ้อนกัน น้อย ดังรูปที่ 2.22 (ข) ก็จะทำให้ตัวเก็บประจุสามารถเก็บประจุไฟฟ้าได้ลดลง ในการปฏิบัติเรานำเอาหลักการของการเปลี่ยนค่าความจุของตัวเก็บประจุโดยการเปลี่ยนแปลงพื้นที่ของส่วนที่ซ้อนกันของแผ่นตัวนำนี้ไปสร้างเป็นหนึ่งของตัวเก็บประจุชนิดปรับค่าได้ หรืออีกประการหนึ่ง ถ้าพื้นที่ของแผ่นตัวนำมีขนาดเดิมก็จะทำให้ตัวเก็บประจุสามารถเก็บประจุไฟฟ้า ได้น้อย ในทางตรงกันข้าม ถ้าพื้นที่ของแผ่นตัวนำมีขนาดใหญ่ ก็จะทำให้ตัวเก็บประจุสามารถเก็บประจุไฟฟ้าได้มากกว่า



(ก) เมื่อแผ่นตัวนำซ้อนกันเต็มพื้นที่ค่าความจุมาก (ข) เมื่อแผ่นตัวนำซ้อนกันไม่เต็มพื้นที่ค่าความจุน้อย
รูปที่ 2.22 ลักษณะพื้นที่ส่วนที่อยู่ซ้อนกันของแผ่นตัวนำที่มีผลต่อค่าความจุ

ระยะห่างระหว่างแผ่นตัวนำ จะมีผลต่อปฏิกริยาระหว่างแผ่นตัวนำทั้งสอง โดยถ้าเราวางแผ่นตัวนำทั้งสองให้มีระยะห่างน้อยลง จะทำให้ค่าความจุเพิ่มมากขึ้น ดังรูปที่ 2.23 (ก) แต่ถ้าเราเลื่อนแผ่นตัวนำทั้งสองออกให้มีระยะห่างกันมากๆ จะมีผลทำให้ค่าความจุลดลง ดังรูปที่ 2.23 (ข)



(ก) ระยะห่างน้อย ค่าความจุมาก

(ข) ระยะห่างมาก ค่าความจุน้อย

รูปที่ 2.23 ระยะห่างระหว่างแผ่นตัวนำที่มีต่อค่าความจุ

ชนิดของ ไดอิเล็กตริกที่นำมาใช้ทำตัวเก็บประจุ ค่าเพอร์เมตติวิตี้หรือสภาพข้อมูล (สัญลักษณ์คือ ϵ_r) ของสาร ไดอิเล็กตริก ซึ่งเป็นค่าเฉพาะตัวของสาร ไดอิเล็กตริก เป็นอีกปัจจัยหนึ่งที่มีผลต่อค่าความจุของตัวเก็บประจุ ถ้าใช้สาร ไดอิเล็กตริกที่มีค่าเพอร์เมตติวิตี้มาก ก็จะได้ตัวเก็บประจุที่มีค่าความจุมาก โดยทั่วไปค่าเพอร์เมตติวิตี้จะบวกมาเป็น ค่าเพอร์เมตติวิตี้สัมพัทธ์ (สัญลักษณ์คือ ϵ_r) หรือค่าคงตัวไดอิเล็กตริกคือเป็นค่าเพอร์เมตติวิตี้ของสารเมื่อเทียบกับ ค่าเพอร์เมตติวิตี้ของอากาศ โดยถือว่าอากาศมีค่าเพอร์เมตติวิตี้สัมพัทธ์เป็นหนึ่ง นั่นคือค่าเพอร์เมตติวิตี้ของสาร ไดอิเล็กตริก จะมีค่าเท่ากับผลรวมระหว่างค่าเพอร์เมตติวิตี้สัมพัทธ์ของสาร ไดอิเล็กตริกนั้นกับค่าเพอร์เมตติวิตี้ของอากาศ ค่าเพอร์เมตติวิตี้สัมพัทธ์ หรือ ค่าคงตัวไดอิเล็กตริกของสาร ไดอิเล็กตริก ที่นิยมนิยมนำมาใช้ทำตัวเก็บประจุชนิดต่างๆจะแสดงไว้ในตารางที่ 1 ตัวอย่าง ถ้าเราใช้ไดอิเล็กตริกชนิดเซรามิก (ceramic) แทน ไดอิเล็กตริกชนิดอากาศ เราจะได้ตัวเก็บประจุที่มีค่าความจุเพิ่มเป็น 3 เท่าของ ไดอิเล็กตริกชนิดอากาศ เป็นต้น

ตารางที่ 2.1 ตารางแสดงหรือ ค่าคงตัวไดอิเล็กตริกของสาร ไดอิเล็กตริก

วัสดุ	ค่า ϵ_r
สุญญากาศ	1
อากาศ	1.0006
เทฟлон	2.0
ยาง	2 - 3
กระดาษ	2 - 3
เซรามิก	3 - 7
ควอร์ค	4
น้ำมันหล่อลื่น	4.0
แก้ว	4 - 7
ไมกา	5 - 7

ในเชิงคณิตศาสตร์เราสามารถแสดงความสัมพันธ์ระหว่างค่าความจุ พื้นที่ของแผ่นตัวนำ ระยะห่างระหว่างแผ่นตัวนำ และค่าคงตัวไดอิเล็กทริกได้ดังสมการ

$$C = \frac{A\epsilon_0\epsilon_r}{d} \quad (2.25)$$

โดยที่ A = พื้นที่ของแผ่นตัวนำ (m^2)

ϵ_0 = ค่าเพอร์เมตติวิตของอากาศค่า 8.85×10^{-12} F/m (farad/m)

ϵ_r = ค่าเพอร์เมตติวิตสัมพัทธ์หรือค่าคงตัวไดอิเล็กทริกของสาร ไดอิเล็กทริก (dielectric constant หรือ relative permittivity)

d = ระยะห่างระหว่างแผ่นตัวนำ (m)

จากสมการที่ (2.25) จะเห็นได้ว่าค่าความจุจะแปรผันตรงกับพื้นที่ของแผ่นตัวนำและค่าคงตัวไดอิเล็กทริกของสารที่ใช้ทำไดอิเล็กทริกนั้นคือถ้าพื้นที่ของแผ่นตัวนำเพิ่มมากขึ้น ค่าความจุก็จะเพิ่มขึ้นด้วย ทำนองเดียวกันถ้าใช้สาร ไดอิเล็กทริกที่มีค่าคงตัวไดอิเล็กทริกมากค่าความจุก็จะมากตาม ในทางตรงกันข้ามค่าความจุจะแปรผันกับระยะห่างระหว่างแผ่นตัวนำ เมื่อเพิ่มระยะห่างระหว่างแผ่นตัวนำขึ้น ค่าความจุจะมีค่าลดลงเมื่อพิจารณาตัวเก็บประจุในมุมมองทางไฟฟ้า ตัวเก็บประจุนั้นสามารถสะสมพลังงานในรูปของประจุไฟฟ้าโดยอาศัยสนามไฟฟ้าที่ได้จากการต่อข้างของตัวเก็บประจุเข้ากับแหล่งจ่าย ค่าความจุ (ใช้ตัวบ่ง C) ซึ่งเป็นสิ่งที่ใช้วัดความสามารถในการเก็บประจุของตัวเก็บประจุคือ ปริมาณของประจุที่เก็บสะสมไว้ได้ต่อค่าแรงดันต่อกันร่วมระหว่างแผ่นตัวนำทั้งสอง ดังสมการที่ (2.26)

$$C = \frac{Q}{V} \text{ หรือ } Q = C \times V \quad (2.26)$$

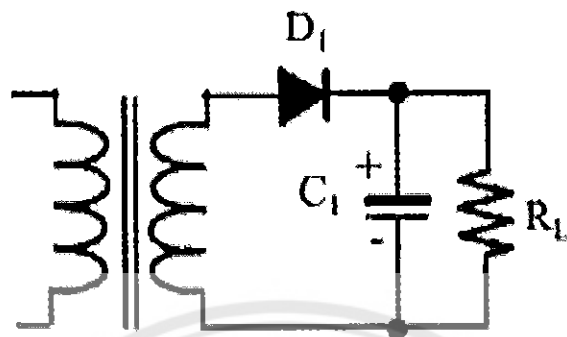
เมื่อ C คือค่าความจุ (ฟาร์ด) Q คือประจุไฟฟ้า (คูลอมบ์) และ V คือแรงดัน (โวลต์) ค่าความจุนี้หมายเป็นฟาร์ด(Farad หรือ F) ดังนั้นเราสามารถถอดล้าวได้ว่า ค่าความจุหนึ่งฟาร์ดคือค่าความจุที่ต้องใช้ในการเก็บประจุหนึ่งคูลอมบ์ด้วยแรงดันหนึ่งโวลต์ หรือค่าความจุซึ่งเมื่อป้อนแรงดันไฟฟ้าหนึ่งโวลต์แล้วทำให้เกิดประจุไฟฟ้าสะสมในตัวเก็บประจุหนึ่งคูลอมบ์ ค่าความจุหนึ่งฟาร์ดจะเป็นหน่วยที่ใหญ่มาก ดังนั้นโดยปกติแล้วขนาดของตัวเก็บประจุที่พนหนึ่งทั่วไปจะมีค่าเล็กๆ เช่น $pF = 10^{-12}$ F, $nF = 10^{-9}$ F หรือ $\mu F = 10^{-6}$ F เป็นต้น

การนำตัวเก็บประจุมาใช้ วงจรค่าปานิชิสเตอร์ (Capacitor Filter Circuit) เป็นวงจรฟิลเตอร์ที่นิยมใช้กันมากในปัจจุบัน ทahn ที่กรองแรงดันให้เรียบ ตัวเก็บประจุกรองกระแสจะทำการเก็บประจุเมื่อแรงดันตกคร่อมตัวเก็บประจุมีค่าน้อยกว่าแหล่งจ่าย และจะทำการคายประจุให้กับโหลด



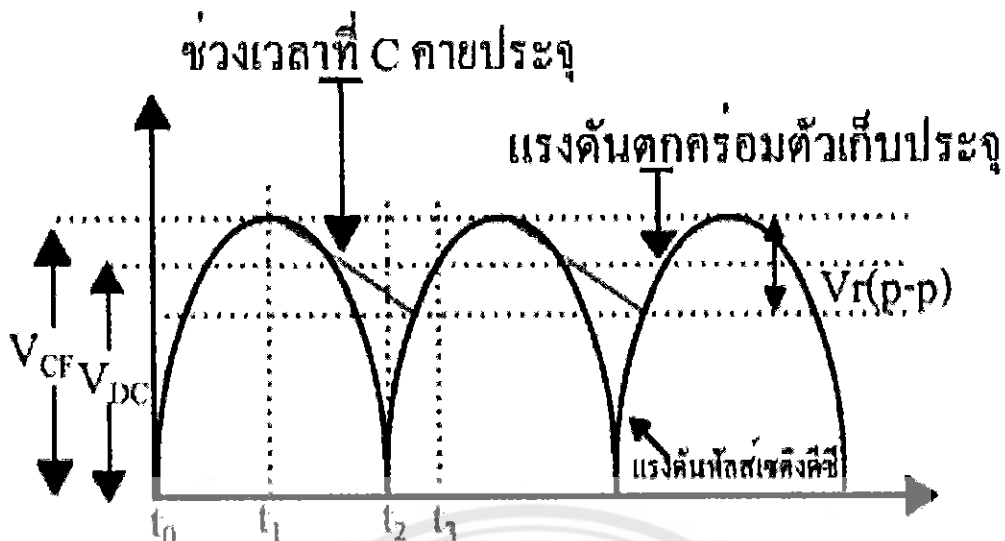
เมื่อแรงดันตกคร่อมตัวเก็บประจุมีค่ามากกว่าแหล่งจ่าย ดังนั้นเมื่อมีแรงดันจากการเรียงกระแสแล้ว ป้อนที่วงจรของกระแสจะทำให้ตัวเก็บประจุทำการเก็บประจุ และเมื่อไม่มีแรงดันจากการเรียงกระแสตัวเก็บประจุจะทำการขายประจุให้กับโหลด สำเนา กหสส ๕๖๗

๑๑๐ ๓.๑. ๒๕๖๐



รูปที่ 2.24 วงจรกรองกระแสแบบครึ่งคลื่น

จากรูปที่ 2.24 เป็นวงจรกรองกระแสแบบครึ่งคลื่นซึ่งมี D_1 ทำหน้าที่เรียงกระแส และ C_1 เป็นตัวเก็บประจุที่ทำหน้าที่กรองแรงดันจากการเรียงกระแส โดยมีตัวทานทาน RL เป็นโหลดเพื่อรับค่าแรงดันที่ได้เมื่อมีแรงดันพลัสด์เซตติ้งคិซีจากการเรียงกระแส ป้อนเข้ากรองกระแสแบบครึ่งคลื่นตัวเก็บประจุจะทำการเก็บประจุ ทำให้แรงดันตกคร่อมตัวเก็บประจุสูงขึ้นจนค่า V_m จากนั้นแรงดันพลัสด์เซตติ้งคិซีที่มีค่าสูงสุดจะมีค่าลดลงเหลือศูนย์โวลต์ ในช่วงเวลาเดียวกันนี้แรงดันที่ตกคร่อมตัวเก็บประจุจะมีค่ามากกว่าแรงดันพลัสด์คិซี ทำให้ตัวเก็บประจุขายประจุให้กับโหลด แรงดันตกคร่อมตัวเก็บประจุจะมีค่าลดลง จนแรงดันพลัสด์เซตติ้งคិซีมีค่าเพิ่มขึ้นอีก (แต่ในช่วงแรก ๆ แรงดันพลัสด์เซตติ้งคិซียังมีค่าน้อยตัวเก็บประจุจะคงค่ายประจุ) เมื่อแรงดันพลัสด์เซตติ้งคិซีจากการเร็กติไฟร์มีค่ามากกว่าแรงดันตกคร่อมตัวเก็บประจุ จะทำให้ตัวเก็บประจุทำการเก็บประจุอีกครั้ง จนแรงดันตกคร่อมตัวเก็บประจุมีค่าถึงค่า V_m หลังจากนั้นตัวเก็บประจุจะทำการขายประจุอีกครั้ง ที่เวลา t_0 แรงดันพลัสด์เซตติ้งคិซีจะมีค่าเป็นศูนย์ และแรงดันตกคร่อม C_1 มีค่าเป็นศูนย์โวลต์ เมื่อเวลาผ่านไป ($t_0 - t_1$) แรงดันพลัสด์เซตติ้งคិซีจะมีค่าเพิ่มขึ้นเรื่อย ๆ C_1 จะทำการเก็บประจุทำให้แรงดันตกคร่อม C_1 มีค่าเพิ่มขึ้นเท่ากับแรงดันพลัสด์เซตติ้งคិซี

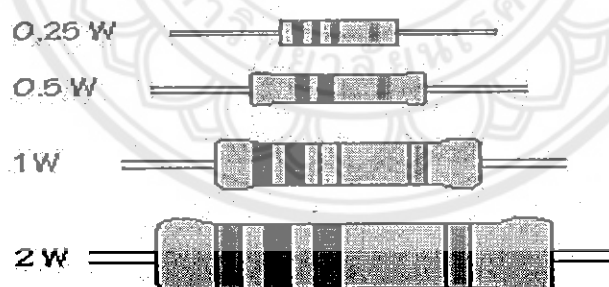


รูปที่ 2.25 การทำงานของวงจรค่าปาซิสเตอร์ฟิลเตอร์และรูปลิ่นแรงดันค่านอก

2.6 ตัวต้านทาน (Resistor)

ตัวต้านทาน (Resistor) มีมากน้อยแตกต่างกันทั้งขนาดและรูปร่าง แต่สำหรับที่อย่างเดียว ก็คือ จำกัดกระแส (Limit current) ยกตัวอย่างตัวต้านทานชนิดค่าคงที่

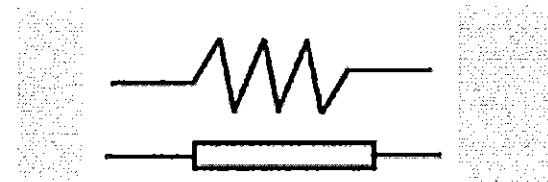
ตัวต้านทานที่พับเห็นได้จ่ายในวงจรจะเป็นตัวต้านทานชนิดค่าคงที่ ตัวอย่างของตัวต้านทานแบบนี้แสดงให้เห็นดังรูปที่ 2.26



รูปที่ 2.26 ตัวอย่างตัวต้านทานชนิดค่าคงที่แบบต่างๆ

ตัวต้านทานที่มีค่าคงที่เหล่านี้บางชนิดทำมาจากรีบอนเคลือบด้วยพลาสติกหรือเซรามิก แข็งสีดำหรือสีน้ำตาล ตัวต้านทานบางแบบทำด้วยสารจำพวกโลหะออกไซด์ ตัวต้านทานชนิดนี้โดยทั่วไปจะมีค่าผิดพลาดน้อย (Tolerance) หรือมีค่าความถูกต้องเชื่อถือได้ตามที่นักออกแบบกำหนดไว้ที่ เป็นໄคิตัวต้านทานคงที่ชนิดลวดพัน (wire wound) ตัวต้านทานชนิดนี้ทำมาจากลวดความต้านทาน พันรอบแกนจนวน ซึ่งทำด้วยสารจำพวกเซรามิก ตัวต้านทานชนิดนี้มีลักษณะสมบัติพิเศษคือ

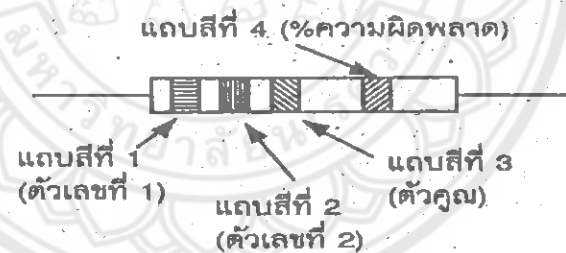
สามารถทบทวนต่อการให้ผลของกระแสผ่านตัวมันได้สูงกว่าตัวต้านทานแบบอื่น สัญลักษณ์ของตัวต้านทานชนิดค่าคงที่



รูปที่ 2.27 สัญลักษณ์ของตัวต้านทานชนิดค่าคงที่

หน่วยที่ใช้วัดค่าความต้านทานเรียกว่า โอห์มจากนิยามความต้านทานหนึ่งโอห์มหมายความว่าเมื่อป้อนแรงดันคร่อมตัวต้านทานหนึ่ง โวลต์แล้วมีค่ากระแสไฟฟ้าผ่านหนึ่งแอมเปอร์ ตัวต้านทานนี้จะมีค่าหนึ่ง โอห์ม โครงสร้างและขนาดของตัวต้านทานที่ทันกำลังงานได้ต่างกัน เครื่องมือที่ใช้วัดหาค่าความต้านทานเรียกว่า โอห์มมิเตอร์(ohmmeter) แต่เมื่อใช้ตัวต้านทานในวงจร อิเล็กทรอนิกส์

การอ่านค่าตัวต้านทานในการที่จะวัดตัวต้านทานที่อยู่ในวงจรทำได้ยาก เพราะไม่สะดวก ต่อการวัด ดังนั้นผู้ผลิตจึงกำหนดสัญลักษณ์สีแทนค่าความต้านทานค่าตัวต้านทานกำหนดด้วยแถบสีสามสีที่พิมพ์คือสีบุ้นตัวต้านทานและการกำหนดค่าความผิดพลาด(tolerance)ดังรูปที่ 2.29



รูปที่ 2.28 แถบสีตัวต้านทาน

โดยปกติมีค่าเข่นน้อยกว่า 5% หรือน้อยกว่า 10% จะใช้แถบสีแถบที่สีเป็นตัวบอกແฉนต์สองสีแรกคือแถบสีแถบ A และแถบ B เป็นตัวเลขที่บ่งบอกค่าความต้านทานของตัวต้านทานที่เป็นตัวเลขนัยสำคัญ (Significant digit) ส่วนในแถบ C เป็นตัวที่จะบอกให้ทราบว่า มีจำนวนต่อท้ายอยู่จำนวนเท่าใด หรือกล่าวได้ว่าเป็นตัวคูณ(multiplier) ด้วยสิบยก กำลังค่าของแถบสีแถบ C ส่วนในแถบสีแถบ D นั้น จะเป็นสีทองหรือแถบสีเงิน แถบสีทองมีความหมายเป็นค่าผิดพลาดได้ไม่เกิน 5% ส่วนแถบสีเงินจะบอกความหมายเป็นค่าความผิดพลาด 10% ถ้าในแถบสี D มิได้พิมพ์สีใดไว้ให้ถือว่ามีค่าความผิดพลาดได้ไม่เกิน 20% ค่าความผิดพลาดจะเป็นช่วงที่บ่งบอกว่าค่าความต้านทาน

จะผิดพลาดไปจากค่าที่อ่านจากแผนสีมาน้อยเพียงใดสีแต่ละสีที่ใช้เป็นสัญลักษณ์ที่แทนค่าตัวเลขได้ตัวเลขหนึ่งมีค่า 0 ถึง 9 ดังตารางที่ 2

ตารางที่ 2.2 ตารางແນບສีນอกขนาดของตัวต้านทาน

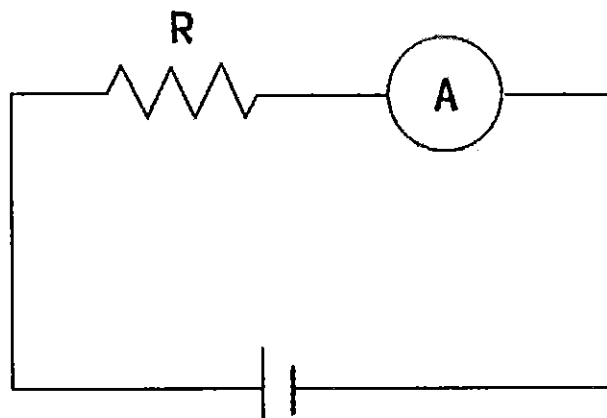
รหัสสี (Color Code)	ແນບซึ่งที่ 1 ตัวเลขที่ 1	ແດນซึ่งที่ 2 ตัวเลขที่ 2	ແດນซึ่งที่ 3 ตัวเลข	ແດນซึ่งที่ 4 เปอร์เซนต์ผิดพลาด
ดำ	0	0	1	20%(M)
น้ำตาล	1	1	10	1%(F)
แดง	2	2	100	2%(G)
สีขาว	3	3	1,000	-
เหลือง	4	4	10,000	-
เขียว	5	5	100,000	0.5%(D)
น้ำเงิน	6	6	1,000,000	0.25%(C)
ม่วง	7	7	-	0.1%(B)
เขียว	8	8	-	0.05%(A)
ขาว	9	9	-	-
ทอง	-	-	0.1	5%(J)
เงิน	-	-	0.01	10%(K)

ตัวอย่าง การอ่านค่าความต้านทานของตัวต้านทาน

ແນບສี	1	2	3	4
สี	ม่วง	เขียว	แดง	ทอง
ตัวเลข	7	5	2	ค่าผิดพลาด 5%

ແນບสี 1 และ 2 เป็นเลขบัญลักษณ์ 75 ແນບสี 3 สีแดงมีความหมายเป็นตัวคูณตัวย 10² ແນບสี 4 เป็นค่าผิดพลาด 5% นั่นคือความต้านทานจะมีค่าเป็น 7500 โอม 5% หรือ 7.5 k ค่าผิดพลาดไม่มากกว่า 5%

ยกตัวอย่างการนำตัวต้านทานมาใช้งานตัวต้านทานนั้นจะทำหน้าที่เป็นตัวลดกระแสที่ไหลผ่าน ขึ้นความต้านทานมากกระแสจะยิ่งน้อยตามคุณภาพของโอม $V = I_R$, $I = \frac{V}{R}$ ยกตัวอย่างการนำมาใช้ดังรูปที่ 2.30



รูปที่ 2.29 วงจรอนุกรณ

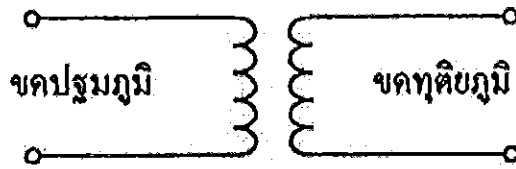
กำหนดให้แหล่งจ่าย $V = 10$ โวลต์, $R = 50$ โอห์ม หากค่า I ว่าได้กี่แอมป์

จาก $I = \frac{V}{R} = \frac{10}{50} = 0.2$ แอมป์ หากใช้ $R = 500$ โอห์ม $I = \frac{V}{R} = \frac{10}{500} = 0.02$ แอมป์ ดังนั้นจะเห็นได้ว่าค่ากระแสที่ได้นั้นมีการเปลี่ยนแปลงโดยขึ้นอยู่กับค่าความต้านทาน ะนั้นเมื่อจะใช้งานควรรู้แรงดันและกระแสที่จะใช้งานก่อน จึงจะหาค่าตัวต้านทานมาใช้ได้อย่างเหมาะสม

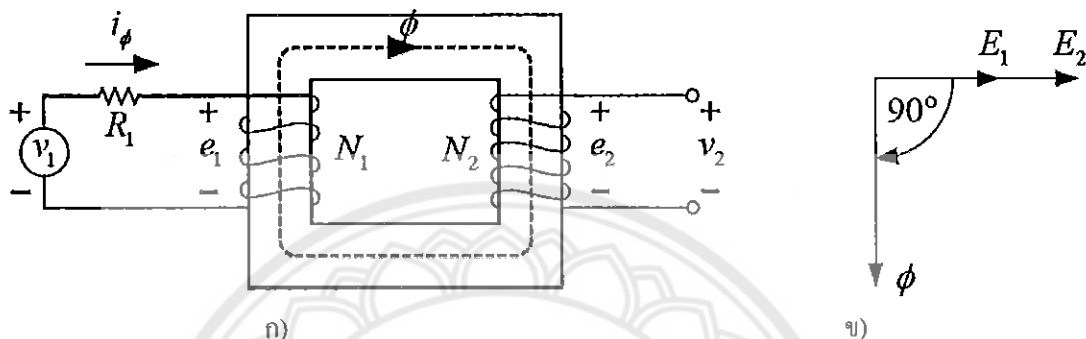
2.7 หม้อแปลงไฟฟ้า(Transformer)

หม้อแปลงไฟฟ้า (Transformers) เป็นอุปกรณ์ที่ใช้ปรับระดับแรงดันไฟฟ้าเพื่อให้มีระดับแรงดันเหมาะสมที่จะใช้กับอุปกรณ์ไฟฟ้าชนิดต่างๆ หรือทำหน้าที่ส่งผ่านกำลังไฟฟ้าในระบบไฟฟ้าจากวงจรหนึ่งไปยังอีกวงจรหนึ่ง ที่ระดับความถี่เดียวกัน โดยวิธีการเปลี่ยนทั้งค่าแรงดันและกระแสไฟฟ้า ซึ่งใช้หลักการของจรรยาเมี้ยลลีกที่กระตุ้นด้วยไฟฟ้ากระแสสลับ จึงทำให้เกิดแรงดันไฟฟ้านំบวนเข็ม (Faraday's law) และในหม้อแปลงไฟฟ้าจะประกอบไปด้วยส่วนต่างๆ ดังต่อไปนี้

1. ชุดควบคุมภูมิ (Primary)
2. ชุดควบคุมภูมิ (Secondary)
3. แกนเหล็ก (Core) ซึ่งทำจากสาร Ferromagnetic ที่มีคุณสมบัติทางแม่เหล็กที่ดีถือ มีความซึ่มซานแม่เหล็กสูง ๆ เพื่อลดการเกิดประกายการผสานแม่เหล็กร้าว การทำงานของหม้อแปลงไฟฟ้าจะละเอียด



รูปที่ 2.30 ตัวอย่างหนึ่งของการทำงานของหม้อแปลง



รูปที่ 2.31 หลักการทำงานของหม้อแปลง

จากรูปที่ 2.31 ก) เมื่อขดลวด Primary (N_1) ได้รับ V_1 และขดลวด Secondary (N_2) อยู่ในสภาพเปิดวงจร จะทำให้เกิดค่ากระแสปริมาณหนึ่งไหลในขดลวด (N_1) เรียกว่า กระแสสกัดซุน i_ϕ (Exciting Current) และจะมีผลทำให้เกิดแรงดันไฟฟ้าเหนี่ยวนำ (Induced Voltage) ขึ้นที่ขดลวดทั้งสองดังนี้

$$e_1 = N_1 \frac{d\phi}{dt} = N_1 \omega \phi_m \cos \omega t = E_{m1} \cos \omega t \quad (21.7)$$

$$e_2 = N_2 \frac{d\phi}{dt} = N_2 \omega \phi_m \cos \omega t = E_{m2} \cos \omega t \quad (22.7)$$

$$\text{เมื่อ } \phi = \phi_m \sin \omega t$$

ϕ_m = Maximum magnetic flux

ถ้ากำหนดให้ E_1 และ E_2 เป็นค่าประสิทธิผล (rms) ของแรงดันไฟฟ้าเหนี่ยวนำ e_1 และ e_2 ตามลำดับ และ $\omega = 2\pi f$

$$E_1 = N_1 \frac{\omega \phi_m}{\sqrt{2}} = \frac{2\pi f}{\sqrt{2}} N_1 \phi_m = 4.44 N_1 \phi_m \quad (2.28)$$

$$E_2 = N_2 \frac{\omega \phi_m}{\sqrt{2}} = \frac{2\pi f}{\sqrt{2}} N_2 \phi_m = 4.44 N_2 \phi_m \quad (2.29)$$

เมื่อ $\emptyset_{in} = B_m A_C$ จะได้

$$E_1 = 4.44fN_1 B_m A_C \quad (2.30)$$

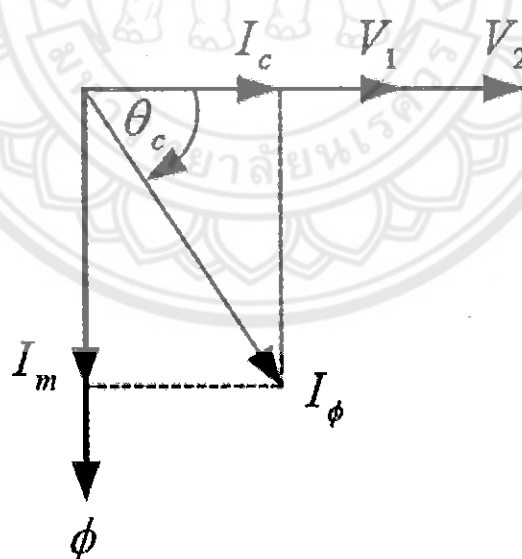
$$E_2 = 4.44fN_2 B_m A_C \quad (2.31)$$

และจากสมการที่ (2.30) และ (2.31) จะได้ความสัมพันธ์ของแรงดันไฟฟ้าหนึ่งกับอีกหนึ่งในรูปอัตราส่วนแรงดันไฟฟ้า (Voltage ratio) หรือ (Turns ratio) ดังนี้

$$\frac{E_1}{E_2} = \frac{N_1}{N_2} = a \quad (2.32)$$

ในขณะที่ยังไม่มีภาระ (No Load) จะมีเพียงกระแสแม่เหล็ก I_ϕ เท่านั้น ซึ่งประกอบด้วย

1. กระแส I_m (Magnetizing Current) เป็นค่ากระแสที่ใช้สร้างสนามแม่เหล็ก เพื่อทำให้เกิดการหมุนของ rotor และ e_1 และ e_2
2. กระแส I_c (Core loss Current) เป็นค่ากระแสที่ทำให้เกิดค่าสูญเสียในแกนเหล็ก ดังรูปที่ 2.32



รูปที่ 2.32 ส่วนประกอบของค่ากระแสแม่เหล็ก

จากรูปที่ 2.31 จะได้ความสัมพันธ์ของค่ากระแสดังนี้

$$I_\phi = I_c + I_m \quad (2.33)$$

$$I_c = I_\phi \cos \theta_c \quad (2.34)$$

$$I_m = I_\phi \sin \theta_c \quad (2.35)$$

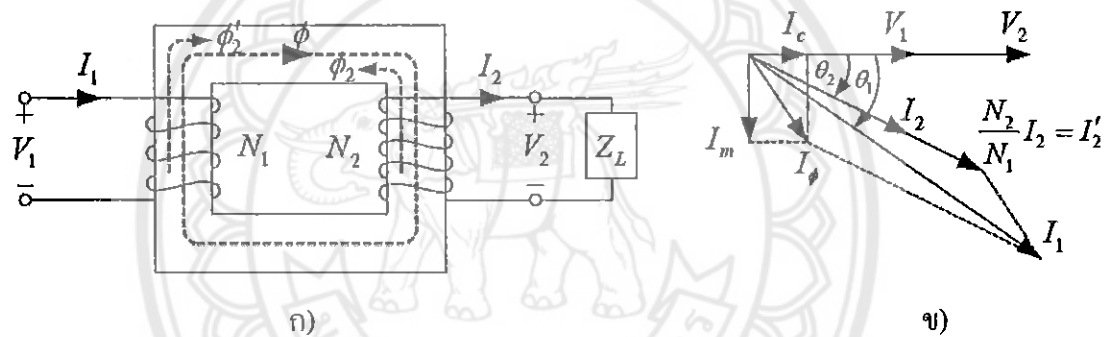
ดังนั้น จากรูปที่ 3 ค่าสูญเสียในแกนเหล็ก (P_{core} or P_c) สามารถหาได้จากสมการ

$$P_c = V_1 I_\phi \sin \theta_c = V_1 I_c \quad (2.36)$$

เมื่อ $S_c = V_1 I_\phi$

$$\text{Power Factor}(\cos \theta_c) = \frac{P_c}{S_c} = \frac{I_c}{I_\phi} \quad (2.37)$$

ขณะมีภาระ (Transformer Under Load)



รูปที่ 2.33 หลักการทำงานของหม้อแปลงขณะมีภาระ

จากรูปที่ 2.33 ก) เมื่อต่อโหลด Z_L เข้ากับคลัว Secondary กระแส I_ϕ จะสร้างแรงคลื่อนแม่เหล็ก $N_1 I_\phi$ ขึ้น และ $N_1 I_\phi$ นี้จะทำให้เกิด Φ ขึ้น และคลื่อนตัวไปตัดคลัว Secondary จึงทำให้เกิด V_2 ขึ้น V_2 จะไปสร้างกระแส $I_2(V_2 Z_L)$ ขึ้นและทำให้เกิด $N_2 I_2$ และ Φ_2 และเมื่อ Φ_2 เคลื่อนตัวตัดคลัว Primary จึงทำให้เกิด I'_2 ขึ้น กระแส I'_2 ที่เกิดขึ้นนี้จะไปสร้าง $N_1 I'_2$ ขึ้นมาซึ่งจะเท่ากับค่า $N_2 I_2$ และสร้าง Φ'_2 ที่มีขนาดเท่ากับ Φ_2 จากนั้นก็จะกลับเข้าสู่สภาพปกติ ซึ่งแสดงได้ดังสมการ

$$N_1 I'_2 = N_2 I_2 \quad (2.38)$$

ดังนั้น จะได้ความสัมพันธ์ของค่าอัตราส่วนกระแสไฟฟ้า (Current Ratio) ดังนี้

$$\frac{I'_2}{I_2} = \frac{N_2}{N_1} = \frac{1}{a} \quad (2.39)$$

และจะได้

$$I_1 = I_\phi + I_2 \quad (2.40)$$

และ Current Ratio คือ

$$\frac{I_1}{I_2} = \frac{N_2}{N_1} = \frac{1}{a} \quad (2.41)$$

จากหลักการทำงานพื้นฐานของหม้อแปลงที่กล่าวมานี้สามารถสรุปได้ว่า

1. ขณะไม่มีกระแส หม้อแปลงไฟฟ้าจะไม่มีการส่งผ่านกำลังไฟฟ้า จะมีเพียงกระแส I_ϕ เท่านั้นเพื่อใช้สร้าง \emptyset ดังนั้นกำลังไฟฟ้าที่รับเข้ามา ($V_1 I_\phi$) จะสูญเสียไปในรูปของความร้อนที่แกนเหล็ก $P_c = V_1 I_\phi \sin \theta$

2. ขณะที่มีกระแส Z_L จะมีการส่งผ่านกำลังไฟฟ้าทางด้าน Secondary เท่ากับ ($V_2 I_2$) ซึ่งส่งผ่านมาในรูปของค่าแรงเคลื่อนแม่เหล็กจาก Pri และการสูญเสียที่เกิดขึ้นจะเกิดขึ้นในแกนเหล็ก (Core loss) และใน漉คทองแดง (Copper loss) ดังนั้นจะได้

$$P_1 = V_1 I_1 \cos \theta_1 \quad (2.42)$$

$$P_2 = V_2 I_2 \cos \theta_2 \quad (2.43)$$

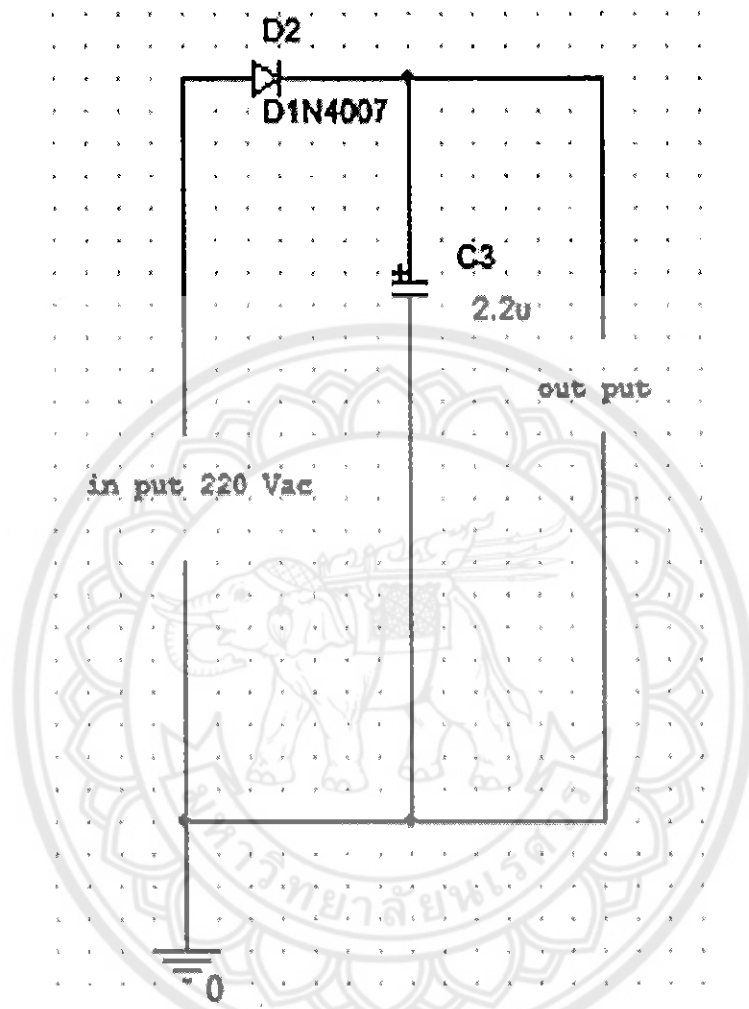
เมื่อ P_1 และ P_2 คือ ค่ากำลังไฟฟ้าจริง

$I_1 \cos \theta_1$ คือ ค่าตัวประกอบกำลังไฟฟ้าของหม้อแปลงไฟฟ้า

$I_2 \cos \theta_2$ คือ ค่าตัวประกอบกำลังไฟฟ้าของการไฟฟ้า Z_L

นำมาใช้กับวงจรแปลงผันแปรพุช-พูล เป็นวงจรตัวแปลงผันที่จ่ายกำลังได้สูง ในช่วง 200 - 1000 วัตต์ แต่มีข้อเสียคือมักเกิดการไม่สมมาตรของฟลักซ์แม่เหล็กของแกนหม้อแปลง ซึ่งจะมีผลต่อการพึงเสียหายของเพาเวอร์ทรานซิสเตอร์ได้ง่าย ในปัจจุบันเทคนิคการควบคุมกระแสช่วยลดปัญหานี้ลงได้ ดังนั้นวงจรตัวแปลงผันแปรพุช-พูลจึงเป็นวงจรตัวแปลงผันนำ入ใจสำหรับแหล่งจ่ายกำลังแบบสวิตช์ที่ต้องการกำลังสูงการทำงานของวงจรตัวแปลงผันแปรพุช-พูล เปรียบเสมือนการนำวงจรตัวแปลงผันแบบไปข้างหน้าสองชุดมาทำงานร่วมกัน โดยผลัดกันทำงาน ในแต่ละครึ่งเวลาในลักษณะกลับเฟส ทำให้จ่ายกำลังได้สูง เพาเวอร์ทรานซิสเตอร์ในวงจรยังคงมีแรงดันตกคร่อมในขณะที่ดูดนำกระแสค่อนข้างสูงเท่านี้ก็จะช่วยลดปัญหานี้ได้ แต่ต้องใช้เวลาในการติดต่อและต้องมีวงจรตัวแปลงผันแบบพลาบ แบบและวงจรตัวแปลงผันแบบฟอร์เวิร์ค รวมทั้งปัญหาการเกิดฟลักซ์ไม่สมมาตรในแกนเพอร์เรอร์ไวท์

ของวงจรทำให้เพาเวอร์ทรานซิสเตอร์พังเสียหายง่าย วงจรตัวแปลงผันแบบพุช-พุลเป็นพื้นฐานของครึ่งคลื่น และวงจรตัวแปลงผันแบบเต็มคลื่นซึ่งมีการทำงานคล้ายกัน แต่มีข้อบกพร่องน้อยกว่า



รูปที่ 2.34 วงจรเรียงกระแส (Rectifier) และวงจรกรองกระแส C (C Filter) ด้านขวา

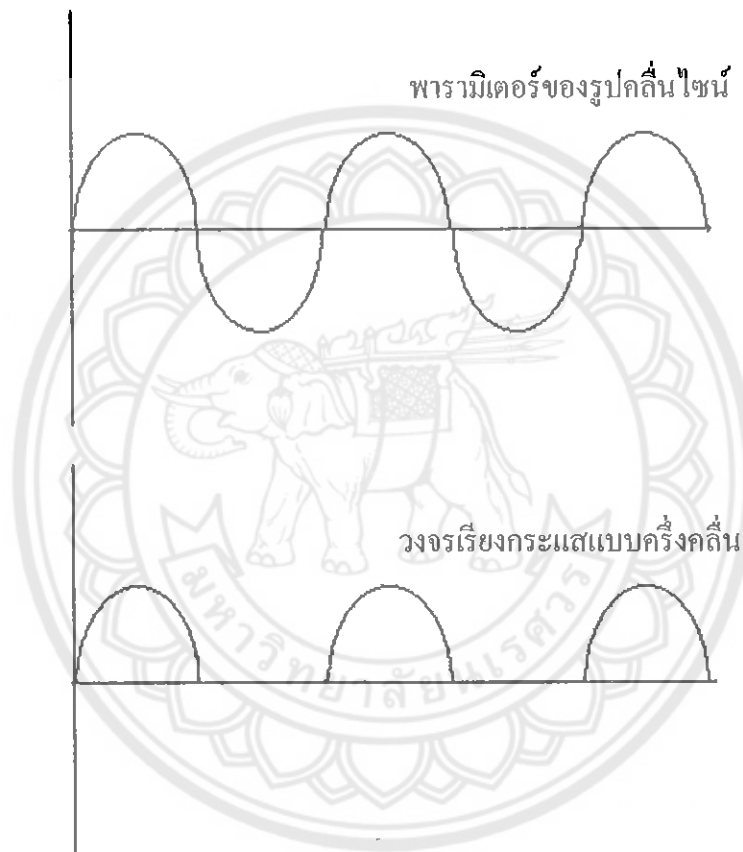
2.8 วงจรเรียงกระแส (Rectifier) และวงจรกรองกระแส C (C Filter) ด้านขวา

วงจรอิเล็กทรอนิกส์ต่าง ๆ จะต้องใช้แรงดันเลี้ยงวงจรเป็นแรงดันไฟฟ้า (DC) โดยทำการแปลงแรงดันไฟฟ้าสัมภ์ (AC) ให้เป็นแรงดันไฟฟ้า (DC) วงจรที่ทำหน้าที่ดังกล่าวนี้เรียกว่าวงจรเร็คติไฟเออร์ (Rectifier Circuit) หรืออาจเรียกว่าวงจรเรียงกระแส อุปกรณ์ที่ทำหน้าที่นี้คือไดโอด ไดโอดที่นิยมนำมาใช้งานในวงจรเร็คติไฟเออร์เป็นไดโอดชนิดซิลิคอน การทำงานของไดโอดเร็คติไฟเออร์ใช้หลักการจ่ายไฟขั้ตตรง และการจ่ายไฟขั้ตกลับให้ตัวไดโอด เพื่อทำให้ไดโอดนำกระแสและหยุดนำกระแสตามสภาพะ ในอัตโนมัติ แรงดันที่ผ่านการเร็คติไฟเออร์แล้ว ได้แรงดันออกมาเป็นไฟฟ้าเรียกว่าแรงดันไฟฟ้าเร็คติ แรงดันไฟฟ้าจะได้ออกมาซึ่งได้ขึ้นอยู่กับการจัด

วงจรไดโอดเรกติไฟเออร์ ถ้าไดโอดจัคให้ขาแคปโอด (K) ออกด้านนอก ได้แรงดันซีกบวกออกมานะ และถ้าไดโอดจัคให้ขาแอโนด (A) ออกด้านนอก ได้แรงดันซีกบนออกมานะ ลักษณะการเรกติไฟเออร์ เมื่องต้น

2.8.1 วงจรเรียงกระแสรูปคลื่น

1. พารามิเตอร์ของรูปคลื่นไซน์ (Sine wave Parameters)



รูปที่ 2.35 พารามิเตอร์ของรูปคลื่นไซน์

1. คลื่นไซน์ 1 ไซเกิล จะมีค่าแรงดันที่สำคัญ คือ

V_P = ค่าสูงสุดของยอดคลื่น (Peak Voltage)

V_{P-P} = ค่าสูงสุดของยอดคลื่นถึงยอดคลื่น (Peak to Peak Voltage)

V_{RMS} = ค่าแรงดัน อาร์.เร็ม.เอส. (Root mean square Voltage)

V_{ava} = ค่าแรงดันแผลง (Average Voltage)

และค่าเหล่านี้ หาได้จาก

$$V_{P-P} = 2 V_P \text{ และ } V_{RMS} = 0.707 V_P$$

2. ค่าแรงดันเฉลี่ยของคลื่นไซน์ $\frac{1}{2}$ ไซเกิล

$$V_{ava} = \frac{2}{\pi} (V_p) = 0.636 V_p$$

3. ค่าแรงดันเฉลี่ยของคลื่นเรียงกระแสแบบเต็มคลื่น (Full – Wave Rectified)

$$V_{ava} = 0.637 V_p$$

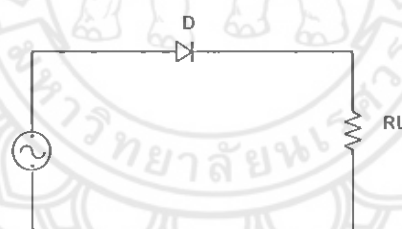
4. แรงดันเฉลี่ยของคลื่นเรียงกระแสครึ่งคลื่น (Half – Wave Rectified)

$$V_{ava} = 0.318 V_p$$

5. ถ้าไม่มีคิดแรงดันตากคร่อม ได้โอดเรียงกระแส

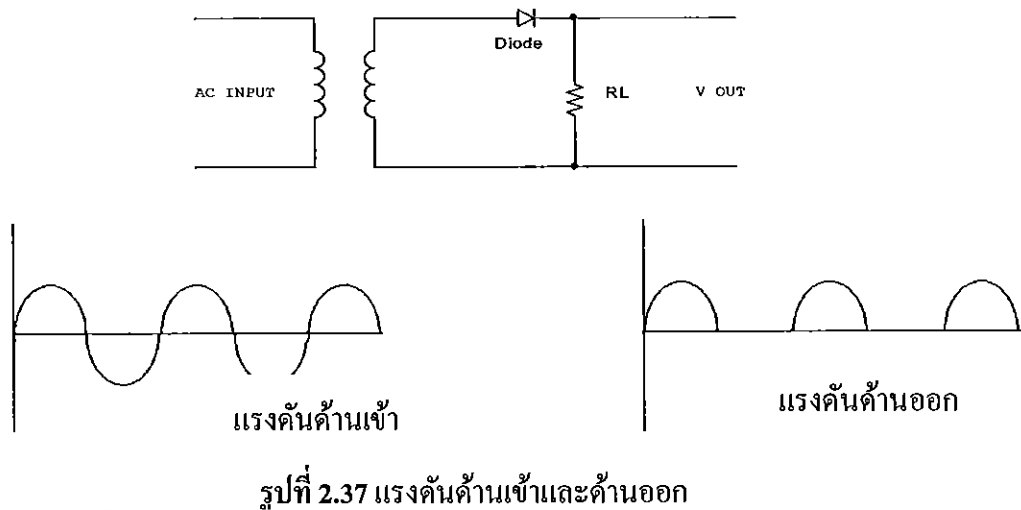
$$\text{ค่า } V_p (\text{oินพุต}) = V_p (\text{เอาต์พุต})$$

วงจรเรียงกระแสแบบครึ่งคลื่น ใช้ไดโอด 1 ตัว ทำหน้าที่เปลี่ยนด้านเข้ากระแสลับ (คลื่นไซน์) ให้เป็นกระแสตรง เนื่องจากลินซ์ไซเกิลบวกของอินพุตเท่านั้น เพราะว่าไดโอดจะทำงาน (นำกระแส : ON) ได้มีเมื่อได้รับคลื่นไซน์ด้านครึ่งไซเกิลบวกเท่านั้น (เพราะว่าช่วงนี้ไดโอด จะได้รับไฟแอลตรู) จึงเกิดกระแสไฟจากแหล่งจ่าย (IF) ผ่านไดโอดไปสู่โหลด (RL) แต่เมื่อ คลื่นไซน์อินพุตเป็นช่วงครึ่งไซเกิลลบ ไดโอดจะไม่นำกระแส : OFF จึงไม่มีกระแสไฟหล่อ โหลด รูปคลื่นที่เอาต์พุตจึงปรากฏเฉพาะครึ่งไซเกิลบวกเท่านั้น จึงเรียกว่างจรเรียงกระแสแบบ นี้ว่า วงจรครึ่งคลื่น ดังรูปที่ 2.36

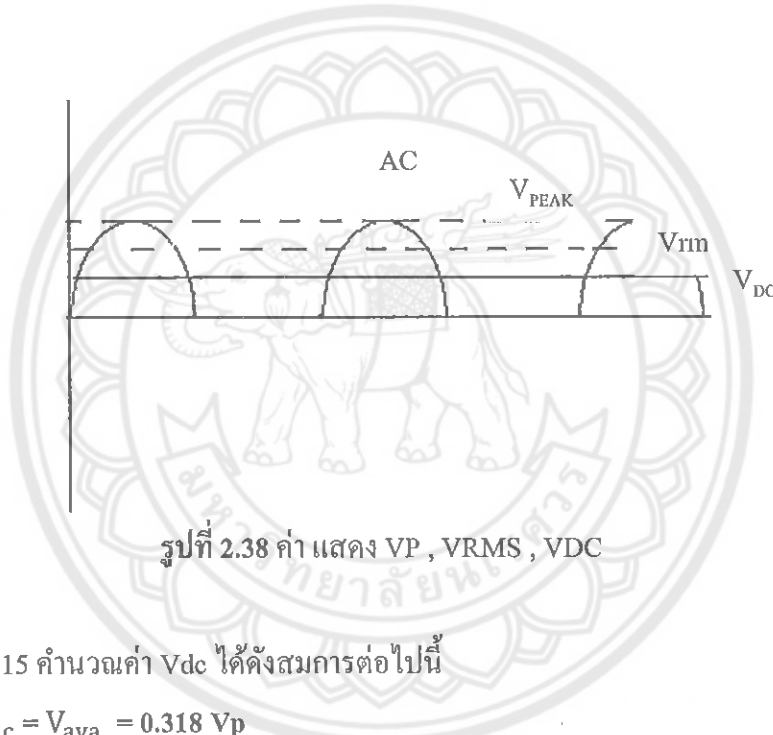


รูปที่ 2.36 วงจรเรียงกระแสครึ่งคลื่น

เมื่อพิจารณาจากรูปคลื่นด้านออกของวงจรเรียงกระแสครึ่งคลื่นในรูปที่ 2.38 จะพบว่า ค่าสูงสุดของคลื่นไซน์ด้านออก คือ $+V_p$ และ $-V_p$ ส่วนค่าสูงสุดของคลื่นด้านออก คือ $+V_p$ ทั้งนี้ เพราะไม่นำค่าแรงดันตากคร่อมไดโอด ($0.6V$) มาคิดค่า V_p (input) จึงเท่ากับ V_p (Output) แต่ค่าแรงดันเฉลี่ยที่ด้านออก (V_{dc}) หรือค่าแรงดันเฉลี่ยที่ด้านออก (V_{ava}) จะเป็นแทนค่วยเส้นตรง ดังแสดงในรูปที่ 2.10 และค่าของแรงดันด้านออก ที่สามารถหาค่าได้จะมี 3 ค่า คือ (1) แรงดันสูงสุด (V_p) (2) แรงดัน อาร์.เอ็ม.เอส. (V_{rms}) และ(3)แรงดัน ดี.ซี. (V_{dc}) หรือ แรงดันเฉลี่ย (V_{ava})



รูปที่ 2.37 แรงดันด้านเข้าและด้านออก

รูปที่ 2.38 ค่าแสดง V_p , V_{RMS} , V_{DC}

จากรูปที่ 2.15 คำนวนค่า V_{DC} ได้ดังสมการต่อไปนี้

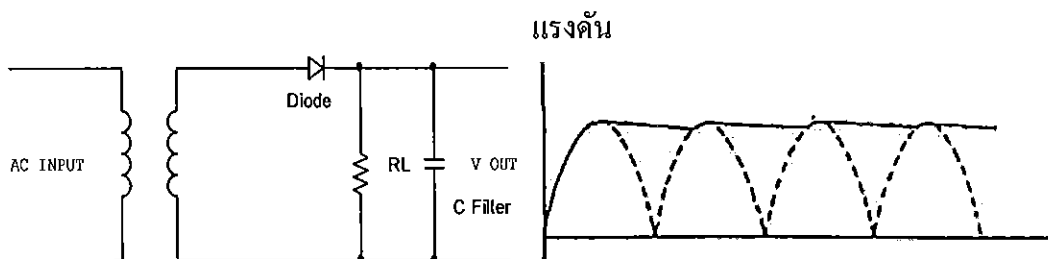
$$V_{DC} = V_{ava} = 0.318 V_p$$

$$V_{DC} = V_{ava} = 0.45 V_s$$

เมื่อ V_s คือ ค่าแรงดัน อาร์.เอ็ม.เอส. ของแหล่งจ่ายไฟฟ้าคลื่นไซน์

V_p คือ แรงดันสูงสุดของคลื่นอะต่ำๆ

2.8.2 วงจรกรองกระแสด้วยตัวเก็บประจุ

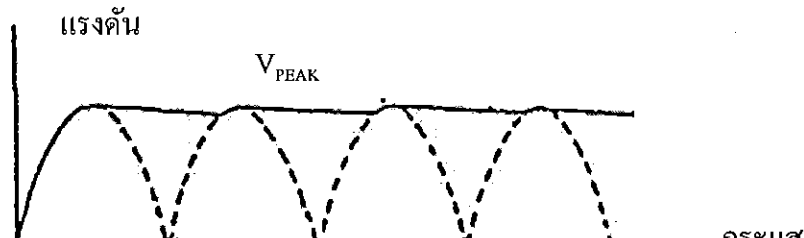


รูปที่ 2.39 วงจรเรียงกระแสครึ่งคลื่นและวงจรกรองด้วยตัวเก็บประจุ

ตัวเก็บประจุ (C) จะเกิดการเก็บประจุ (Charge) ในช่วงที่แรงดันเอาต์พุตสูงกว่าค่าแรงดัน ตกคร่อน C และ C จะหายประจุ (Discharge) ในช่วงที่แรงดันเอาต์พุตต่ำกว่าค่าแรงดันสูงสุด (V_P) การเก็บประจุและหายประจุของ C ตัวนี้ จะทำให้รูปคลื่นเอาต์พุตเรียบขึ้น จึงเรียกตัวเก็บประจุ (C) ที่ทำหน้าที่นี้ว่า Smoothing Capacitor หรือ Filter Capacitor เมื่อเปรียบเทียบระหว่างรูปคลื่นเอาต์พุตของวงจรเรียงกระแสครึ่งคลื่น ที่มี C ต่ออยู่กับที่ไม่มี C ต่ออยู่จะเห็นว่า ต่างกันและทำให้ค่าแรงดันกระแสตรงด้านออกต่างกันด้วย วงจรเรียงกระแสครึ่งคลื่นที่มี C ต่ออยู่จะมี V_{dc} มากกว่าแบบที่ไม่มี C ต่ออยู่ และจะมีค่าแรงดัน V_{dc} เกือบท่อกับค่า V_P

การทำงานของวงจรชิบายได้ดังนี้ แรงดันไฟฟ้าลับ (AC) เมื่อผ่านไ/do/d ไดโอด D เรียงกระแสตัดแรงดันไฟฟ้าลับ (AC) ซึ่งกลับทิศไป ส่งผ่านเฉพาะแรงดันไฟฟ้าลับซึ่งบวก ออกด้านออก จะได้แรงดันไฟตรง (DC) กระแสเพื่อมอกรามรูปขณะไม่ต่อ C เมื่อต่อตัวเก็บประจุ C_3 เข้าวงจร ตัวเก็บประจุ C_3 จะประจุแรงดันซึ่งบวกไว้จนถึงระดับแรงดันสูงสุด มีศักย์ต่อกร่อน C_3 บนบวกคล่องในขณะที่แรงดันซึ่งบวกเริ่มลดลงจากค่าสูงสุด 31 จะเริ่มหายประจุแรงดันออกนาฬิก ทำให้ระดับแรงดันบวกไม่คล่องอย่างรวดเร็ว แต่จะลดตามระดับแรงดันที่ต่อกร่อน C_3 ยิ่งหายประจุนานระดับแรงดันในตัว C_3 จะยิ่งต่ำลง C_3 จะประจุแรงดันอีกรั้งเมื่อแรงดันซึ่งบวกถูกป้อนเข้ามาเป็นครั้งที่สอง และ C_3 จะหายประจุอีก การทำงานจะเป็นเช่นนี้ตลอดเวลา ได้แรงดันต่อกร่อนໂ Holden

แรงดันริปเปิล กือ คลื่นของแรงดัน เอ.ซี. ที่ปะปนอยู่ในรูปคลื่นเอาต์พุตของวงจรเรียงกระแส เป็นคลื่นแรงดันที่ไม่เรียบ (ซึ่งในการแปลงไฟฟ้าลับเป็นไฟตรง ไม่ต้องการหรือต้องการให้มีคลื่นนี้อยู่ที่สุด) ดังนั้นแรงดันริปเปิลจึงควรถูกขัดออกไป จากเอาต์พุตของวงจรเรียงกระแส วิธีการขัดทางได้โดยการใช้ตัวเก็บประจุ กรองให้เรียบนั่นเอง รูปคลื่นแรงดันริปเปิลและค่าของมันในวงจรแบบครึ่งคลื่น จะมีมากกว่าในวงจรเต็มคลื่น ดังแสดงเปรียบเทียบในรูปที่ 2.38



รูปที่ 2.40 แรงดันริบเบิลของการเรียงกระแสครึ่งคลื่นและเต็มคลื่น

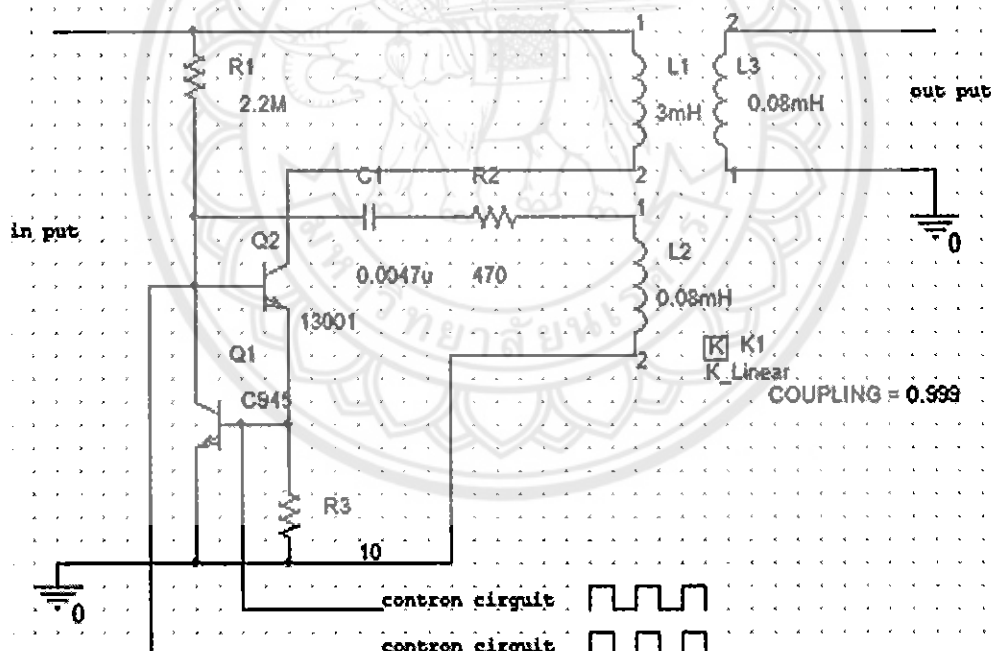
จากรูป 2.40 จะเห็นว่า ค่า $VR_2 > VR_1$ และค่า $VR(p-p)$ (Ripple voltage peak to peak) หาได้จากสมการ

$$VR(p-p) = 2V_p - V_{ave}$$

เมื่อ $VR(p-p)$ คือ แรงดันริบเบิล (p-p)

V_p กือ ค่าแรงดันเอาต์พุตสูงสุด

V_{ave} กือ ค่าแรงดันเฉลี่ยที่โหลด (แรงดันกระแสตรง)



รูปที่ 2.41 วงจรตัวแปลงผันแบบพุช-พุด

2.9 วงจรตัวแปลงผันแบบพุช-พุด

นับเป็นส่วนสำคัญที่สุดในวงจรแหล่งจ่ายกำลังสวิตซ์ มีหน้าที่ลดตอนแรงดันไฟฟาร์กค่าสูงลงมาเป็นแรงดันแรงดันไฟฟาร์กค่าต่ำและสามารถคงค่าแรงดันได้ วงจรตัวแปลงผันมีอยู่หลายแบบ ขึ้นอยู่กับลักษณะการจัดวงจรภายใน โดยแต่ละแบบจะมีข้อดีกับข้อเสียต่างกัน การจะเลือกใช้วงจรตัวแปลงผันแบบใดสำหรับวงจรแหล่งจ่ายกำลังสวิตซ์นั้น มีข้อควรพิจารณาจากลักษณะพื้นฐาน

ของวงจรตัวแปลงผันแต่ละแบบดังนี้คือ ลักษณะการแยกจากกันทางไฟฟ้าระหว่างค้านเข้ากับค้านออกของวงจรตัวแปลงผัน ค่าแรงคันเข้าที่จะนำมาใช้กับวงจรตัวแปลงผัน ค่ากระแสสูงสุดที่ไม่ผลผ่านเพาเวอร์ทรานซิสเตอร์ในวงจรตัวแปลงผันแบบพุช-พูลขณะทำงาน ค่าแรงคันสูงสุดที่ตกร่วมเพาเวอร์ทรานซิสเตอร์ในวงจรตัวแปลงผันขณะทำงาน การรักษาระดับแรงคันในการณ์ที่วงจรตัวแปลงผันมีพิกัดขาออกหลายแรงคัน การกำเนิดสัญญาณรบกวน RFI/EMI ของวงจรตัวแปลงผัน

วงจรตัวเปลี่ยนแบบพุช-พูลเป็นวงจรตัวเปลี่ยนผันที่จ่ายกำลังได้สูง ในช่วง 200 - 1000 วัตต์ แต่มีข้อเสียคือมักเกิดการไม่สมมาตรของฟลักซ์เมเยล็ดกของแกนหม้อแปลง ซึ่งจะมีผลต่อการพังเสียหายของเพาเวอร์ทรานซิสเตอร์ได้ง่าย ในปัจจุบันเทคโนโลยีการควบคุมแบบควบคุมกระแสช่วยลดปัญหานี้ลง ได้ ดังนั้นวงจรตัวเปลี่ยนแบบพุช-พูลจึงเป็นวงจรตัวเปลี่ยนผันที่น่าสนใจสำหรับแหล่งจ่ายกำลังแบบสวิตชิ่งที่ต้องการกำลังสูงการทำงานของวงจรตัวเปลี่ยนผันแบบพุช-พูล เมริยบเสมือนการนำวงจรตัวเปลี่ยนผันแบบไปข้างหน้าสองชุดมาทำงานร่วมกัน โดยผลักกันทำงานในแต่ละครั้งตามเวลาในลักษณะกลับเฟส ทำให้จ่ายกำลังได้สูง เพาเวอร์ทรานซิสเตอร์ในวงจรยังคงมีแรงดันตกคร่อมในขณะที่คุณนำกระแสสกัดก่อนข้างสูง เช่นเดียวกับวงจรตัวเปลี่ยนผันแบบฟลายแบคและวงจรตัวเปลี่ยนผันแบบฟอร์เวิร์ด รวมทั้งปัญหาการเกิดฟลักซ์ไม่สมมาตรในแกนเพอร์ไรท์ของวงจรทำให้เพาเวอร์ทรานซิสเตอร์พังเสียหายง่าย วงจรตัวเปลี่ยนผันแบบพุช-พูลเป็นพื้นฐานของครึ่งคลื่น และวงจรตัวเปลี่ยนผันแบบเติมคลื่นซึ่งมีการทำงานคล้ายกัน แต่มีข้อกพร่องน้อยกว่า

วงจรพื้นฐานวงจรตัวแปลงผันแบบพุช-พูลแสดงไว้ในรูปที่ 2.41 จากรูป Q_1 และ Q_2 จะสังเกตว่าการทำงานโดยผลักกันนำกระแสในแต่ละครึ่งคานเวลา T ในขณะที่ Q_1 นำกระแสจะมีกระแส I_P ไหลผ่านขดปฐมภูมิ N_{P1} และทำให้มีกระแสไหลที่ขดปฐมภูมิ $N_{S2} \approx L_0$ ไปยังตัวเก็บประจุ C_1 และโหลด ในจังหวะนี้แรงดันตกคร่อม Q_2 จะมีค่า $2 V_{in}$ (จำนวนรอบ $N_{P1} = N_{P2}$ และ $N_{S1} = N_{P2}$) ในทำงดเดียวกันขณะที่ Q_2 นำกระแส Q_1 จะไม่นำกระแสเนื่องจากถูกตั้งคุกไปและตรงจะนำกระแสจากขดทุติยภูมิ N_{S1} ผ่าน L_2 ไปยังตัวเก็บประจุ C_1 และโหลด จะเห็นว่าในหนึ่งคานเวลา การทำงานของขดทุติยภูมิ จะให้กระแสไหลผ่าน Q_2 ได้ถึงสองครั้ง วงจรตัวแปลงผันแบบพุช-พูลจึงสามารถจ่ายกำลังงานได้มากเป็นสองเท่าของวงจรตัวแปลงผันแบบฟอร์เวิร์คทำกระแสสูงสุดค้านปฐมภูมิค่าเท่ากันและกระแสไหลมีกระแสไหลต่อเนื่องตลอดเวลา กระแสที่ได้ทางพิกัดแรงดันขาออกจึงค่อนข้างเรียบ

เนื่องจากการทำงานในแต่ละครั้งหนึ่งจะตัวเปลี่ยนผันแบบพุช-พูลมีการทำงานเหมือนกับการตัวเปลี่ยนผันแบบฟอร์เวิร์ด ดังนั้นแรงดันค่ารวมทราบซิสเตอร์แต่ละตัวจะเปิดวงจรเมื่อกำกับ

$$V_{CE,MAX} = 2 \times V_{IN} \quad (2.44)$$

กระเสกอลเดคเตอร์สูงสุดของทรานซิสเตอร์แต่ละตัวเท่ากับ

$$I_C = \frac{I_L}{n} \times I_{mag} \quad (2.44)$$

สมมติให้ I_{mag} น้อยมากๆ เมื่อเทียบกับ $\frac{I_L}{n}$ ดังนั้น

$$I_C = \frac{I_L}{n} \quad (2.45)$$

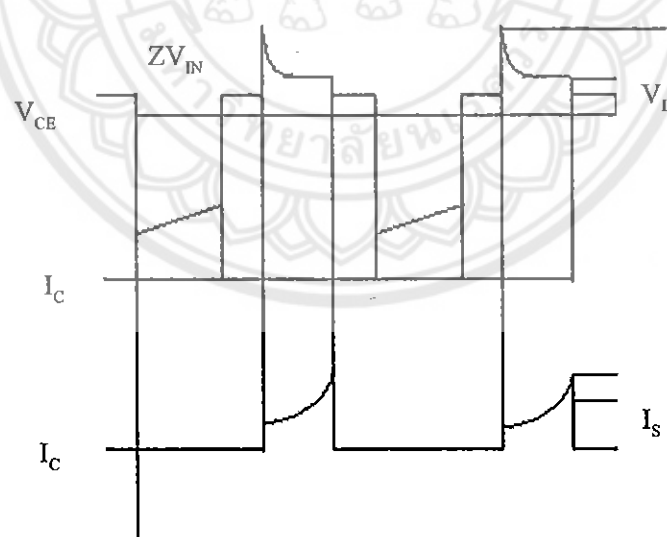
สำหรับ I_C ในเทอมกำลังด้านออกจะเท่ากัน

$$I_C = \frac{P_{out}}{n \times \delta_{MAX} \times V_{IN}} \quad (2.46)$$

สมมติประสิทธิภาพของ Converter $n = 80\%$ และ $d_{max} = 8.0$ ดังนั้นกระแสออกลดเหลือร้อยละ 80% ของกระแสที่เข้ามา

ข้อจำกัดที่น่าสนใจของวงจรตัวแปลงผันแบบพุช-พุล

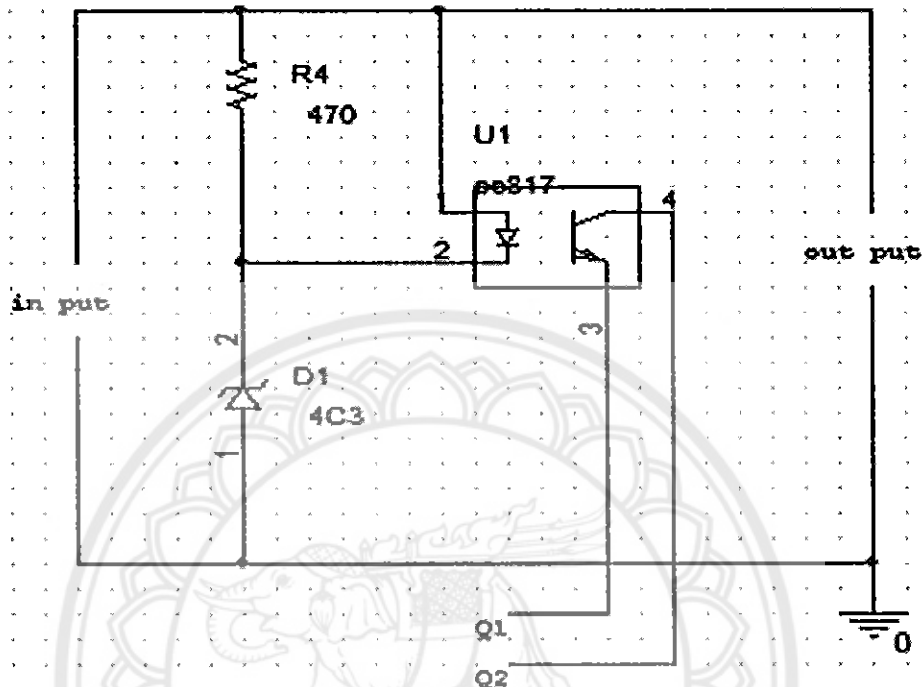
- อัตราส่วนที่แรงดันของทรานซิสเตอร์ จะต้องมีค่าเป็นสองเท่าของแรงดันอินพุทรวมกับแรงดัน Leakage spike เนื่องจากค่าความหนี้บานร้าวไฟลของหม้อแปลง (Leakage inductance) ดังแสดงในรูปที่ 2.42



รูปที่ 2.42 เนื่องจากค่าความหนี้บานร้าวไฟลของหม้อแปลง

นั่นหมายความว่าทรานซิสเตอร์ในวงจรจะต้องสามารถทนแรงดันได้ไม่ต่ำกว่า 800 V (สำหรับ 220 V_{AC} Line) ซึ่งจะเป็นปัญหามากในวงจรตัวแปลงผันแบบพุช-พุลที่ต้องการกำลังสูงๆ เนื่องจากต้องใช้ทรานซิสเตอร์ที่ทนแรงดันและกระแสสูงซึ่งมีราคาแพง

2. เกิดการอั่มตัวของแกนหม้อแปลง ซึ่งในปัจจุบันแหล่งจ่ายไฟตรงสวิตช์นิยมใช้แกนเฟอร์ไรต์มาเป็นแกนของหม้อแปลง เนื่องจากมีการสูญเสียต่ำที่ความสูงๆ ตั้งแต่ 20 KHz ขึ้นไป แต่ แกนเฟอร์ไรต์ก็มีข้อเสียคือง่ายต่อการอั่มตัว เพราะแกนเฟอร์ไรต์จะเกิดการอั่มตัวได้เพียงจ่ายไฟตรงไปและเพียงเล็กน้อยเท่านั้น



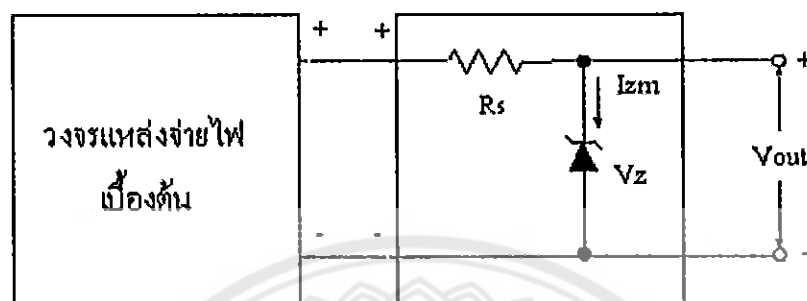
รูปที่ 2.43 วงจรควบคุมแรงดันและกระแส

2.10 วงจรควบคุมด้านกระแส

ซีเนอร์ไดโอดนำไปใช้งานหลายอย่าง เช่น วงจรคลิป (Clipping Circuit) วงจรรักษาแรงดันให้คงที่ (Voltage Regulator Circuit) โดยเฉพาะในวงจรรักษาแรงดันให้คงที่ ดังรูปที่ 2.43 ในการต่อใช้งานทุกครั้งจะต้องมีความต้านทานต่ออนุกรมเสมอ เพื่อป้องกันกระแสไหลผ่านซีเนอร์ไดโอด (I_Z) เกินค่าพิกัดซึ่งจะทำให้ชำรุดได้และตัวต้านทานที่ใช้จะต้องมีการคำนวณหาค่าความต้านทานที่เหมาะสมจะจึงจะทำงานได้ดี

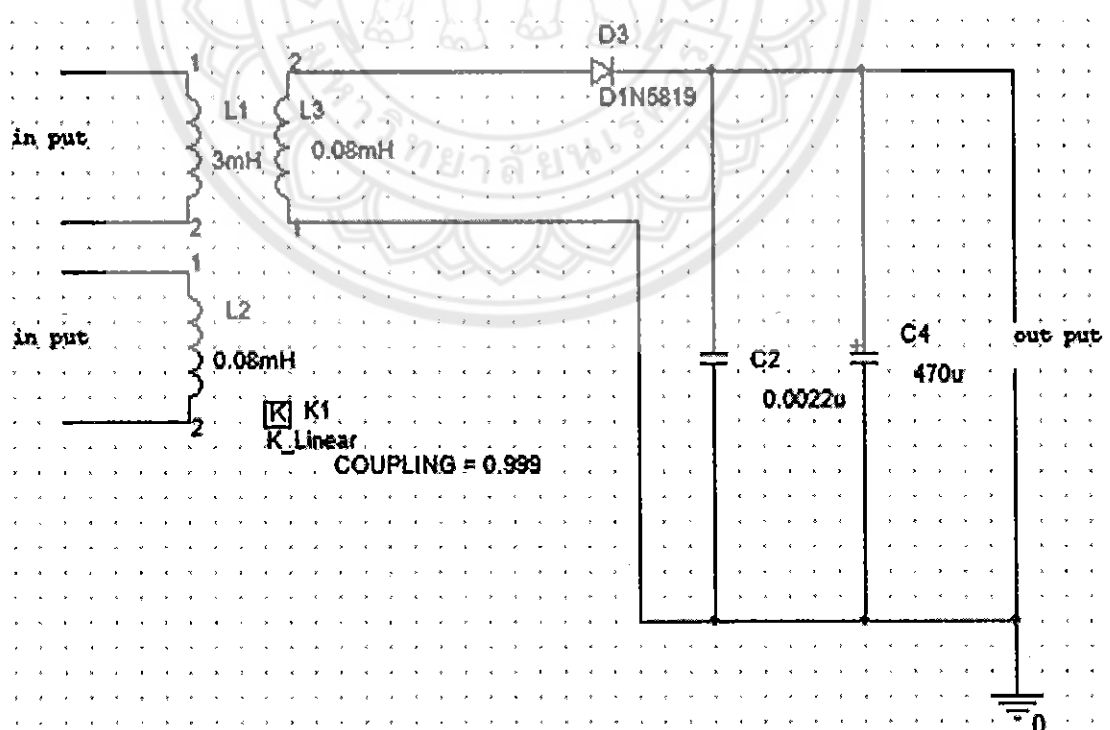
การใช้ควบคุมแรงดันให้คงที่ด้วยซีเนอร์ไดโอดเบื้องต้นประกอบไปด้วยหม้อแปลงไดโอดเรียงกระแสและตัวเก็บประจุกรองแรงดัน มีข้อดีคือ การประกอบใช้งานง่ายแต่มีข้อเสียคือแรงดันไฟตรงที่ได้จะยังไม่เรียบมีการกระแสเพื่อมหรือริปปิล (Ripple) สูงและอัตราการเพิ่มขึ้นหรือลดลงของแรงดัน เมื่อมีโหลดและไม่มีโหลดซึ่งเรียกว่า วงจร โวลต์เจติงคูลเลชัน (Voltage Regulation) สูงไม่เหมาะสมสำหรับเป็นภาคจ่ายไฟให้วงจรขยายสัญญาณระดับต่ำ เช่น ปรีแอมป์ การลดริปปิลของภาคจ่ายไฟลงนิยมใช้วงจรกรองกระแสแบบอาร์ซี (RC Filter) แต่ก็ยังมี

โวลต์เตจเรกเกอร์ชั้นสูงอยู่ ดังนี้ วงจรซีเนอร์ไดโอด โวลต์เตจเรกเกอร์ชั้นสูงนำมาใช้ในวงจรจ่ายไฟกำลังต่ำ เพื่อขัดปัญหาเกี่ยวกับริปเปิล และโวลต์เตจเรกเกอร์ชั้นการนำซีเนอร์ไดโอดมาใช้ในวงจรจ่ายไฟกำลังต่ำกระทำได้โดยต่อซีเนอร์ไดโอด อนุกรมกับตัวต้านทานแล้วนำไปต่อ กับค่านอกของวงจรจ่ายไฟเบื้องต้น ส่วนแรงดันด้านนอกของวงจรคือแรงดันต่อกรุ่ม ซีเนอร์ไดโอดดังรูป 2.44



รูปที่ 2.44 วงจรซีเนอร์ไดโอด อนุกรมกับตัวต้านทาน

ตัวต้านทานที่นำมานั้นต้องมีค่ามากพอที่จะจำกัดกระแสไม่ให้ไหลผ่านซีเนอร์ไดโอดในขณะไม่มีโหลดเกินค่ากระแสสูงสุด (I_{ZM}) ที่ซีเนอร์จะทนได้ การต่อซีเนอร์ไดโอดจะต่อในลักษณะไปอีกด้าน แรงดันด้านนอกจะมีค่าเท่ากับแรงดันของซีเนอร์



รูปที่ 2.45 วงจรเรียงกระแส (Rectifier) ละวงจรกรองกระแส C (C Filter) ด้านออก

2.11 วงจรเรียงกระแส (Rectifier) และวงจรกรองกระแส C (C Filter) ด้านออก

จะทำหน้าที่เช่นเดียวกับข้อ 2.2 ที่ได้กล่าวไว้ในเบื้องต้นแล้ว แต่จะเป็นตัวสูดห้ายก่อนจะนำกระแสไฟฟ้าไปใช้งานด้านขาออก เพื่อให้กระแสไฟฟ้าที่ใช้งานมีความเรียบเข็ง

2.12 โปรแกรมที่เกี่ยวข้อง

ในหัวข้อนี้จะกล่าวถึง โปรแกรมที่นำมาใช้ในโครงการวงจรแหล่งจ่ายกำลังสวัสดิ์ซึ่งจะเป็นโปรแกรมเกี่ยวกับการวิเคราะห์และจำลองวงจรทางไฟฟ้าโดยทั่วไป

โปรแกรม circuit wizard เป็นโปรแกรมที่ใช้งานง่ายและเรียนรู้ง่าย สำหรับการออกแบบ แมลงจร โดยการลากและวางอุปกรณ์ในพื้นที่เอกสารและเชื่อมต่อคู่บยเครื่องมือในการเดินสายที่ช่วยลดคาดและยังแปลงไปเป็นแผ่นปรินต์ได้อย่างง่ายดาย

โปรแกรมพีสไปร์ซ (Pspice) เป็นโปรแกรมคอมพิวเตอร์ชนิดหนึ่ง มีหน้าที่ในการเลียนแบบการทำงาน(Simulation) ถูกสร้างขึ้นตั้งแต่ปี 1975 โดย University of California, Berkeley เพื่อใช้ช่วยในการวิเคราะห์ และ ออกแบบวงจรไฟฟ้าต่อมามีหลายบริษัท ได้นำมาพัฒนาต่อเป็น รุ่นต่างๆ เช่น HSpice, Spice2G (ซึ่งจะทำงานบนเครื่อง Unix หรือ Mainframe) เป็นต้น ส่วน PSpice บริษัท MicroSim Corporation ได้พัฒนาขึ้น ให้สามารถใช้งานบนเครื่อง PC โดยยื่นมายจาก PC -Simulation Program for Integrated Circuit Emphasis ประโยชน์ของการใช้งาน PSpice คือการใช้เลียนแบบการทำงานวงจรก่อนที่จะทดลองต่อวงจรจริงทำให้สามารถลดความผุ่งยาก และ ลดเวลาในการทดลองจริงลง ไปได้มาก ซึ่งผลการเลียนแบบนั้นจะเป็นน่าเชื่อถือมากและ เป็นที่ยอมรับในวงการวิชาการ ว่า ใกล้เคียงกับการทดลองจริง จึงทำให้ PSpice เป็นที่นิยมของนักวิจัย และนักออกแบบวงจรไฟฟ้า ทั่วโลกอย่างกว้างขวาง ก่อนที่จะสร้างวงจรจริงในอันดับต่อไปการใช้งาน PSpice นั้นผู้ใช้ควร จะต้องมีความรู้ในด้านวงจรไฟฟ้า อิเล็กทรอนิกส์ พลasmic ซึ่งจะทำให้การใช้งานมีประสิทธิภาพ โดยหลักการเดียว PSpice สามารถวิเคราะห์วงจรได้ไม่จำกัดรูปแบบ โดยจะอาศัยหลักการของโโนดทางไฟฟ้าเป็นหลัก การเขียนโปรแกรม PSpice เพื่อเลียนแบบการทำงานวงจรไฟฟ้านั้นสามารถทำได้ 2 วิธีใหญ่ๆ ดังนี้

1. แบบ Net List (Command Line) จะใช้โปรแกรม Text Editor สร้างเป็น Input File นามสกุล.cir
2. แบบ Schematic จะใช้โปรแกรม Schematics สร้างเป็น Input File นามสกุล .sch

บทที่ 3

วิธีดำเนินโครงการ

ในบทนี้จะเป็นการกล่าวถึงขั้นตอนการดำเนินงานของโครงการ แหล่งจ่ายกำลังสวิตช์ที่แรงดัน 5 โวลต์ 100 มิลลิแอมป์ เพื่อเป็นแหล่งจ่ายกำลังให้กับเตารีดอัจฉริยะ โดยจะมีขั้นตอนการดำเนินงานเริ่มตั้งแต่ เสนอหัวข้อโครงการ ศึกษาหลักการทำงานของวงจรแหล่งจ่ายกำลังสวิตช์ ออกแบบวงจรเรียงกระแสและวงจรกรองกระแสด้านเข้า ออกแบบวงจรตัวเปลี่ยนผันแบบพุช-พูล ออกแบบวงจรเรียงกระแสและวงจรกรองกระแสด้านออก ออกแบบวงจรควบคุมแรงดันและกระแส ออกแบบวงจรแหล่งจ่ายกำลังสวิตช์โดยใช้โปรแกรมพีสไปร์ท (Pspice) ออกแบบลายวงจร โดยใช้โปรแกรมเซอร์กิตวิชาร์ด (Circuit wizard) นำวงจรที่ออกแบบมาประกอบเป็นชิ้นงานซึ่งจะอธิบายรายละเอียดดังต่อไปนี้

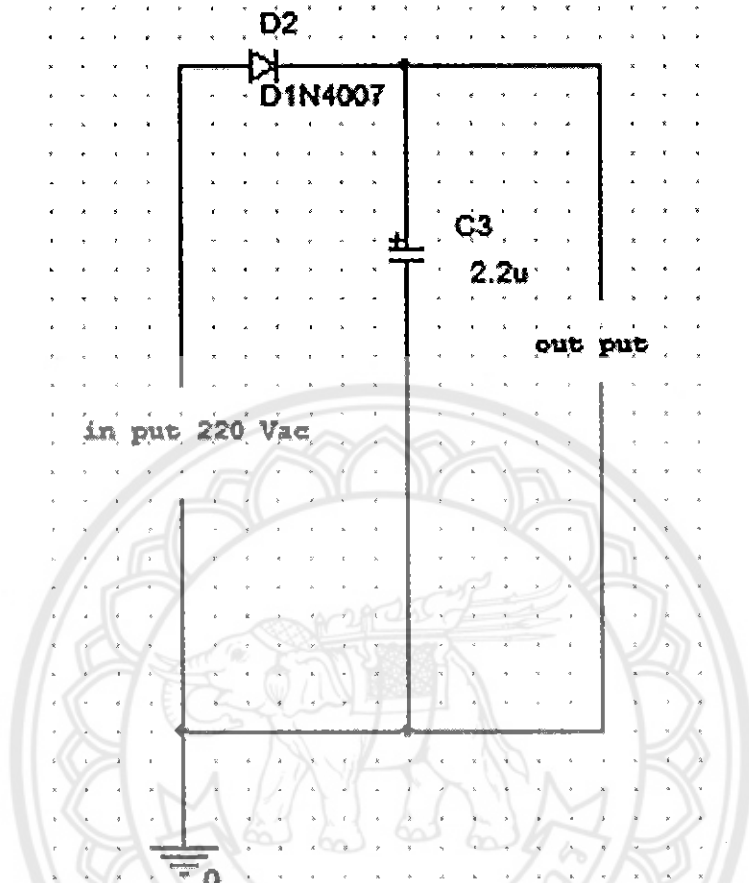
3.1 เสนอหัวข้อโครงการ

เริ่มจากการหาหัวข้อเพื่อที่จะทำโครงการ โดยได้ทำการขอคำปรึกษาอาจารย์ที่ปรึกษาโครงการ แล้วได้แนะนำโครงการเกี่ยวกับเตารีดอัจฉริยะมาว่าบังหาดแหล่งจ่ายกำลังซึ่งแหล่งจ่ายกำลังนั้นมีความต้องการแรงดัน 5 โวลต์ กระแส 100 มิลลิแอมป์ และต้องการขนาดที่เล็กเพื่อจะใส่เข้าไปในตัวเตารีดอัจฉริยะได้ ทางผู้จัดทำจึงได้ทำการศึกษาหาข้อมูลเกี่ยวกับแหล่งจ่ายกำลัง แล้วได้พบกับแหล่งจ่ายกำลังสวิตช์ ซึ่งมีคุณสมบัติตรงตามที่ต้องการ คือสามารถจ่ายแรงดัน 5 โวลต์ 100 มิลลิแอมป์ได้ อีกทั้งยังมีขนาดเล็ก น้ำหนักเบา จึงได้ทำการนำเสนอหัวข้อโครงการกับอาจารย์ที่ปรึกษาโครงการ

3.2 ศึกษาหลักการทำงานและทฤษฎีที่เกี่ยวข้องของวงจรแหล่งจ่ายกำลังสวิตช์

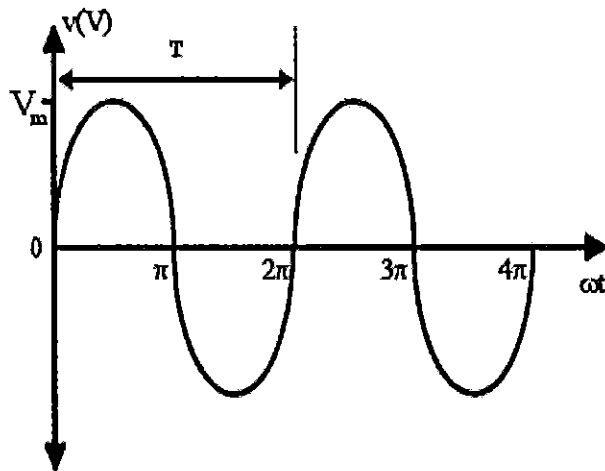
เพื่อเป็นการวางแผนการจัดการที่มีระบบ จึงจำเป็นต้องทำการศึกษาวงจรแหล่งจ่ายกำลัง และวงจรย่อยต่างๆ ในวงจรแหล่งจ่ายกำลังสวิตช์ ซึ่งได้แก่ วงจรเรียงกระแสและวงจรกรองกระแสด้านเข้า วงจrtัวเปลี่ยนผันแบบพุช-พูล วงจรเรียงกระแสและวงจรกรองกระแสด้านออก วงจรควบคุมแรงดันและกระแส รวมถึงโปรแกรมที่นำมาใช้งานในการออกแบบวงจร ได้แก่ โปรแกรมพีสไปร์ท (pspice) โปรแกรมเซอร์กิตวิชาร์ด (Circuit wizard) จะทำให้ผู้ดำเนินโครงการทราบถึงระบบต่างๆ ในชุดควบคุมและเกิดความรวดเร็วในการออกแบบและสร้างชิ้นงานจากทฤษฎีดังที่กล่าวไว้ในบทที่ 2

3.3 ออกรูปแบบวงจรเรียงกระแสและวงจรกรองกระแสค้านเข้า



รูปที่ 3.1 วงจรเรียงกระแส (Rectifier) และ วงจรกรองกระแส C (C Filter) ค้านเข้า

จากรูปที่ 3.1 จะเห็นได้ว่า ไดโอดเป็นอุปกรณ์ที่ใช้ในวงจรเรียงกระแสส่วนตัวเก็บประจุจะมีเพื่อกรองกระแสให้เรียบใช้ในวงจรกรองกระแสตามทฤษฎีหลักการทำงานที่กล่าวมาแล้วในบทที่ 2 หัวข้อที่ 2.1 เกี่ยวกับไดโอด และ หัวข้อที่ 2.4 เกี่ยวกับตัวเก็บประจุ



รูปที่ 3.2 รูปแสดงรูปคลื่นแรงดันไฟฟ้ากระแสสลับ

3.3.1 หาค่าเฉลี่ย (Average value)

สามารถคำนวณหาค่าเฉลี่ยของสัญญาณเอาต์พุตที่ได้จากพื้นที่ใต้กราฟของรูปที่ 3.2 แล้วหารด้วยเวลาของรูปคลื่น โดยคำนวณพื้นที่ใต้รูปคลื่นของสัญญาณที่เรียงกระแสแล้วจะต้องใช้วิธีการ อินทิเกรต สัญญาณซึ่งสมการหาค่าเฉลี่ยแสดงได้ดังนี้

$$V_{dc} = V_{av} = \frac{1}{T} \int_0^T V(t) dt \quad (3.1)$$

จากสมการที่ (3.1) เมื่อ

$$V(t) = V_m \sin(\omega t)$$

3.3.2 หาค่าแรงดันเฉลี่ย V_{dc}

โดย $V_{dc} = \text{ค่าแรงดันเฉลี่ยของวงจรเรียงกระแส}$

$V_m = \text{ค่าแรงดันสูงสุดของสัญญาณไฟฟ้า}$

$$V_{dc} = \frac{1}{2\pi} \left[\int_0^\pi V_m \sin(\omega t) d(\omega t) + \int_\pi^{2\pi} V_m \sin(\omega t) d(\omega t) \right]; \text{ ช่วง } \pi - 2\pi; V_m = 0;$$

$$= \frac{V_m}{2\pi} [-\cos(\omega t)]_0^\pi$$

$$= \frac{V_m}{2\pi} \{ [-\cos(\pi) - \cos(0)] \}$$

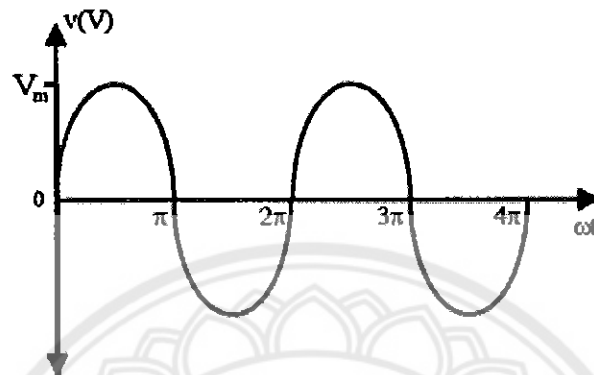
$$= \frac{V_m}{2\pi} [-(-1 - 1)]$$

$$V_{dc} = \frac{V_m}{\pi} = 0.318 V_m \quad (3.2)$$

$$V_{dc} = 98.898 \text{ V}$$

ค่าประสิทธิผล (Effective value or Root Mean Square)

นิยามว่าแรงดันไฟฟ้าลับที่ก่อให้เกิดผลทางความร้อนเท่ากับค่าแรงดันไฟตรง เช่น ถ้าหากป้อนแรงดันไฟฟ้าลับรูปไซน์ ค่า 14.14 โวลต์ คร่อมตัวต้านทานค่า 1 โอห์ม จะทำให้เกิดความร้อนเท่ากับเมื่อป้อนแรงดันไฟตรงค่า 10 โวลต์



รูปที่ 3.3 รูปแสดงสัญญาณและการหาค่าประสิทธิผล

จากรูปที่ 3.3 จะได้สมการการหาค่าแรงดัน อาร์เอ็มเอส คือ

$$V_{\text{rms}} = \sqrt{\frac{1}{T} \int_0^T V^2(t) dt} \quad (3.4)$$

การหาค่าแรงดันอาร์เอ็มเอสของวงจรเรียงกระแสแบบครึ่งคลื่น (V_{rms})

แทนค่าของแรงดัน $V(t) = V_m \sin(\omega t)$ ในสมการที่ 3.4 จะได้

$$V_{\text{rms}} = \sqrt{\frac{1}{2\pi} \int_0^\pi (V_m \sin(\omega t))^2 d(\omega t) + \frac{1}{2\pi} \int_\pi^{2\pi} (V_m \sin(\omega t))^2 d(\omega t)}$$

$$= \sqrt{\frac{V_m^2}{2\pi} \int_0^\pi \sin^2(\omega t) d(\omega t)}$$

$$= \sqrt{\frac{V_m^2}{2\pi} \left[\int_0^\pi \frac{1}{2} (1 - \cos(2\omega t)) d(\omega t) \right]}$$

$$= \sqrt{\frac{V_m^2}{2\pi} \left[\frac{1}{2} \int_0^\pi 1 d(\omega t) - \frac{1}{2} \int_0^\pi \cos(2\omega t) d(\omega t) \right]}$$

$$= \sqrt{\frac{V_m^2}{2\pi} \left[\frac{1}{2} (\omega t) - \frac{1}{4} \int_0^\pi \cos(2\omega t) d(2\omega t) \right]}$$

$$= \sqrt{\frac{V_m^2}{2\pi} \left[\frac{1}{2} (\omega t) - \frac{1}{4} \sin(2\omega t) \right]}$$

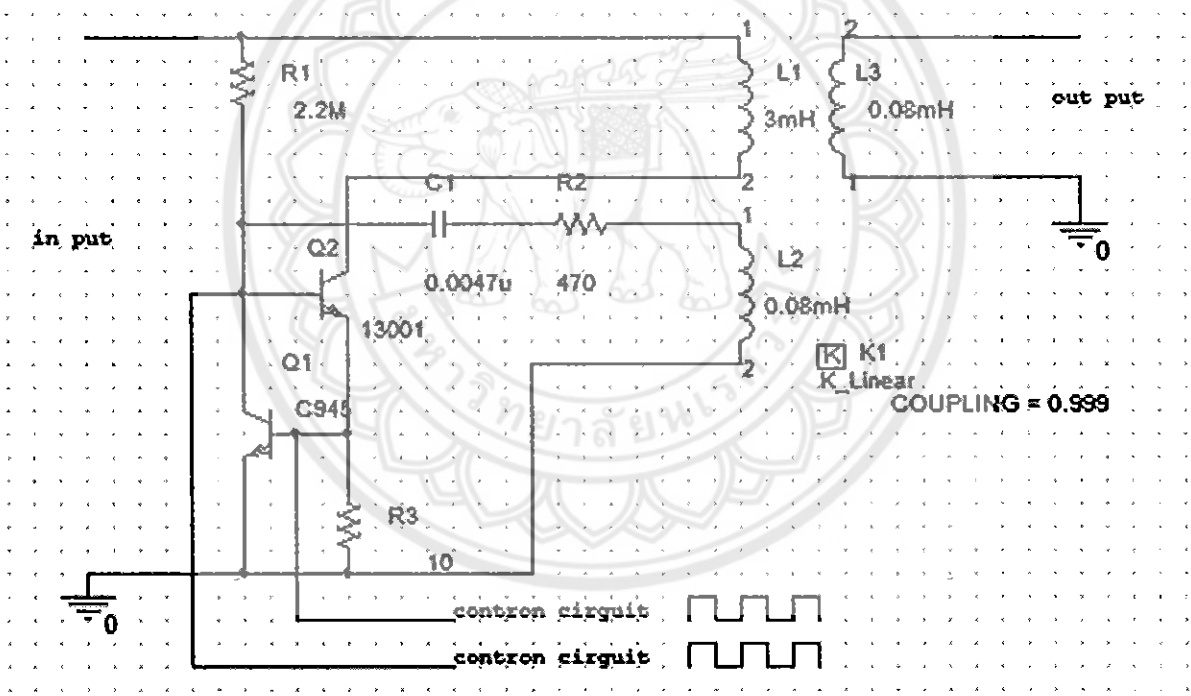
$$= \sqrt{\frac{V_m^2}{2\pi} [\frac{1}{2}(\pi) - \frac{1}{4}\sin(2\pi) - \frac{1}{2}(0) - \frac{1}{4}\sin(0)]}$$

$$V_{rms} = \sqrt{\frac{V_m^2}{2\pi} (\frac{\pi}{2})}$$

$$V_{rms} = \frac{V_m}{\sqrt{2}} \quad (3.5)$$

$$V_{rms} = 219.91 \text{ V}$$

3.4 ออคแบบวงจรตัวแปลงผันแบบพุช-พุด



รูปที่ 3.4 วงจรตัวแปลงผันแบบพุช-พุด

จากรูปที่ 3.4 จะเห็นว่าในวงจรแปลงผันแบบพุช-พุดนั้นมีอุปกรณ์ต่างๆที่ใช้ในวงจรหลักการทำงานและทฤษฎีเบื้องต้นของอุปกรณ์จะถูกกล่าวไว้ในบทที่ 2 หัวข้อที่ 2.8

หลักการทำงานของวงจรตัวแปลงพันแบบพุช-พุล

วงจรตัวแปลงพันแบบพุช-พุลจะแสดงการคำนวณตามข้อกำหนดของวงจรที่ออกแบบไว้ดังรูปที่ 3.4 ต่อไปนี้คือ ต้องการออกแบบวงจรเหล่านี้ยังคงทำงานในช่วงแรงดันไฟฟ้าลับอินพุตเท่ากับ 220 โวลต์ โดยให้แรงดันเอาต์พุต 5 โวลต์ และกระแส 100 มิลลิแอมป์ ทำงานที่ความถี่เท่ากับ 25 กิโลเฮิรตซ์

1. คาดเวลาในการทำงาน

$$T = \frac{1}{f}$$

$$T = \frac{1}{25 \times 10^3}$$

$$= 40 \times 10^{-6} \text{ วินาที}$$

2. กำหนด $T_{ON(max)}$

$$T_{ON(max)} = \frac{0.8T}{2}$$

$$T_{ON(max)} = 0.4 T$$

$$= 0.4 \times 40 \times 10^{-6}$$

$$= 16 \times 10^{-6} \text{ วินาที}$$

3. กำหนดอัตราส่วนจำนวนรอบ N_p/N_s

$$\frac{N_p}{N_s} = \frac{(V_{in(min)} - V_{CE(sat)}) t_{ON(max)}}{(V_o - V_d)(T/2)}$$

$$\frac{N_p}{N_s} = \frac{(98.898 - 1) \times 2 \times 16 \times 10^{-6}}{(5 - 0.6) \times 40 \times 10^{-6}}$$

$$= 17.799 \text{ รอบ}$$

เพราะจะนั่นเลือก $N_p/N_s = 18 \text{ รอบ}$

4. กำหนดจำนวนรอบ N_{p1} และ N_{p2}

$$N_p = \frac{(V_{in(min)} - V_{CE(sat)}) t_{ON(max)} \times 10^8}{(\Delta B_{max})(Ae)}$$

$$\frac{N_P}{N_S} = \frac{(98.898-1) \times 16 \times 10^{-6} \times 10^8}{1600 \times 1.48}$$

$$= 66.1473 \text{ รอบ}$$

ดังนั้นแล้วจำนวนรอบ N_{P_1} และ N_{P_2} เท่ากับ 67 รอบ

$$5. \quad N_s = \frac{67}{18} = 3.7 \text{ รอบ}$$

$$= 4 \text{ รอบ}$$

6. คำนวณค่าความหนาแน่นของคลื่นไฟฟาร์ม L_p (ระยะช่องอากาศ 1_g เมื่อกับ 0.1 มิลลิเมตร)

$$L_p = \frac{4 \times \pi \times 1.48 \times 148^2 \times 10^{-8}}{0.1} \quad (3.11)$$

$$= 40.737 \times 10^{-3} \text{ เชอร์}$$

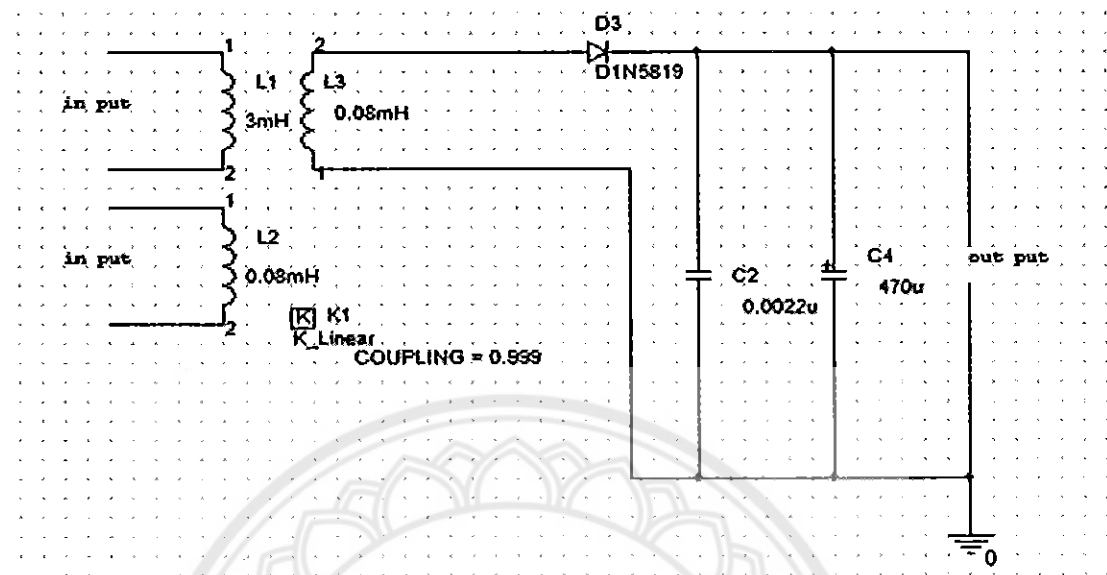
7. คำนวณค่ากระแสสูงสุดที่ไฟฟาร์ม

$$I_{P(PK)} = \frac{P_{OT}}{2\eta V_{IN(min)} T_{ON(max)}} + \frac{(V_{in(min)} - V_{CE(sat)}) t_{ON(max)}}{L_p} \quad (3.12)$$

$$= \frac{12.5 \times 40 \times 10^{-6}}{2 \times 0.8 \times 98.898 \times 16 \times 10^{-6}} + \frac{(98.898-1) \times 16 \times 10^{-6}}{40.737 \times 10^{-3}}$$

$$= 0.236 \text{ แอมป์ หรือ } 236 \text{ มิลลิแอมป์}$$

3.5 ออกรูปแบบวงจรเรียงกระแสและวงจรกรองกระแสด้านออก



รูปที่ 3.5 วงจรเรียงกระแส (Rectifier) ด้วยกรองกระแส C (C Filter) ด้านออก

จากรูปที่ 3.5 จะเห็นได้ว่าไดโอดเป็นอุปกรณ์ที่ใช้ในวงจรเรียงกระแสส่วนตัวเก็บประจุจะมีเพื่อกรองกระแสให้เรียบใช้ในวงจรกรองกระแสตามทฤษฎีหลักการทำงานที่กล่าวมาแล้วในบทที่ 2 หัวข้อที่ 2.1 เกี่ยวกับไดโอด และ หัวข้อที่ 2.4 เกี่ยวกับตัวเก็บประจุและจะมีแรงดันไฟฟ้าออกจากหลังหม้อแปลง 24.9 โวลต์

เนื่องจากเป็นวงจรเรียงกระแสและกรองกระแส เช่นเดียวกับหัวข้อ 3.3 จึงนำสมการที่ (3-1) ถึง (3-5) มาใช้

3.5.1 หาค่าแรงดันเฉลี่ย V_{dc}

โดย $V_{dc} = \text{ค่าแรงดันเฉลี่ยของวงจรเรียงกระแส}$

$V_m = \text{ค่าแรงดันสูงสุดของสัญญาณไฟฟ้า}$

$$V_m = 24.9 \text{ V}$$

$$V_{dc} = \frac{1}{2\pi} \left[\int_0^\pi V_m \sin(\omega t) d(\omega t) + \int_\pi^{2\pi} V_m \sin(\omega t) d(\omega t) \right]; \text{ ช่วง } \pi - 2\pi; V_m = 0;$$

$$= \frac{V_m}{2\pi} [-\cos(\omega t)]_0^\pi$$

$$= \frac{V_m}{2\pi} \{[-\cos(\pi) - \cos(0)]\}$$

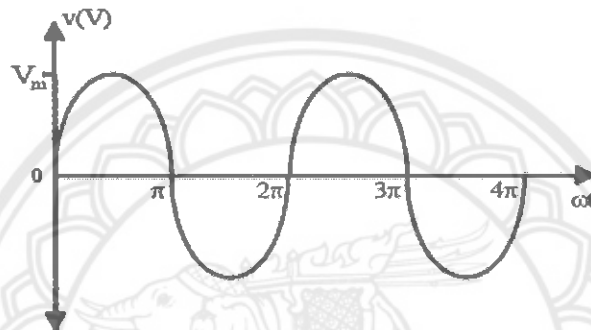
$$= \frac{V_m}{2\pi} [-(-1 - 1)]$$

$$V_{dc} = \frac{V_m}{\pi} = 0.318 V_m$$

$$V_{dc} = 7.92 \text{ V}$$

ค่าประสิทธิผล (Effective value or Root Mean Square)

นิยามว่าแรงดันไฟฟ้าสัมบูรณ์ที่ก่อให้เกิดผลทางความร้อนเท่ากับค่าแรงดันไฟตรง เช่น ถ้าหากป้อนแรงดันไฟฟ้าสัมบูรณ์ไปชน์ ค่า 14.14 โวลต์ คร่อมตัวด้านทานค่า 1 โอห์ม จะทำให้เกิดความร้อนเท่ากับเมื่อป้อนแรงดันไฟตรงค่า 10 โวลต์



รูปที่ 3.6 รูปแสดงสัญญาณและการหาค่าประสิทธิผล

จากรูปที่ 3.6 จะได้สมการการหาค่าแรงดัน อาร์เอ็มเอ็ส คือ

$$V_{rms} = \sqrt{\frac{1}{T} \int_0^T V^2(t) dt}$$

การหาค่าแรงดันอาร์เอ็มเอ็สของวงจรเรียงกระแสแบบครึ่งคลื่น (V_{rms})

แทนค่าของแรงดัน $V(t) = V_m \sin(\omega t)$ ในสมการที่ 3.14 จะได้

$$V_{rms} = \sqrt{\frac{1}{2\pi} \int_0^\pi (V_m \sin(\omega t))^2 d(\omega t) + \frac{1}{2\pi} \int_\pi^{2\pi} (V_m \sin(\omega t))^2 d(\omega t)}$$

$$= \sqrt{\frac{V_m^2}{2\pi} \int_0^\pi \sin^2(\omega t) d(\omega t)}$$

$$= \sqrt{\frac{V_m^2}{2\pi} \left[\int_0^{\pi/2} (1 - \cos(2\omega t)) d(\omega t) \right]}$$

$$= \sqrt{\frac{V_m^2}{2\pi} \left[\frac{1}{2} \int_0^\pi d(\omega t) - \frac{1}{2} \int_0^\pi \cos(2\omega t) d(\omega t) \right]}$$

$$= \sqrt{\frac{V_m^2}{2\pi} \left[\frac{1}{2} (\omega t) - \frac{1}{4} \int_0^\pi \cos(2\omega t) d(2\omega t) \right]}$$

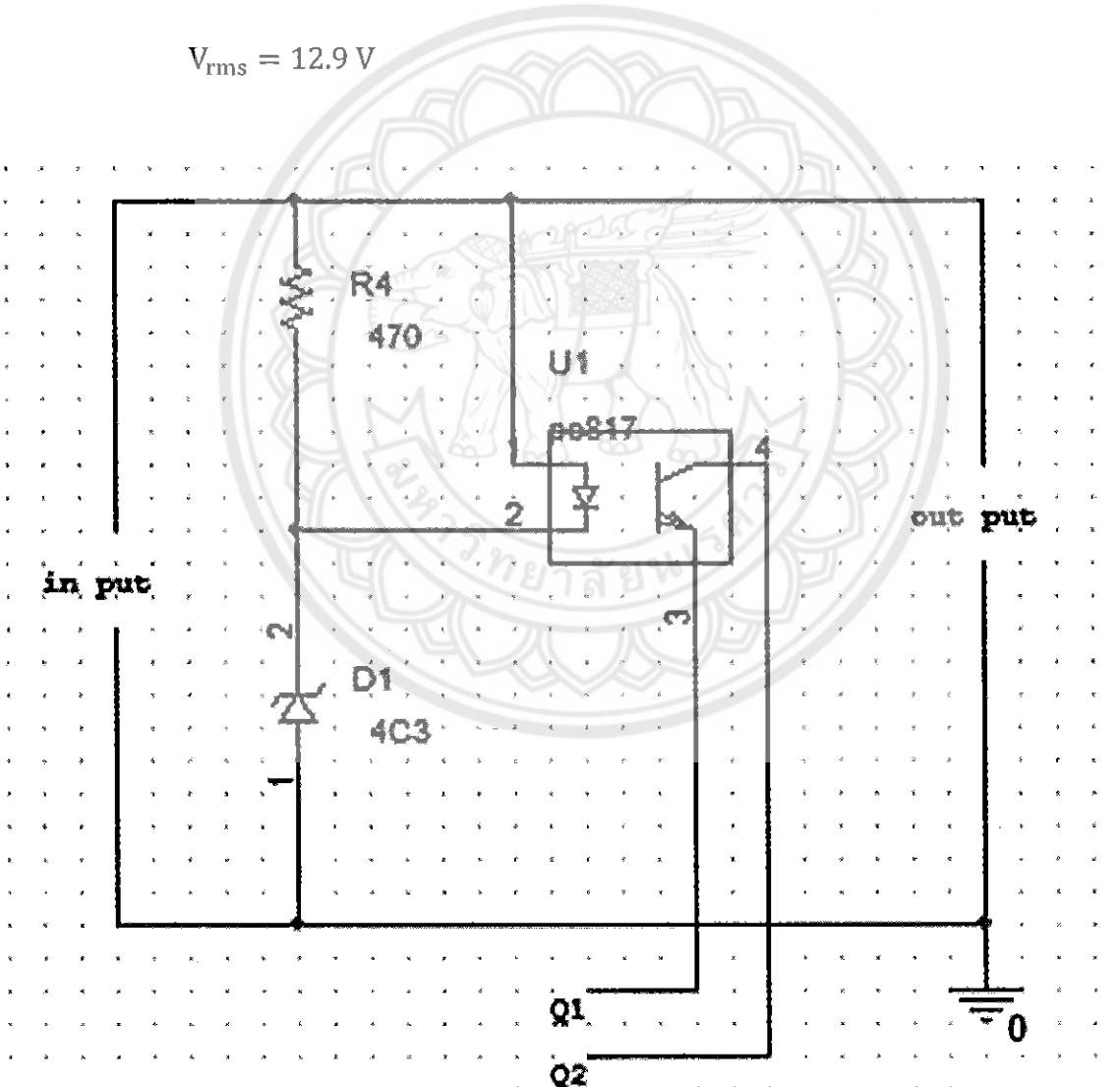
$$= \sqrt{\frac{V_m^2}{2\pi} \left[\frac{1}{2}(\omega t) - \frac{1}{4} \sin(2\omega t) \right]}$$

$$= \sqrt{\frac{V_m^2}{2\pi} \left[\frac{1}{2}(\pi) - \frac{1}{4} \sin(2\pi) - \frac{1}{2}(0) - \frac{1}{4} \sin(0) \right]}$$

$$V_{rms} = \sqrt{\frac{V_m^2}{2\pi} \left(\frac{\pi}{2} \right)}$$

$$V_{rms} = \frac{V_m}{2} = 0.5V_m$$

$$V_{rms} = 12.9 \text{ V}$$



รูปที่ 3.7 วงจรควบคุมด้านแรงดันและกราฟ

จากกฎที่ 3.7 จะพบว่าในส่วนประกอบของวงจรควบคุมนั้น จะใช้อปติคัปเลอร์ในการควบคุมกระแส และ ใช้เซ็นเซอร์ไดโอดในการคุณไม่ให้แรงดันในวงจรเกิน จากที่กล่าวมาในบทที่ 2 หัวข้อที่ 2.3 เกี่ยวกับอปติคัปเลอร์ และ หัวข้อที่ 2.2 สำหรับเซ็นเซอร์ไดโอด

3.6 ออกแบบวงจรควบคุมด้านแรงดันและกระแส

3.6.1 หาค่า V_{out} , I_z

จากเอกสารข้างต้นข้อมูลเซ็นเซอร์ไดโอดเบอร์ 4C3 ขนาด 0.5 วัตต์จะพบว่า $I_z = 5 \text{ mA}$, $V_{zT} = 4.4 \text{ V}$

$$V_{out} = V_{zT} - \Delta I_z r_z \quad (3.13)$$

$$V_{out} = 4.4 + 5 \times 10^{-3} \times 100$$

$$V_{out} = 4.9 \text{ V}$$

3.6.2 หาค่า R ที่เหมาะสม

$$R = \frac{V_{in} - V_{out}}{I_z} \quad (3.14)$$

$$R = \frac{7.22 - 4.9}{5 \times 10^{-3}} = 464 \Omega$$

3.6.3 หาค่า R_{Load} ที่เหมาะสม

$$R_{Load} = \frac{V_{out}}{I_z} \quad (3.15)$$

$$R_{Load} = \frac{4.9}{100 \times 10^{-3}}$$

$$= 49 \Omega$$

3.6.4 การเลือกขนาดแกนหม้อแปลงไฟฟ้าความถี่สูง

การเลือกขนาดแกนหม้อแปลงไฟฟ้าเพื่อออกแบบการพันหม้อแปลงไฟฟ้าความถี่สูง ที่ใช้ศึกษาการเกิดครอสเรกเกลชัน จะพิจารณาเลือกใช้แกนเฟอร์ไรต์ชนิดแกน EI ETD และแกน Pot โดยจะเลือกแกน และขนาดแกนในการทดสอบที่มีพิกัดกำลังใช้งานได้อย่างปลอดภัยและมีประสิทธิภาพ ของแกนที่ใกล้เคียงกัน เพื่อไม่ให้เกิดการอึมตัวของเส้นแรงแม่เหล็ก โดยใช้ค่า Core Geometrical Constant :Kg ดังสมการ (3.19) ในการพิจารณาเลือกแกนหม้อแปลงไฟฟ้าความถี่สูง

$$K_g = \frac{A_{C2} W_A}{MLT} \quad (3.16)$$

เมื่อ A_c คือ พื้นที่หน้าตัดของแกนหม้อแปลงไฟฟ้า

W_A គឺជាដំឡើងនៃការបង្កើតគម្រោង

MLT គឺ គម្រោងនៅក្នុងការបង្កើតគម្រោងទូរទឹក

แกนหม้อแปลงไฟฟ้าความถี่สูงที่บริษัทผู้ผลิตได้ผลิตออกแบบมาจำหน่าย และนำเข้า โดยชื่อนุลวนนาด คุณลักษณะ และปริมาณของแกนหม้อแปลงไฟฟ้าความถี่สูงจากบริษัทผู้ผลิต ที่ใช้ในการทดลอง เมื่อเปรียบเทียบกับขนาด และคุณสมบัติของแกนหม้อแปลงไฟฟ้าความถี่สูงตามโครงสร้างแกนชนิด EI ETD และ Pot แสดงได้ดังตาราง 3.1 ถึง 3.3

ตาราง 3.1 การเปรียบเทียบคุณลักษณะ โครงสร้างแกนหม้อแปลงไฟฟ้าความถี่สูงชนิด EI

Core Type	Ve/mm ³	AC/mm ²	WA/mm ²	MLT/mm	Kg(mm ⁵)
EI30/21/11	6720	113	149.96	73.1	26194.8
EI33/23/13	7910	118	267.575	84.1	44301
EI35/24/10	6270	89.3	302.835	72.33	33388
EI40/27/12	11100	143	353.52	88.6	81588.3

ตาราง 3.2 การเปรียบเทียบคุณลักษณะ โครงสร้างแกนนำเปลี่ยนไฟฟ้าความถี่สูงชนิด ETD

Core Type	Ve/mm ³	AC/mm ²	WA/mm ²	MLT/mm	Kg(mm ⁵)
ETD34/17/11	7640	97.1	171.1	44	36697
ETD39/20/13	11500	125	234.3	48	76202.9
EI35/24/10	17800	173	278.53	54.3	153457.6
ETD44/22/15	24000	211	343.38	60.9	250962.3

ตาราง 3.3 การเปรียบเทียบคุณลักษณะ โครงสร้างแกนหน้าแปลงไฟฟ้าความถี่สูงชนิด Pot

Core Type	Ve/mm ³	AC/mm ²	WA/mm ²	MLT/mm	Kg(mm ⁵)
P26/16	3530	93.9	99	65.9	13237.8
P26/16/1	4370	110	99	65.9	18166.5
P30/19	6190	137	133.25	78.5	31859.5
P36/22	10700	202	191.26	94.2	82846.8
P42/29	18200	265	324.8	109.9	207543.9

3.6.5 การออกแบบหม้อแปลงไฟฟ้าความถี่สูงจากแกน EI ETD และ แกนPot

การออกแบบหม้อแปลงไฟฟ้าความถี่สูงในวงจรฟลัตแบบค้อนเวอร์เตอร์สำหรับการทดสอบครอสเรกูเลชันจากแกนแต่ละชนิด ซึ่งการทำงานของวงจรจะสามารถพัฒนาได้ตามที่ต้องการ แต่จะต้องมีการตัดวงจรเมื่อไม่ต้องใช้งาน ทำให้ต้องติดตั้งวงจรตัดวงจรที่ต้องการ ตัวหม้อแปลงจะมีความสัมพันธ์กับขนาดของแกนเพอร์ไซต์ดังนี้

$$LI^2 p = \frac{\Delta B_{\max} \times I_g \times A_c}{0.4\pi} \times 10^{-8} \quad (3.17)$$

I_g	คือ ระยะห่างช่องว่างอากาศของแกนเพอร์ไซต์
A_c	คือ ขนาดพื้นที่หน้าตัดของแกนเพอร์ไซต์
ΔB_{\max}	คือ ค่าความหนาแน่นฟลักซ์สูงสุดในแกนเพอร์ไซต์
L	คือ ค่าความหนี่บัฟเฟิลคลูปปูมภูมิของหม้อแปลง
I_p	ค่ากระแสสูงสุดในหม้อแปลง

การกำหนดค่า ΔB_{\max} จะกำหนดไว้เพียงครึ่งหนึ่งในการออกแบบหม้อแปลง เพื่อป้องกันการอิ่มตัว และสามารถเพิ่มกำลังงานสะท้อนในหม้อแปลงได้โดยการเพิ่มระยะช่องว่างอากาศ g 1 ชั้ง การออกแบบหม้อแปลงแกนเพอร์ไซต์แบบต่างๆ จะมีขนาดที่เหมาะสมอยู่ที่คล้ายขนาด โดยจะมีระยะช่องว่างอากาศต่างกันออกไปซึ่งประสิทธิภาพการส่งผ่านพลังงานของตัวแปลงพันแม่เหล็ก พุ่มจะมีค่าประสิทธิภาพประมาณ 65-80 % กำลังงานที่แปลงพันแม่เหล็กสามารถจ่ายให้กับโหลด P_{out}

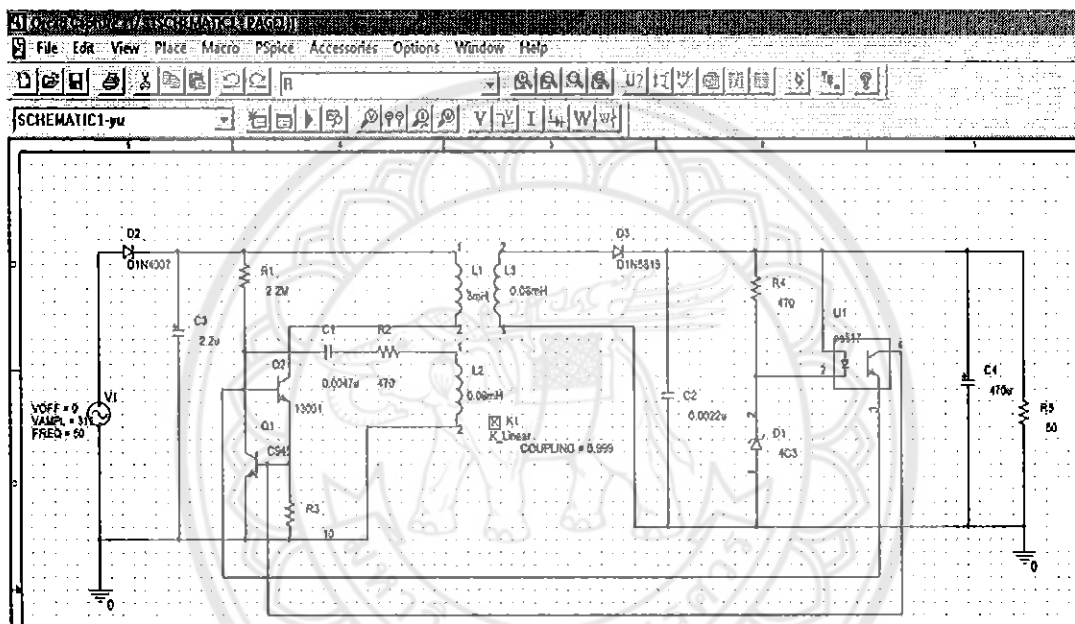
3.7 ออกแบบวงจรแหล่งจ่ายกำลังสวิตชิ่งโดยใช้โปรแกรมพีสีไบร์ท (Pspice)

โดยการออกแบบวงจรแหล่งจ่ายกำลังขึ้นเป็นจะต้องทำการทดสอบดูก่อนว่าใช้ได้จริง หรือไม่ โดยอาศัยโปรแกรมพีสีไบร์ท (Pspice) มาช่วยในการทดสอบวงจรว่าได้ค่าตรงตามที่ต้องการหรือไม่ โดยจะนำอุปกรณ์ต่างๆมาทำการทดสอบดังรูปที่ 3.8

อุปกรณ์ที่ใช้ในการสร้างวงจรแหล่งจ่ายนิดกำลังแบบสวิตชิ่งนี้จะประกอบด้วย

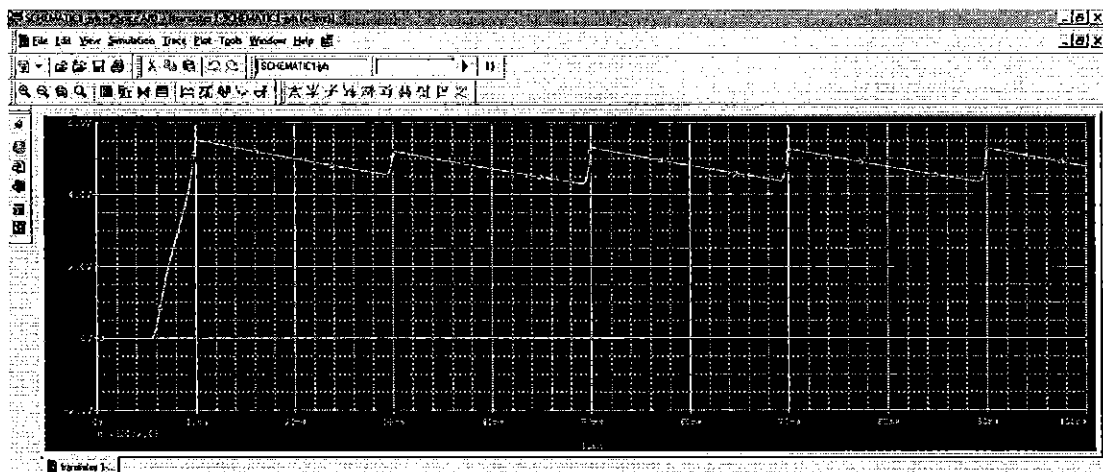
1. ไดโอดในวงจรเรียงกระแสชนิด 1N4007 ทนกระแสได้ 1 A ทนแรงดันได้ 1000 V จำนวน 1 ตัว
2. ไดโอดในวงจรเรียงกระแสชนิด 1N5819 ทนกระแสได้ 1 A ทนแรงดันได้ 40 V จำนวน 1 ตัว
3. ตัวเก็บประจุในวงจรฟลีตเตอร์ชนิด Electrolytic ขนาด 220 uF ทนแรงดันได้ 10 V จำนวน 1 ตัว
4. ตัวเก็บประจุในวงจรฟลีตเตอร์ชนิด Electrolytic ขนาด 2.2uF ทนแรงดันได้ 450 V จำนวน 1 ตัว
5. ตัวเก็บประจุ ByPass ชนิด Ceramic 4.7pF สามารถทนแรงดันได้ 450 V จำนวน 1 ตัว
6. ตัวเก็บประจุ ByPass ชนิด Ceramic 2.2pF สามารถทนแรงดันได้ 1kV จำนวน 1 ตัว
7. ตัวต้านทาน ขนาด $2.2 M\Omega$ 0.25 W จำนวน 1 ตัว

8. ตัวต้านทาน ขนาด 10Ω 0.25 W จำนวน 1 ตัว
9. ตัวต้านทาน ขนาด 470Ω 0.25 W จำนวน 2 ตัว
10. Zenordiode เบอร์ 4C3 0.5 W จำนวน 1 ตัว
11. Optocoupler pc817 optocoupler pc817 จำนวน 1 ตัว
12. Transistor ชนิด NPN เบอร์ C945 จำนวน 1 ตัว
13. Transistor ชนิด NPN เบอร์ 13001 จำนวน 1 ตัว
14. หม้อแปลงสวิตชิ่งจำนวน 1 ตัว



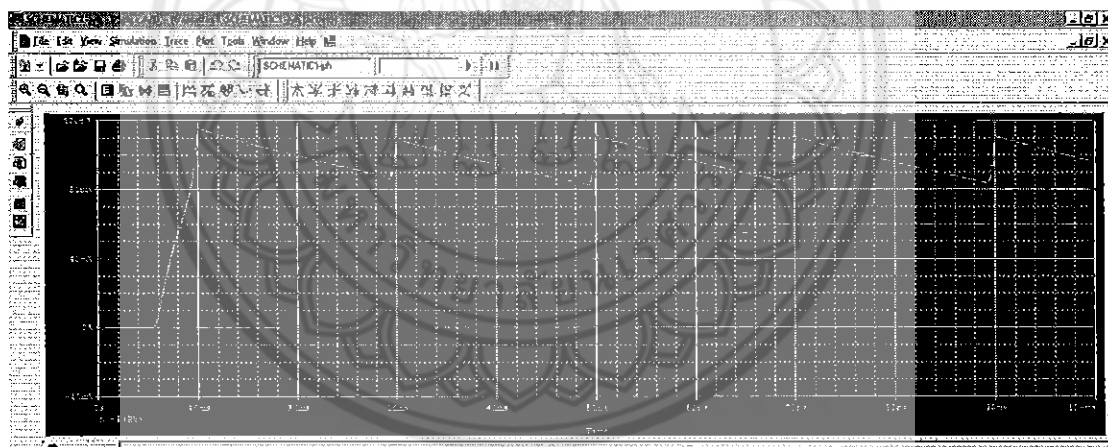
รูปที่ 3.8 วงจรเหล่านี้ยกมาดังสวิตชิ่ง

ออกแบบและเขียนวงจรบนโปรแกรมพิสไปร์ท โดยนำอุปกรณ์ต่างๆมาลงในวงจร ป้อนค่าให้กับอุปกรณ์ต่างๆตามที่ได้คำนวณไว้ข้างต้น



รูปที่ 3.9 กราฟแรงดันค้านออกของวงจรเหล่จ่ายกำลังสวิตชิ้ง

ทำการทดลองโดยใช้ค่าโดยวัดค่า R ค้านออก จะได้ค่าแรงดันตกค่า R ตามรูปที่ 3.9 และได้ค่ากระแสค้านออกผ่าน R ตามรูปที่ 3.10 ซึ่งจะได้ค่าใกล้เคียงตามที่ต้องการคือ แรงดันขนาด 5 โวลต์ 100 มิลลิแอมป์



รูปที่ 3.10 กราฟแสดงกระแสค้านออกของวงจรเหล่จ่ายกำลังสวิตชิ้ง

3.8 ออกแบบถ่ายวงจรโดยใช้โปรแกรมเซอร์กิจิวิชาร์ด (circuit wizard)

ในหัวข้อนี้จะเป็นการออกแบบถ่ายบล็อกโดยใช้โปรแกรมเซอร์กิจิวิชาร์ด (Circuit Wizard) เพื่อที่จะนำอุปกรณ์ต่างๆ มาลงถ่ายบล็อกเพื่อทำชีนงานวงจรเหล่จ่ายกำลังสวิตชิ้ง ขั้นแรก จะเป็นการออกแบบถ่ายวงจรโดย ซึ่งจะได้ออกมาโดยใช้อุปกรณ์ดังต่อไปนี้ ไดโอด ซีเนอร์ไค โอด ทรานซิสเตอร์ օอปโปรดักเตอร์ ตัวเก็บประจุ ตัวต้านทาน หน้าจอแปลงสวิตชิ้ง มาเขียนวงจรและขั้นตอนต่อมาจะเป็นการขับเส้นทางเด้งตามความเหมาะสมจะได้วงจรที่เสร็จสมบูรณ์ตามบทที่ 4 ในรูปที่ 4.1 เป็นรูปแบบของการวางแผนอุปกรณ์ทางค้านบนของถ่ายวงจรเหล่จ่ายกำลังสวิตชิ้งที่

ออกแบบไว้ และในรูปที่ 4.2 เป็นเส้นลายวงจรที่ด้านล่างของแผ่นปรินต์ซึ่งจะมีขนาด กว้าง 52 เซนติเมตร และยาว 37 เซนติเมตร เมื่อได้ลายปรินต์ที่ออกแบบเสร็จแล้วก็จะนำมาลงลายปรินต์จริงเพื่อ วางอุปกรณ์จริงตามหัวข้อต่อไปใน 3.9

3.9 นำงจระเหล่งจ่ายกำลังที่ออกแบบมาประกอบเป็นชิ้นงาน

ต่อมาจะกล่าวถึงขั้นตอนการนำอุปกรณ์ต่างๆ มาลงบนแผ่นปรินต์ ซึ่งได้ออกแบบไว้ดังที่ กล่าวมาในหัวข้อ 3.8 เมื่อทำการกัดลายปรินต์แล้วจะได้ดังบทที่ 4 ในรูปที่ 4.3 ทำการตรวจสอบคุณภาพรีบูนว่าถูกต้องหรือขาดหายไปหรือไม่เพื่อป้องกันไม่ให้เกิดการลัดวงจร เมื่อเสร็จแล้วทำ การลงอุปกรณ์ต่างๆ ลงบนแผ่นปรินต์ที่เตรียมไว้และบัดกรีอุปกรณ์ด้วยความระมัดระวัง เสร็จแล้วจะได้ดังบทที่ 4 ในรูปที่ 4.4 เป็นอันเสร็จสมบูรณ์

3.10 การทดสอบสมรรถนะของวงจรเหล่งจ่ายกำลังสวิตชิ่ง

จะเป็นการกล่าวถึงการทดสอบสมรรถนะของวงจรเหล่งจ่ายกำลังสวิตชิ่ง โดยจะแบ่งการทดสอบออกเป็น 2 การทดสอบคือ

1. ผลการทดสอบวงจรย่อยของวงจรเหล่งจ่ายกำลังสวิตชิ่ง โดยจะเป็นการทดสอบวงจรย่อย ต่างๆ ประกอบไปด้วย ผลการทดสอบวงจรเรียงกระแสและวงจรกรองกระแสด้านเดียว ผลการทดสอบวงจรตัวเปลี่ยนแบบพุช-พูล ผลการทดสอบวงจรเรียงกระแสและวงจรกรองกระแสด้านนอก ผลการทดสอบวงจรความคุณแรงดันและกระแส ซึ่งรายละเอียดจะกล่าวไว้ในบทที่ 4 หัวข้อ 4.2 เพื่อที่จะหาค่าที่ได้จากวงจรย่อยในส่วนต่างๆ ว่าได้ตรงตามค่าที่ปรับตั้งไว้

2. ผลการทดสอบประสิทธิภาพของวงจรเหล่งจ่ายกำลังสวิตชิ่งจะเป็นการหาค่า ประสิทธิภาพของอุปกรณ์โดยสามารถหาได้จากการวัดและนำมานแทนค่าในสมการที่ (3.18) หากค่า กำลังสูญเสียได้จากการวัดและนำมานแทนค่าในสมการที่ (3.19) หากปรับเทียบ Voltage Regulation ได้จากการวัดและนำมานแทนค่าในสมการที่ (3.20) และ หากค่าปอร์เซนต์rip เก็บเทอร์ได้จากการวัดและนำมานแทนค่าในสมการที่ (3.21) โดยรายละเอียดค่าต่างๆ จะกล่าวไว้ในบทที่ 4 หัวข้อ 4.3

$$\eta = \frac{P_{out}}{P_{in}} \times 100\% \quad (3.18)$$

$$P_{in} = P_{out} + P_{loss} \quad (3.19)$$

$$\text{Voltage Regulation} = \frac{V_{noload} - V_{fullload}}{V_{fullload}} \times 100 \quad (3.20)$$

$$\text{Ripple Factor (\%)} = \frac{\text{ripple_voltage(rms)}}{\text{DC_voltage}} \times 100\% \quad (3.21)$$

เมื่อ	η	คือ ค่าประสิทธิภาพของหม้อแปลงไฟฟ้า
	P_{out}	คือ กำลังไฟฟ้าข้อออกของวงจร
	P_{in}	คือ กำลังไฟฟ้าขาเข้าของวงจร
	P_{Loss}	คือ กำลังไฟฟ้าสูญเสียในระบบของวงจร
	Load Regulation	คือ ค่าแรงดันคงที่ขณะทำงาน
	V_{noload}	คือ แรงดันขณะไม่มีโหลด
	$V_{fullload}$	คือ แรงดันขณะจะจ่ายไฟกับโหลด

3.11 วิเคราะห์ผลการทดสอบ

การวิเคราะห์ผลที่ได้จากการทดสอบของวงจรแหล่งจ่ายกำลังสวิตชิ่ง จะเป็นการกล่าวถึงผลที่ได้จากการทดสอบเทียบกับค่าปรับตั้งที่ต้องการ โดยจะวิเคราะห์ผลการทดสอบตั้งแต่ ผลการทดสอบวงจรเรียงกระแสและวงจรกรองกระแสค้านเข้า ผลการทดสอบวงจรตัวแปลงผนัสนแบบพุช-พูด ผลการทดสอบวงจรเรียงกระแสและวงจรกรองกระแสค้านออก ผลการทดสอบวงรควบคุมแรงดันและกระแส ซึ่งผลการวิเคราะห์นี้จะกล่าวไว้ในบทที่ 4 หัวข้อ 4.2 และวิเคราะห์ผลการทดสอบประสิทธิภาพของวงจรแหล่งจ่ายกำลังสวิตชิ่ง ว่าสามารถจ่ายกำลังงานได้ตรงตามต่าปรับตั้งที่ต้องการคือ แรงดัน 5 โวลต์ ที่กระแส 100 มิลลิแอมป์ ซึ่งจะกล่าวไว้ในบทที่ 4 หัวข้อ 4.3

3.12 สรุปผลการทดสอบ

เมื่อทำการทดสอบแล้ว ในหัวข้อนี้จะกล่าวถึงผลที่ได้จากการทดสอบของวงจรแหล่งจ่ายกำลังสวิตชิ่ง ว่าได้ผลตรงตามค่าปรับตั้งที่ต้องการ หรือมีความคลาดเคลื่อนเท่าไหร่ โดยจะกล่าวไว้ในบทที่ 5 หัวข้อ 5.1

3.13 ปัญหา และข้อเสนอแนะ

ขั้นสุดท้ายในการดำเนินงานนี้จะเป็นการกล่าวถึงผลที่ได้จากการทดสอบวงจรแหล่งจ่ายกำลัง ว่าตั้งแต่เริ่มดำเนินงานมานั้นเกิดข้อผิดพลาดหรือปัญหาอะไรบ้าง และสามารถที่จะนำมาปรับแก้ให้ได้ตรงตามที่ผู้ใช้ต้องการ ได้อย่างไร เพื่อที่ผู้ใช้สามารถนำไปพัฒนาให้วงจรแหล่งจ่ายกำลังสวิตชิ่งมีประสิทธิภาพดียิ่งขึ้นต่อไปได้ โดยรายละเอียดปัญหาและข้อเสนอแนะนั้นจะกล่าวไว้ในบทที่ 5 หัวข้อ 5.1

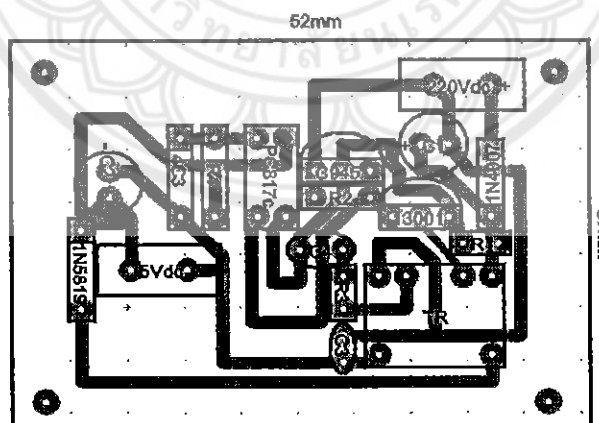
บทที่ 4

ผลการทดสอบและผลการวิเคราะห์

จากที่ได้ทำการอธิบายการดำเนินงานในโครงการโดยเริ่มตั้งแต่เสนอหัวข้อโครงการ ศึกษา หลักการทำงานของจรรยาบรรณจ่ายกำลังสวิตซ์ ออกแบบวงจรเรียงกระแสและวงจรกรองกระแส ด้านเข้า ออกแบบวงจรตัวเปล่งผนนแบบพุช-พูลออกแบบวงจรเรียงกระแสและวงจรกรองกระแส ด้านออก ออกแบบวงจรควบคุมแรงดันและกระแส ออกแบบวงจรเหล่งจ่ายกำลังสวิตซ์โดยใช้ โปรแกรมพีสีปีร์ค (Pspice) ออกแบบลายวงจรโดยใช้โปรแกรมเซอร์กิตวิชาร์ด (Circuit wizard) นำวงจรที่ออกแบบมาประกอบเป็นชิ้นงาน ซึ่งจะอธิบายรายละเอียดดังบทที่ 3 ส่วนในหัวข้อนี้จะ เป็นการแสดงถึงจากการนำอุปกรณ์มาทดสอบว่าได้ค่าตรงตามที่ได้ออกแบบไว้หรือไม่โดยแบ่งการ ทดลองออกเป็น 3 กลุ่มการทดลองดังนี้

4.1 ผลการออกแบบลายบอร์ดที่ได้จากโปรแกรมเซอร์กิตวิชาร์ดและนำมาลงอุปกรณ์ต่างๆ

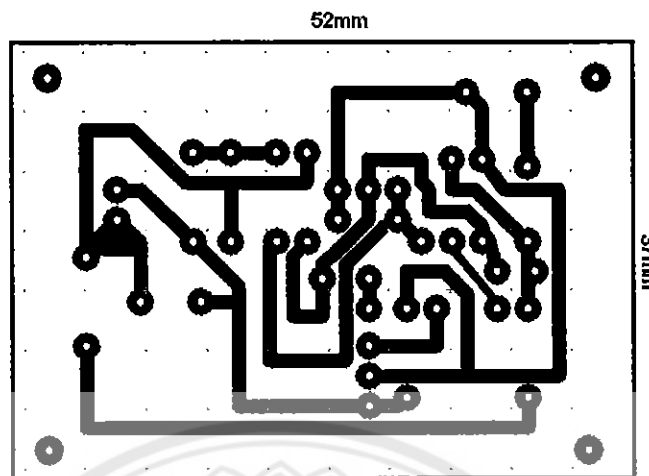
ในหัวข้อนี้จะเป็นการออกแบบลายบอร์นโดยใช้โปรแกรมเซอร์กิตวิชาร์ด(Circuit Wizard) เพื่อที่จะนำอุปกรณ์ต่างๆมาลงลายบอร์นเพื่อทำชิ้นงาน ซึ่งจะได้ออกมาตามรูปที่ 4.1 เป็นรูปแบบของ การวางแผนอุปกรณ์ทางด้านบนของลายวงจรที่ออกแบบไว้ และ 4.1 จะเป็นรูปเส้นทองแดงของลายบอร์น ในวงจรขนาดของแผ่นบอร์นจะมีขนาด กว้าง 52 มิลลิเมตร และยาว 37 เซนติเมตร



รูปที่ 4.1ลายบอร์น PCB ด้านบนที่ออกแบบ

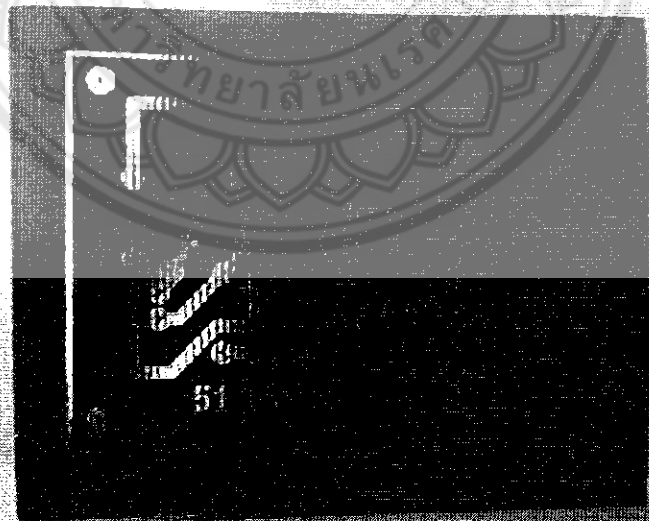
จากรูปที่ 4.1จะเป็นการจัดวางตำแหน่งของอุปกรณ์ในโปรแกรมเซอร์กิตวิชาร์ด (Circuit wizard) เพราะในวงจรที่ออกแบบมานั้นยังไม่ได้ออกแบบการวางแผนอุปกรณ์ในชิ้นงาน จึง จำเป็นที่จะต้องดูความเหมาะสมในการจัดวางอุปกรณ์ไม่ให้ลายบอร์นวงจรติดกันและอุปกรณ์ไม่ชิด

กันมากจนเกินไป ซึ่งอาจเกิดการลัดวงจรได้เมื่อได้ตำแหน่งอุปกรณ์ที่เหมาะสมแล้ว ก็ทำการเชื่อมเส้นลายปรีนวงจรดังรูปที่ 4.2



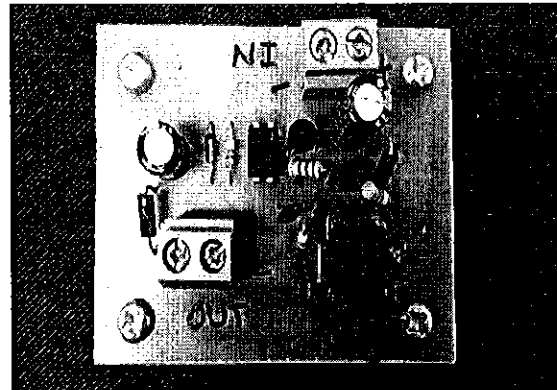
รูปที่ 4.2 ลายปรีน PCB ด้านล่างที่ออกแบบ

จากรูปที่ 4.2 เป็นเส้นลายวงจรที่ด้านล่างของอุปกรณ์ที่ออกแบบโดยโปรแกรมเซอร์กิตวิชาร์ด (Circuit wizard) มาจัดเส้นลายวงจรให้มีขนาดที่เหมาะสม ไม่ซ้ำ หรือห่างจนเกินไปทำให้แผงวงจรอาจเกิดการลัดวงจรได้ เมื่อตรวจสอบดีแล้วว่าเส้นลายปรีนวงจรสมบูรณ์ ขั้นต่อไปจะนำลายปรีนวงจรมาคัดลายปรีนลงแผ่นทองแดงได้ดังรูปที่ 4.3



รูปที่ 4.3 แผ่นลายทองแดงของวงจรเหล่านี้จะนำลงบนแผ่นทองแดงมาตรวจสอบความถูกต้องว่ามีลายเส้นวงจรขาดกัน หรือติดกันหรือไม่ และจะรู้ก่อนนำอุปกรณ์ไปลงในขั้นตอนต่อไปดังรูปที่ 4.4 เพื่อป้องกันไม่ให้เกิดการลัดวงจร และทำงานได้อย่างมีประสิทธิภาพ

จากรูปที่ 4.3 จะเป็นแผ่นทองแดงที่คัดเส้นลายปรีนเสร็จแล้วนำลงบนแผ่นทองแดงมาตรวจสอบความถูกต้องว่ามีลายเส้นวงจรขาดกัน หรือติดกันหรือไม่ และจะรู้ก่อนนำอุปกรณ์ไปลงในขั้นตอนต่อไปดังรูปที่ 4.4 เพื่อป้องกันไม่ให้เกิดการลัดวงจร และทำงานได้อย่างมีประสิทธิภาพ

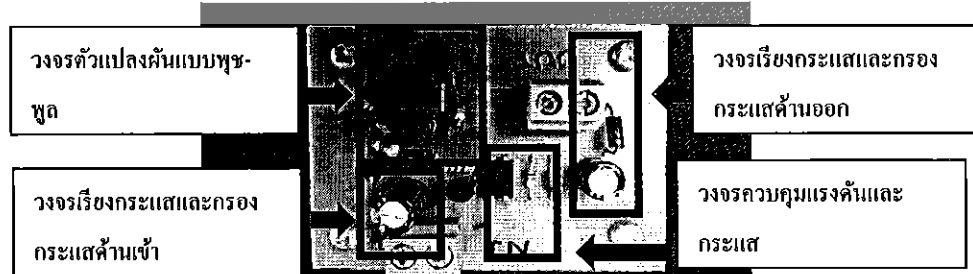


รูปที่ 4.4 แผ่นลายทองแดงของที่ลังอุปกรณ์ชั่งน้ำหนักสำหรับจัดทำแบบจำลองสวิตซ์ชิ่งแล้ว

จากรูปที่ 4.4 เมื่อได้วางที่กัดลายปริน์แผ่นทองแดงจากรูปที่ 4.3 แล้วนำอุปกรณ์ต่างๆที่ใช้ในวงจรเหล่านี้มาประกอบลงในแผ่นปริน์ที่เตรียมไว้ดังรูปที่ 4.1 พร้อมกับบัดกรีอุปกรณ์อิเล็กทรอนิกส์ในวงจรเหล่านี้มาด้วยความระมัดระวัง เพื่อป้องกันไม่ให้อุปกรณ์เสียหายและเข้าคดคุกที่บัดกรีไม่ให้ไปติดกับเส้นลายปริน์ของที่ไม่เกี่ยวข้อง

4.2 ผลการทดสอบวงจรย่อของเหล่านี้สำหรับจัดทำแบบจำลองสวิตซ์ชิ่ง

ในการทดสอบวงจรย่อของเหล่านี้สำหรับจัดทำแบบจำลองสวิตซ์ชิ่ง จะเป็นการทดสอบโดยใช้แต่ละวงจรซึ่งได้กล่าวไว้ในบทที่ 2 ทำให้สามารถแบ่งผลการทดสอบได้เป็น 4 วงจรย่อๆได้แก่ผลการทดสอบวงจรเรียงกระแสและกรองกระแสเดียวกันเข้า ผลการทดสอบวงจรส่วนตัวแบ่งผืนแบบพุช-พูด ผลการทดสอบวงจรเรียงกระแสและกรองกระแสเดียวกันออก ผลการทดสอบวงจรควบคุมแรงดันและกระแส เมื่อนำวงจรย่อของเหล่านี้สำหรับจัดทำลงแผ่นปริน์ตามที่กล่าวในหัวข้อที่ 4.1 จะได้วางรย่อของเหล่านี้สำหรับจัดทำแบบจำลองสวิตซ์ชิ่งตามภาพที่ 4.5



รูปที่ 4.5 วงจรย่อๆต่างๆในวงจรเหล่านี้สำหรับจัดทำแบบจำลองสวิตซ์ชิ่งโดยรวม

4.2.1 ผลการทดสอบวงจรเรียงกระแสและกรองกระแสเดียวกันเข้า

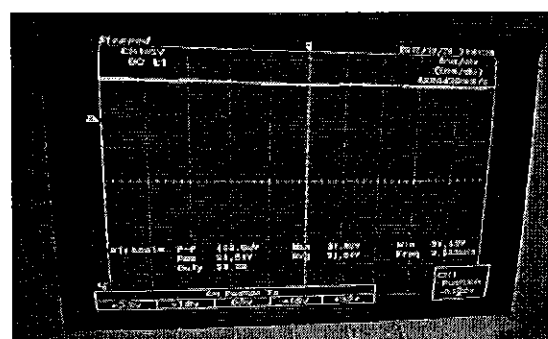
ในการทดสอบวงจรเรียงกระแสและกรองกระแสเดียวกันเข้า จะดูผลที่ได้จากการวัดค่าพารามิเตอร์สัญญาณแรงดันด้านออกของวงจรนี้ ซึ่งองค์ประกอบรวมของวงจรเรียงกระแสและ

กรองกระแสด้านเข้ามี ขนาด $2.2 \mu\text{F}$, แรงดัน 450 V จำนวน 1 ตัวเพื่อกรองความถี่สูงของสัญญาณ ต่อมานำอุปกรณ์มาลงแพ่นปรินอุปกรณ์ดังนี้ ไดโอดเบอร์ 1N4007 , กระแส 1 A , แรงดัน 1000 V จำนวน 1 ตัว และตัวเก็บประจุชนิด Electrolytic ตามที่อธิบายรายละเอียดในการติดตั้งอุปกรณ์ลงแพ่นปริน ในหัวข้อ 4.1 เมื่อติดตั้งอุปกรณ์ลงบนแพ่นปรินแล้วจะได้วงจรเรียงกระแสและการกรองกระแสด้านเข้าดังรูปที่ 4.6



รูปที่ 4.6 รูปวงจรเรียงกระแสและการกรองกระแสด้านเข้า

เมื่อป้อนสัญญาณแรงดันกระแสลับที่ $V_{\text{rms}} = 220 \text{ โวลต์}$ ความถี่ 50 Hz เข้าสู่วงจรเรียงกระแสและการกรองกระแสด้านเข้า จากนั้นวัดค่าพารามิเตอร์ของสัญญาณแรงดันด้านออกของวงจรเรียงกระแสและการกรองกระแสด้านเข้าว่าเป็นไปตามที่ได้กล่าวไว้ในบทที่ 3 หัวข้อ 3.3 ทำการวัดค่าพารามิเตอร์ที่ด้านออกของวงจรเรียงกระแสแรงและกรองกระแสล่วงๆ ได้ค่าพารามิเตอร์ของสัญญาณแรงดันจากอสซิโลสโคปและเนื่องจากใช้สายวัดสัญญาณคุณ 10 ทำให้ได้ค่าดังนี้ ค่าแรงดันยอดสูงสุด (V_{MAX}) มีค่าเท่ากับ 318 V ส่วนค่าแรงดันยอดต่ำสุด (V_{MIN}) มีค่าต่ำสุดมีค่าเท่ากับ 314 V จะได้ค่าแรงดันของยอดถึงยอดในวงจร ($V_{\text{P-P}}$) มีค่าเท่ากับ 4 V แรงดันเฉลี่ย (V_{Avg}) มีค่าเท่ากับ 315.4 V ความถี่ที่ใช้ในการทำงาน (Freq.) จะมีค่า 33.3 kHz และค่าแรงดันใช้งาน (V_{rms}) ได้ค่าแรงดันเท่ากับ 315.4 V ดังรูปที่ 4.7 และค่าพารามิเตอร์ที่กล่าวมาจะได้ผลดังตารางที่ 4.1



รูปที่ 4.7 ค่าพารามิเตอร์ของวงจรเรียงกระแสและการกรองกระแสด้านเข้า

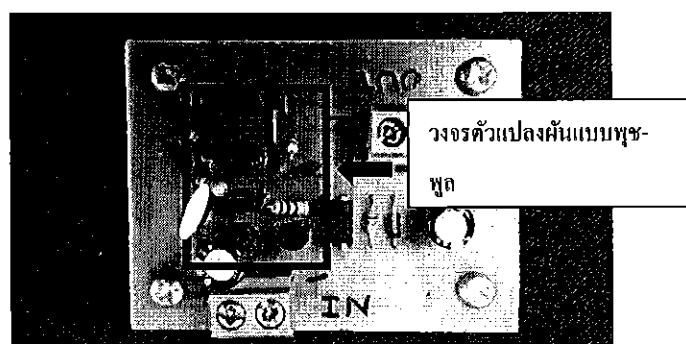
ตารางที่ 4.1 ผลทดสอบค่าพารามิเตอร์ของวงจรเรียงกระแสและการองกระแสค้านเข้า

ชื่อ	สัญลักษณ์ตัวย่อ	สัญญาณที่ได้	หน่วย
แรงดันขอดถึงขอด	V_{P-P}	4.00	V
แรงดันใช้งาน	V_{rms}	315.40	V
แรงดันขอดสูงสุด	V_{MAX}	318.00	V
แรงดันขอดต่ำสุด	V_{MIN}	314.00	V
แรงดันเฉลี่ย	V_{Avg}	315.40	V
ความถี่	Freq	33.30	kHz

ในตารางที่ 4.1 จะพบว่าสัญญาณที่ป้อนให้ก่อนผ่านวงจรเรียงกระแสและการองกระแสจะเป็นสัญญาณแรงดันกระแสลับ V_{rms} เท่ากับ 220 โวลต์ และความถี่ 50 Hz แต่เมื่อผ่านวงจรเรียงกระแสและการองกระแสค้านเข้าแล้วจะเปลี่ยนเป็นแรงดันกระแสตรงจะได้ค่าแรงดันเท่ากับ 315.4 V และความถี่ 33.3 kHz

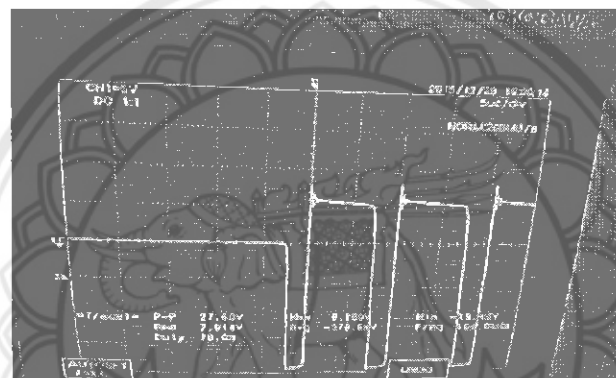
4.2.2 ผลการทดสอบวงจรตัวแปลงผันแบบพุช-พุล

จากการทดสอบวงจรตัวแปลงผันแบบพุช-พุล จะคุณลักษณะที่ได้จากการวัดค่าพารามิเตอร์ สัญญาณแรงดันค้านออกของวงจรนี้ ซึ่งองค์ประกอบรวมของวงจรส่วนตัวแปลงผันแบบพุช-พุลมี อุปกรณ์ดังนี้ ตัวต้านทานขนาด $2.2 M\Omega$, 0.25 W จำนวน 1 ตัวตัวเก็บประจุ ByPass ชนิด เชโรมิก ขนาด 4.7 pF, แรงดัน 450 V จำนวน 1 ตัว ตัวเก็บประจุ ByPass ชนิด เชโรมิกขนาด 2.2pF , แรงดัน 1 kV จำนวน 1 ตัว ทรานซิสเตอร์เบอร์ C945 จำนวน 1 ตัว ทรานซิสเตอร์เบอร์ 13001 จำนวน 1 ตัว หน้มือแปลงสัตว์ซึ่งจำนวน 1 ตัว ตัวต้านทานขนาด 470Ω , 0.25 W จำนวน 2 ตัว ต่อม่านำอุปกรณ์มาลงแผ่นปรินต์ตามที่อธิบายรายละเอียดในการติดตั้งอุปกรณ์ลงแผ่นปรินต์ในหัวข้อ 4.1 เมื่อติดตั้งอุปกรณ์ลงบนแผ่นปรินต์แล้วจะได้วงจรตัวแปลงผันแบบพุช-พุลดังรูปที่ 4.8



รูปที่ 4.8 รูปวงจรตัวแปลงผันแบบพุช-พุล

เมื่อป้อนสัญญาณแรงดันด้านออกของวงจรเรียงกระแสและการองค์ประกอบของวงจรที่ก่อตัวมาในหัวข้อ 4.2.1 เข้าสู่วงจรตัวแปลงผันแบบพุช-พูลของ จากนั้นวัดค่าพารามิเตอร์ของสัญญาณแรงดันด้านออกของวงจรตัวแปลงผันแบบพุช-พูลว่าเป็นไปตามที่ได้ก่อตัวไว้ในบทที่ 3 หัวข้อ 3.4 ทำการวัดค่าที่ด้านออกของวงจรตัวแปลงผันแบบพุช-พูลแล้วจะได้ค่าพารามิเตอร์ของสัญญาณแรงดันจากออสซิโลสโคปและเนื่องจากใช้สายวัดสัญญาณคุณ 1 ทำให้ได้ค่าดังนี้ ค่าแรงดันยอดสูงสุด (V_{MAX}) มีค่าเท่ากับ 8.2 V ส่วนค่าแรงดันยอดต่ำสุด (V_{MIN}) มีค่าต่ำสุดมีค่าเท่ากับ -19.40 V จะได้ค่าแรงดันของยอดถึงยอดในวงจร (V_{P-P}) มีค่าเท่ากับ 27.6 mV แรงดันเฉลี่ย (V_{Avg}) มีค่าเท่ากับ 378.6 mV ความถี่ที่ใช้ในการทำงาน (Freq.) จะมีค่า 100 kHz และค่าแรงดันใช้งาน (V_{rms}) ได้ค่าแรงดันเท่ากับ 7.91 V ดังรูปที่ 4.9 และค่าพารามิเตอร์ที่ก่อตัวมาในข้างต้นจะได้ค่าดังตารางที่ 4.2



รูปที่ 4.9 ค่าพารามิเตอร์ของวงจรตัวแปลงผันแบบพุช-พูล

ตารางที่ 4.2 ผลทดสอบค่าพารามิเตอร์ของวงจรตัวแปลงผันแบบพุช-พูล

ชื่อ	สัญลักษณ์ตัวย่อ	สัญญาณที่ได้	หน่วย
แรงดันยอดถึงยอด	V_{P-P}	27.60	mV
แรงดันใช้งาน	V_{rms}	7.91	V
แรงดันยอดสูงสุด	V_{MAX}	8.20	V
แรงดันยอดต่ำสุด	V_{MIN}	-19.40	V
แรงดันเฉลี่ย	V_{Avg}	-378.60	mV
ความถี่	Freq	100.00	kHz

ในตารางที่ 4.2 จะพบว่าสัญญาณที่ป้อนให้ก่อนผ่านวงจรตัวแปลงผันแบบพุช-พูล จะเป็นสัญญาณแรงดันกระแสตรงมีค่าเท่ากับสัญญาณแรงดันด้านออกตามที่ก่อตัวมาในหัวข้อ 4.2.1 แต่เมื่อผ่านวงจรตัวแปลงผันแบบพุช-พูลแล้วจะเปลี่ยนเป็นแรงดันกระแสสลับ เนื่องจากเกิดการ

เห็นว่านำของขค漉ดในหม้อแปลงซึ่งยังไม่ได้ผ่านการเรียงกระแส ได้ค่าแรงดัน เท่ากับ 7.91 V และความถี่ 100 kHz

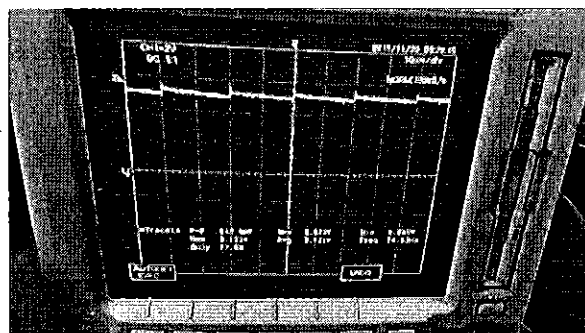
4.2.3 ผลการทดสอบวงจรเรียงกระแสและวงจรกรองกระแสด้านออก

ในการทดสอบวงจรเรียงกระแสและกรองกระแสด้านออก จะดูผลที่ได้จากการวัดค่าพารามิเตอร์สัญญาณแรงดันด้านออกของวงจรนี้ ซึ่งองค์ประกอบบนวงจรเรียงกระแสและกรองกระแสด้านออกมีอุปกรณ์ดังนี้ ไดโอด เบอร์ 1N5819 , กระแส 1 A , แรงดัน 40 V จำนวน 1 ตัว ตัวเก็บประจุชินิค Electrolytic ขนาด 220 uF , แรงดัน 10 V จำนวน 1 ตัวเพื่อกรองความถี่ต่ำของสัญญาณ ต่อมานำอุปกรณ์มาลงแผ่นบริんตามที่อธิบายรายละเอียดในการติดตั้งอุปกรณ์ลงแผ่นบริน ในหัวข้อ 4.1 เมื่อติดตั้งอุปกรณ์ลงบนแผ่นบรินแล้วจะได้วงจรเรียงกระแสและกรองกระแสด้านเข้า ดังรูปที่ 4.10



รูปที่ 4.10 รูปวงจรเรียงกระแสและกรองกระแสด้านออก

เมื่อป้อนสัญญาณแรงดันด้านออกของวงจรส่วนตัวแปลงผันแบบพุช – พูลคังที่กล่าวมาในหัวข้อ 4.2.2 เข้าสู่วงจรเรียงกระแสและกรองกระแสด้านออก จากนั้นวัดค่าพารามิเตอร์ของสัญญาณแรงดันด้านออกของวงจรเรียงกระแสและกรองกระแสด้านออก ว่าเป็นไปตามที่ได้กล่าวไว้ในบทที่ 3 หัวข้อ 3.5 ทำการวัดค่าที่ด้านออกของวงจรเรียงกระแสแรงและกรองกระแสด้านออกแล้วจะได้ค่าพารามิเตอร์ของสัญญาณแรงดันจากอสซิโลสโคปและเนื่องจากใช้สายวัดสัญญาณคุณ 1 ทำให้ได้ค่าดังนี้ ค่าแรงดันยอดสูงสุด (V_{MAX}) มีค่าเท่ากับ 5.52 V ส่วนค่าแรงดันยอดต่ำสุด (V_{MIN}) มีค่าต่ำสุดมีค่าเท่ากับ 4.8 V จะได้ค่าแรงดันของยอดถึงยอดในวงจร (V_{P-P}) มีค่าเท่ากับ 640 mV แรงดันเฉลี่ย (V_{Avg}) มีค่าเท่ากับ 5.121 V ความถี่ที่ใช้ในการทำงาน (Freq.) จะมีค่า 74.6 Hz และค่าแรงดันใช้งาน (V_{rms}) ได้ค่าแรงดันเท่ากับ 5.122 V ดังรูปที่ 4.11 และค่าพารามิเตอร์ที่กล่าวมาในข้างต้นจะได้ค่าดังตารางที่ 4.3



รูปที่ 4.11 ค่าพารามิเตอร์ของวงจรเรียงกระแสและการองกระแสด้านออก

ตารางที่ 4.3 ผลทดสอบค่าพารามิเตอร์ของวงจrtัวเปลี่ยนแบบพุช-พุด

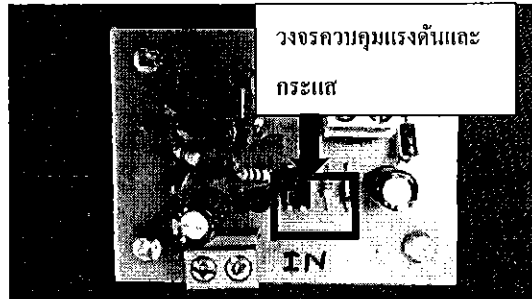
ชื่อ	สัญลักษณ์ตัวย่อ	สัญญาณที่ได้	หน่วย
แรงดันยอดถึงยอด	V_{P-P}	640	mV
แรงดันใช้งาน	V_{rms}	5.122	V
แรงดันยอดสูงสุด	V_{MAX}	5.52	V
แรงดันยอดต่ำสุด	V_{MIN}	4.8	V
แรงดันเฉลี่ย	V_{Avg}	5.121	V
ความถี่	Freq	74.6	Hz

ในตารางที่ 4.3 จะเห็นว่าสัญญาณแรงดันที่ป้อนให้ก่อนผ่านวงจรเรียงกระแสและการองกระแสจะเป็นสัญญาณแรงดันด้านออกของวงจrtัวเปลี่ยนแบบพุช-พุด ค่าดังกล่าวมาในหัวข้อ 4.2.2แต่เมื่อผ่านวงจรเรียงกระแสและการองกระแสด้านเข้าแล้วจะเปลี่ยนเป็นแรงดันกระแสตรงได้ค่าแรงดันเท่ากับ 5.121 V และความถี่ 74.6 Hz

4.2.4 ผลการทดสอบวงจรควบคุมแรงดันและกระแส

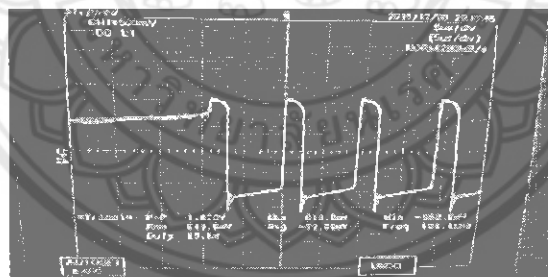
ในการทดสอบวงจรควบคุมแรงดันและกระแส จะคุณลักษณะที่ได้จากการวัดค่าสัญญาณแรงดันด้านออกของวงจrnี้ซึ่งองค์ประกอบรวมของวงจรควบคุมแรงดันและกระแส มีอุปกรณ์ดังนี้เซนเซอร์ไดโอดเบอร์ 4C3 , 0.5 W จำนวน 1 ตัว ใช้ควบคุมแรงดันให้คงที่ และทำงานที่แรงดัน 5.1 V และเมื่อกระแสลดลงตัวด้านทานขนาด 470 Ω จะควบคุมกระแสให้ไหลผ่านออกจากเซนเซอร์ไดโอดเพื่อให้วางการทำงานต่อ

ในส่วนของอินพ็อตคัปเลอร์ pc817 จำนวน 1 ตัวจะใช้เป็นตัวปล่อยสัญญาณควบคุมเพาเวอร์ทรานซิสเตอร์เมื่อกระแสตก โดยที่สลับกันทำงาน ต่อมานำอุปกรณ์มาลงแผ่นปรินต์ตามที่อธิบายรายละเอียดในการติดตั้งอุปกรณ์ลงแผ่นปรินต์ในหัวข้อ 4.1 เมื่อติดตั้งอุปกรณ์ลงบนแผ่นปรินต์แล้วจะได้วางวงจรควบคุมแรงดันและกระแสดังรูปที่ 4.12



รูปที่ 4.12 วงจรความคุณแรงดันและกระแส

เมื่อป้อนสัญญาณแรงดันด้านออกของวงจรความคุณแรงดันและกระแสตั้งที่ก่อถ่วงมาในหัวข้อ 4.2.4 เข้าสู่วงจรความคุณแรงดันและกระแสจากนั้นวัดค่าของสัญญาณแรงดันด้านออกของวงจรความคุณแรงดันและกระแสว่าเป็นไปตามที่ได้ก่อถ่วงไว้ในบทที่ 3 หัวข้อ 3.6 ทำการวัดค่าที่ด้านออกของวงจรความคุณแรงดันและกระแสแล้วจะได้ค่าพารามิเตอร์ของสัญญาณแรงดันจากอสซิโลสโคปและเนื่องจากใช้สายวัดสัญญาณคุณ 1 ทำให้ได้ค่าดังนี้ ค่าแรงดันยอดสูงสุด (V_{MAX}) มีค่าเท่ากับ 840 mV ต่ำกว่าแรงดันยอดต่ำสุด (V_{MIN}) มีค่าต่ำสุดมีค่าเท่ากับ -980 mV จะได้ค่าแรงดันของยอดถึงยอดในวงจร (V_{P-P}) มีค่าเท่ากับ 1.82 V แรงดันเฉลี่ย (V_{Avg}) มีค่าเท่ากับ 39.06 V ความถี่ที่ใช้ในการทำงาน (Freq.) จะมีค่า 106.4 kHz และค่าแรงดันใช้งาน (V_{rms}) ได้ค่าแรงดันเท่ากับ 5.12 V ดังรูปที่ 4.13 และค่าพารามิเตอร์ที่ก่อถ่วงมาในข้างต้นจะได้ค่าดังตารางที่ 4.4



รูปที่ 4.13 ค่าพารามิเตอร์ของวงจรความคุณแรงดันและกระแส

ตารางที่ 4.4 ผลทดสอบค่าพารามิเตอร์ของวงจรความคุณแรงดันและกระแส

ชื่อ	สัญลักษณ์ตัวย่อ	สัญญาณที่ได้	หน่วย
แรงดันยอดถึงยอด	V_{P-P}	1.82	V
แรงดันใช้งาน	V_{rms}	643.80	mV
แรงดันยอดสูงสุด	V_{MAX}	840.00	mV
แรงดันยอดต่ำสุด	V_{MIN}	-980.00	mV
แรงดันเฉลี่ย	V_{Avg}	-39.06	mV
ความถี่	Freq	106.40	kHz

ในตารางที่ 4.4 จะเห็นว่าสัญญาณแรงดันที่ป้อนให้ก่อนผ่านวงจรควบคุมแรงดันและกระแสจะเป็นสัญญาณแรงดันด้านออกของวงจรเรียงกระแสและกรองกระแสด้านออกค่าดังกล่าวมาในหัวข้อ 4.2.3 แต่เมื่อแรงดันตวงจรควบคุมแรงดันและกระแสทำงานซึ่งวัดค่าแรงดันขณะวงจรควบคุมแรงดันแลกรกระแสได้เท่ากับ 840 mV และความถี่ 106.4 kHz

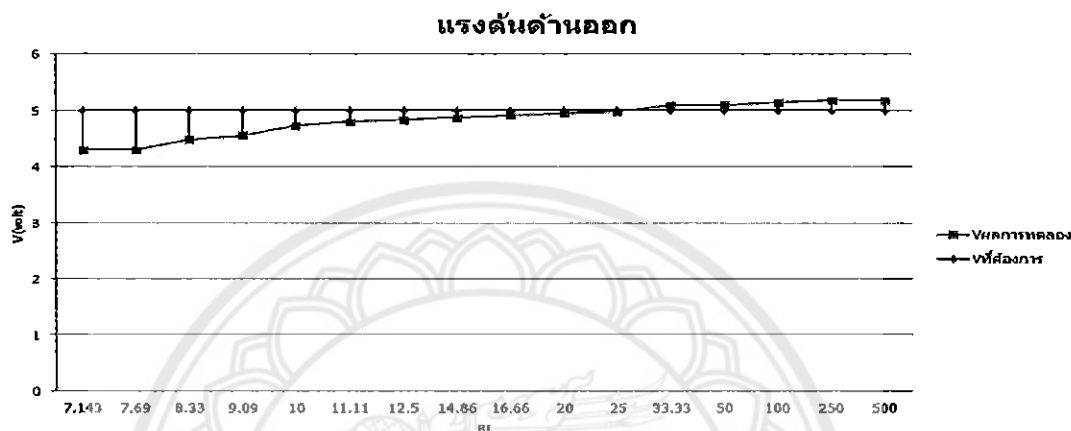
4.3 ผลการทดสอบประสิทธิภาพของวงจรเหล่งจ่ายกำลังสวิตชิ่ง

การทดลองนี้จะเป็นการทดสอบการทำงานของวงจรเหล่งจ่ายกำลังสวิตชิ่งโดยวัดค่าของแรงดันไฟฟ้า กระแสไฟฟ้าและกำลังไฟฟ้า โดยมีการเปลี่ยนค่าความต้านทานโหลดจำนวน 16 ค่า ดังตารางที่ 4.5 เพื่อหาประสิทธิภาพของอุปกรณ์ได้จากการทดสอบดังตารางที่ 4.6

ตารางที่ 4.5 เปรียบเทียบระหว่างค่าปรับตั้งที่ต้องการนำไปใช้กับผลที่ได้จากการทดลองของแรงดันไฟฟ้ากับกระแสไฟฟ้าโดยมีการเปลี่ยนความต้านทานโหลด จำนวน 16 ค่า

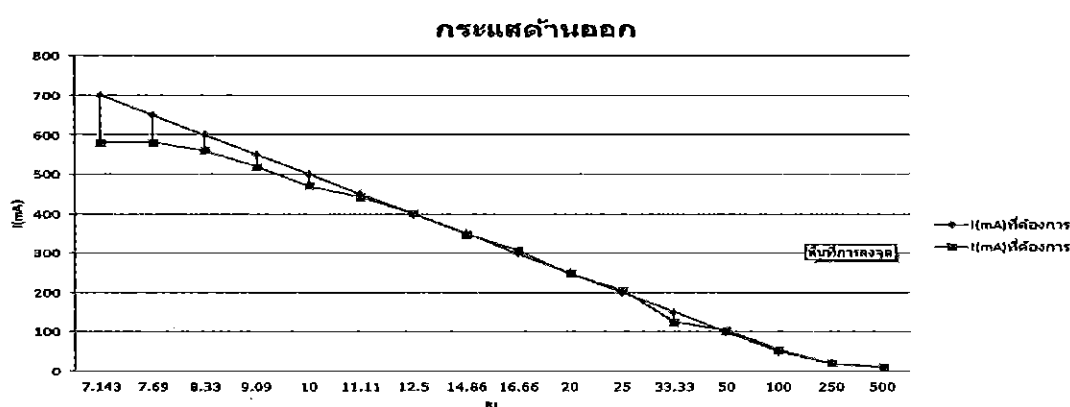
R โหลด (โอห์ม)	ค่าปรับตั้งที่ต้องการ			ค่าที่วัดได้จากการทดลอง		
	I(mA)	V(โวลต์)	P(W)	I(mA)	V(โวลต์)	P(W)
-	0	5	∞	0	5.24	∞
7.14	700	5	3.50	580.02	4.30	2.49
7.69	650	5	3.25	580.02	4.30	2.49
8.33	600	5	3.00	560.54	4.48	2.51
9.09	550	5	2.75	519.07	4.56	2.37
10.00	500	5	2.50	471.6	4.73	2.23
11.11	450	5	2.25	442.36	4.80	2.13
12.50	400	5	2.00	400.17	4.84	1.93
14.86	350	5	1.75	347.42	4.87	1.65
16.66	300	5	1.50	307.44	4.92	1.51
20.00	250	5	1.25	248.30	4.95	1.23
25.00	200	5	1.00	207.30	4.98	1.02
33.33	150	5	0.75	125.30	5.08	0.54
50.00	100	5	0.50	103.40	5.09	0.53
100.00	50	5	0.25	53.94	5.14	0.28
250.00	20	5	0.10	19.95	5.17	0.10
500.00	10	5	0.50	10.24	5.18	0.05

จากตารางที่ 4.5 แสดงถึงแรงดันด้านออก และกระแสด้านออกของค่าปรับตั้งที่ต้องการนำไปใช้และค่าที่วัดได้จากการทดลอง พบว่าค่าแรงดันด้านออกที่วัดได้จากการทดลองมีค่าไม่คงที่ และมีค่าเพิ่มขึ้นตามความด้านทาน荷ลดที่เพิ่มขึ้นดังรูปที่ 4.14 ในขณะที่กระแสด้านออกจะมีค่าลดลงตามความด้านทาน荷ลดที่เพิ่มขึ้นดังรูปที่ 4.15 ส่งผลให้กำลังไฟฟ้าลดลงเมื่อความด้านทาน荷ลดเพิ่มขึ้น ดังแสดงในรูปที่ 4.16



รูปที่ 4.14 กราฟแรงดันด้านออกของกระแสห่วงค่าปรับตั้งที่ต้องการกับค่าที่วัดได้จากการทดลอง

ในรูปที่ 4.14 จะพบว่าแรงดันไฟฟ้าด้านออกที่ได้จากการทดลองลดลงอย่างมากเมื่อความด้านทาน荷ลดเพิ่มขึ้น ซึ่งค่าแรงดันที่วัดได้จากการทดลองซึ่งความด้านทาน荷ลด 50 โอม คือ 5.09 โวลต์ จะพบว่ามีเบอร์เซนต์ความคลาดเคลื่อนเท่ากับ 1.8 เบอร์เซนต์ จะมีช่วงแรงดันลดลงในช่วงที่ค่าความด้านทาน荷ลดเพิ่มขึ้น เนื่องจากการทดลองอาจจะมีข้อผิดพลาด หรือ แรงดันไฟฟ้าสูญเสียในตัวอุปกรณ์ทำให้การทดสอบງดร่วงลดลง ส่วนที่น้ำมีค่าคลาดเคลื่อนได้



รูปที่ 4.15 กราฟกระแสด้านออกของกระแสห่วงค่าปรับตั้งที่ต้องการกับค่าที่วัดได้จากการทดลอง

ในรูปที่ 4.15 จะพบว่ากระแสไฟฟ้าค้านออกที่ได้จากการแหล่งจ่ายกำลังสวิตช์นั้นจะมีค่าไกล์เคียงกับค่าปรับตั้งที่ต้องการคืออยู่ในช่วงความต้านทานโอลด์ 50 โอห์ม กระแส 100 มิลลิแอมป์ ซึ่งค่ากระแสที่วัดได้จากผลการทดลองช่วงความต้านทานโอลด์ 50 โอห์ม คือ 103.40 มิลลิแอมป์ จะพบว่ามีเบอร์เซนต์ความคลาดเคลื่อนเท่ากับ 3.4 เบอร์เซนต์ จะมีช่วงกระแสลดลงในช่วงที่ค่าความต้านทานโอลด์เพิ่มขึ้นและมีช่วงกระแสเพิ่มขึ้นในช่วงที่ค่าความต้านทานโอลด์ลดลงเนื่องจากการทดลองอาจจะมีข้อผิดพลาด หรือ เกิดความสูญเสียในตัวอุปกรณ์ทำให้การทดสอบวงจรแหล่งจ่ายกำลังสวิตช์นั้นมีค่าคลาดเคลื่อนได้



รูปที่ 4.16 กราฟกำลังไฟฟ้าค้านออกของกระแสที่ต้องการกับค่าที่วัดได้จากผลการทดลอง

ในรูปที่ 4.16 จะพบว่ากำลังไฟฟ้าค้านออกที่ได้จากการแหล่งจ่ายกำลังสวิตช์นั้นมีค่าไกล์เคียงกับค่าปรับตั้งที่ต้องการคืออยู่ในช่วงความต้านทานโอลด์ 50 โอห์ม กำลังไฟฟ้า 0.50 วัตต์ ซึ่งค่ากำลังไฟฟ้าที่วัดได้จากผลการทดลองช่วงความต้านทานโอลด์ 50 โอห์ม คือ 0.53 วัตต์ จะพบว่ามีเบอร์เซนต์ความคลาดเคลื่อนเท่ากับ 6 เบอร์เซนต์ จะมีช่วงที่กำลังไฟฟ้าลดลงในช่วงที่ค่าความต้านทานโอลด์เพิ่มขึ้นและมีช่วงที่กำลังไฟฟ้าเพิ่มขึ้นในช่วงที่ค่าความต้านทานโอลด์ลดลงเนื่องจากการทดลองอาจจะมีข้อผิดพลาด หรือ เกิดความสูญเสียในตัวอุปกรณ์ทำให้การทดสอบวงจรแหล่งจ่ายกำลังสวิตช์นั้นมีค่าคลาดเคลื่อนได้

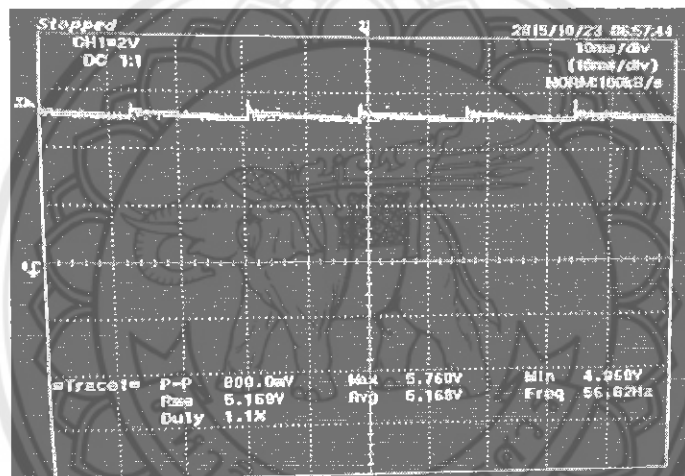
ตารางที่ 4.6 ผลการทดลองของวงจรแหล่งจ่ายกำลังสวิตช์แรงดันไฟฟ้า กระแสไฟฟ้า กำลังไฟฟ้า
ทั้งค้านเข้าและค้านออก

R โหลด (โอห์ม)	ค้านเข้า				ค้านออก			ประสิทธิภาพ $\eta = \frac{P_{out}}{P_{in}} \times 100\%$	ค่ากำลังสูญเสีย $P_{loss} = P_{in} - P_{out}$
	I (mA)	V (โวลต์)	PF	P_{in} (w)	I (mA)	V (โวลต์)	P_{out} (w)		
-	2.21	220	0.6	0.05	0	5.24	∞	-	-
7.14	20.94	220	0.6	2.76	580.01	4.21	2.494	90.36%	0.266
7.69	20.52	220	0.6	2.70	580.10	4.30	2.494	92.37%	0.206
8.33	19.96	220	0.6	2.63	560.54	4.48	2.511	95.47%	0.119
9.09	19.74	220	0.6	2.60	519.07	4.56	2.366	91%	0.234
10.00	19.57	220	0.6	2.58	471.60	4.73	2.230	86.43%	0.35
11.11	16.67	220	0.6	2.20	442.36	4.80	2.123	96.5%	0.077
12.50	16.24	220	0.6	2.14	400.17	4.84	1.936	90.46%	0.204
14.86	13.65	220	0.6	1.80	347.42	4.87	1.691	93.94%	0.109
16.66	13.24	220	0.6	1.74	307.44	4.92	1.512	86.89%	0.228
20.00	11.39	220	0.6	1.50	248.30	4.95	1.229	81.93%	0.271
25.00	9.88	220	0.6	1.30	207.30	4.98	1.032	79.38%	0.268
33.33	6.27	220	0.6	0.82	125.30	5.08	0.636	77.56%	0.184
50.00	5.46	220	0.6	0.58	103.40	5.09	0.526	90.68%	0.054
100.00	4.4	220	0.6	0.45	53.94	5.14	0.277	61.55%	0.173
25.00	3.53	220	0.6	0.30	19.95	5.17	0.103	34.33%	0.197
500.00	2.34	220	0.6	0.07	10.24	5.18	0.053	75.71%	0.017

ในตารางที่ 4.6 ประสิทธิภาพของหม้อแปลงไฟฟ้า (η) หมายถึงอัตราส่วนระหว่างกำลังขาออก (P_{out}) ต่อกำลังขาเข้า (P_{in}) ซึ่งจะต้องมีหน่วยเดียวกันดังนั้นจะสามารถเขียนเป็นสมการได้ดังที่กล่าวมาแล้วในบทที่ 3 สมการที่ (3.18) จะแสดงค่าไว้ในตารางที่ 4.6 ช่วงที่วงจรแหล่งจ่ายกำลังสวิตช์นี้มีประสิทธิภาพที่ดีที่สุด จะอยู่ในช่วงที่ความต้านทานโหลดมีค่าเท่ากับ 50 โอห์ม (Ω) ซึ่งจะเป็นค่าที่มีประสิทธิภาพมากที่สุดทั้งแรงดันไฟฟ้า กระแสไฟฟ้า และ กำลังไฟฟ้า และช่วงที่วงจรแหล่งจ่ายกำลังสวิตช์มีประสิทธิภาพต่ำที่สุดจะอยู่ในช่วงที่ความต้านทานโหลดมีค่าเท่ากับ 7.14 โอห์ม (Ω) เพราะกระแสสูง แต่แรงดันจะตกจนไม่สามารถนำวงจรไปใช้งานได้ สามารถหาค่ากำลังสูญเสียในระบบ (P_{loss}) ได้จากบทที่ 3 สมการที่ (3.19) จะพบว่าวงจรแหล่งจ่ายกำลังสวิตช์ที่มีค่ากำลังไฟฟ้าสูญเสียโดยที่แรงดันไม่ตก จะอยู่ในช่วงที่ความต้านทานโหลดมีค่าเท่ากับ 50 โอห์ม (Ω) ซึ่งจะเป็นค่าที่มีประสิทธิภาพมากที่สุดทั้งแรงดันไฟฟ้า กระแสไฟฟ้า และ กำลังไฟฟ้า และช่วงที่

วงจรแหล่งจ่ายกำลังสวิตซ์มีประสิทธิภาพต่ำที่สุดและสูญเสียมากสุดจะอยู่ในช่วงที่ความต้านทานโหลดมีค่าเท่ากับ $10\text{ }\Omega$ เพราะกระแสสูง แต่แรงดันจะตกจนไม่สามารถนำงงานไปใช้งานได้ เมื่อวัดค่าสัญญาณโดยใช้อุปกรณ์ส่องสัญญาณ (Oscilloscopes) จะได้ดังรูปที่ 4.18

หาเปอร์เซ็นต์ Load Regulation ตามค่าปรับตั้งที่ต้องการคือแรงดัน 5 โวลต์ กระแส 100 มิลลิแอมป์ จากการทดลองจะได้แรงดันขณะไม่มีโหลดเท่ากับ 5.242 โวลต์ และขณะที่มีโหลดเท่ากับ 5.098 โวลต์ โดยโหลดที่ใช้จะใช้ตัวต้านทานที่มีค่า $50\text{ }\Omega$ เพราะกระแสจะได้ $103\text{ }mA$ มิลลิแอมป์ ซึ่งใกล้เคียงกับ 100 มิลลิแอมป์ ตามค่าปรับตั้งที่ต้องการหาได้จากบทที่ 3 สมการที่ (3.20) จะได้ค่าเท่ากับ 2.98% ดังนั้นแสดงว่างานมีเสถียรภาพในการคงค่าแรงดันด้านออกได้ดี แม้แรงดันด้านเข้าหรือโหลดเปลี่ยนแปลงไป แต่แรงดันด้านออกยังคงที่



รูปที่ 4.17 แสดงสัญญาณด้านออกจะต่อ กับ ความต้านทานโหลด $50\text{ }\Omega$

จากรูปที่ 4.17 สัญญาณด้านออกที่ได้จากการวัดคร่าวตัวต้านทานโหลดขนาด $50\text{ }\Omega$ จะพบว่าบังคับมีสัญญาณไฟฟ้ากระแสเพื่อน (Ripple Factor) ซึ่งค่าแรงดันไฟฟ้ากระแสเพื่อน จะถูกบวกไว้ในรูปของเปอร์เซ็นต์ เรียกว่า ริปเปิลเฟกเตอร์ (Ripple Factor) หากได้จากบทที่ 3 สมการที่ (3.20) จะได้ค่าริปเปิลเฟกเตอร์เท่ากับ 4.468% ดังนั้นบังคับมีรูปคลื่นสัญญาณที่บังคับมีแรงดันกระแสเพื่อนอยู่บ้าง เล็กน้อย

บทที่ 5

สรุปผลและข้อเสนอแนะ

ในบทนี้จะเป็นการกล่าวถึงสรุปผลจากการทดลอง ปัญหาข้อเสนอแนะแนวทางแก้ไข และแนวทางในการพัฒนาเพื่อนำโครงงานนี้ไปปรับใช้ในการทำงานของอุปกรณ์ทางไฟฟ้าและอิเล็กทรอนิกส์ให้เกิดประโยชน์สูงสุดต่อไป

5.1 สรุปผลการทดลอง

ในโครงงานนี้เป็นการพัฒนาระบบหลังจ่ายกำลังสวิตช์ที่มีการปรับตั้ง มีแรงดันไฟฟ้าค้านออกเท่ากับ 5 โวลต์ และกระแสไฟฟ้าค้านออกเท่ากับ 100 มิลลิแอมป์ โดยจ่ายให้กับโหลดที่ค่าความต้านทาน 50 โอห์ม จากผลการทดลองพบว่าแรงดันไฟฟ้าค้านออกที่ได้มีค่าเท่ากับ 5.09 โวลต์ มีความคลาดเคลื่อนของแรงดันไฟฟ้าค้านออกเท่ากับ 1.8 % และกระแสไฟฟ้าค้านออกมีค่าเท่ากับ 103.40 มิลลิแอมป์ มีค่าเบอร์เซนต์ความคลาดเคลื่อนเท่ากับ 3.40 % ให้กำลังไฟฟ้า 526.326 มิลลิวัตต์ คิดเป็นเบอร์เซนต์ความคลาดเคลื่อนเท่ากับ 6.00 % และมีริพเบลแฟกเตอร์เท่ากับ 4.45 % จากการทดลองที่มีการเปลี่ยนโหลดที่มีค่าความต้านทานจำนวน 16 ค่า ดังตารางที่ 4.5 พบว่าค่าความต้านทานโหลด มีค่าเพิ่มมากขึ้น ส่งผลให้แรงดันไฟฟ้ามีค่าเพิ่มขึ้นเล็กน้อย ส่วนกระแสไฟฟ้าจะมีค่าลดลงซึ่งค่าไกล์เคียงกับค่าปรับตั้งที่ต้องการ เมื่อหาค่าประสิทธิภาพของแหล่งจ่ายกำลังสวิตช์จะคิดเป็นเบอร์เซนต์ได้เท่ากับ 90.68 % มีค่ากำลังสูญเสียภายในระบบเท่ากับ 0.054 วัตต์ ทำให้หากค่าเบอร์เซนต์แรงดันคงที่เท่ากับ 2.98 % พบร่วมกับการทดลองทั้ง 16 ค่าวางจะมีเสถียรภาพในการคงค่าแรงดันค้านออกได้ดี แม้แรงดันค้านเข้าหรือโหลดเปลี่ยนแปลงไป ค่าที่มีเสถียรภาพดีที่สุดอยู่ในช่วงโหลดที่ค่าความต้านทาน 50 โอห์ม

5.2 ปัญหา ข้อเสนอแนะ และแนวทางแก้ไข

5.2.1 ปัญหาเรื่องแรงดันค้านออกมีค่าไม่คงที่

5.2.2 ปัญหาในค้านอุปกรณ์ในการออกแบบวงจรหลังจ่ายกำลังสวิตช์ ซึ่งมีมือแปลงไฟฟ้านั้นมีขนาดเล็กและผลิตามาน้อยทำให้ค่าที่ได้นั้นไม่ค่อยตรงตามที่ต้องการ แนวทางในการแก้ไขทำการพัฒนามือแปลงเองหรือเลือกใช้มือแปลงที่มีค่าไกล์เคียงที่สุด

5.3 แนวทางในการพัฒนาต่อไป

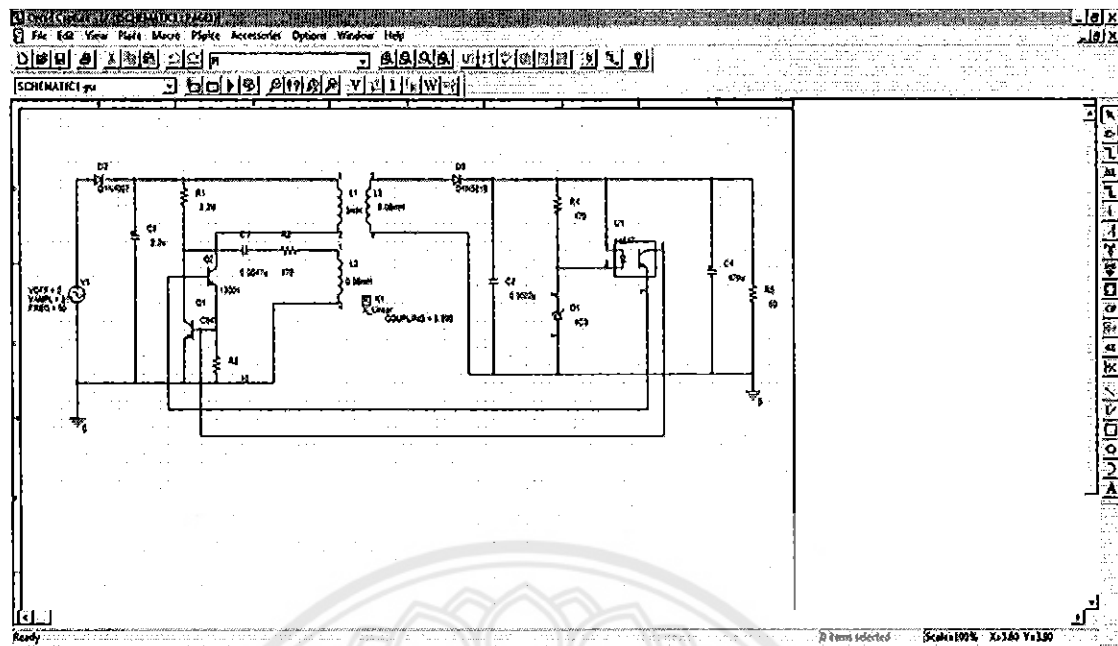
- 5.3.1 ต้องมีวงจรควบคุมแรงดันให้คงที่และมีเสถียรภาพมากขึ้น
- 5.3.2 เพิ่มขีดความสามารถจ่ายแรงดันไฟฟ้าและกระแสไฟฟ้าให้เพิ่มมากขึ้น
- 5.3.3 เพิ่มวงจรป้องกันกระแสไฟลัดซ้อนกลับเพื่อป้องกันอุปกรณ์เสียหายเมื่อมีการลัดวงจร



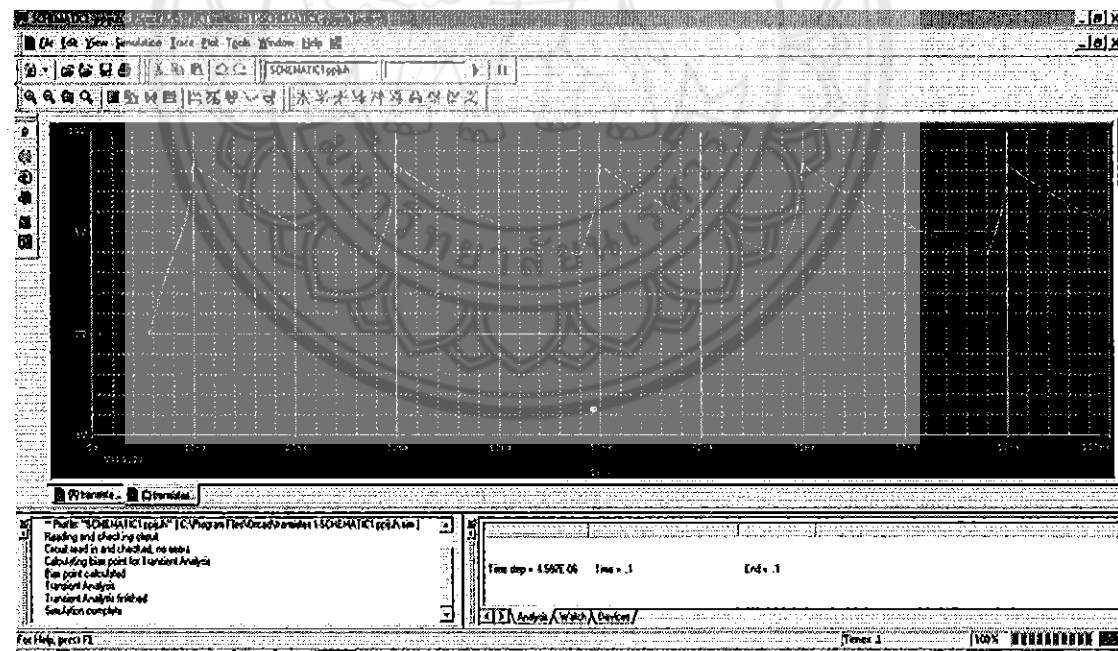
เอกสารอ้างอิง

- [1] รายงานสื้อประกอบการทำโครงการ วันที่ 2 พ.ศ 58
หนังสือเทคนิคและการออกแบบ สวิตชิ่งเพาเวอร์ซัพพลาย สุวัฒน์ ดั่น พิมพ์ครั้งที่ 1 กทม.
บริษัท เอนเทลไทย จำกัด .พ.ศ.2521
- [2] รายงานสื้อประกอบการใช้โปรแกรม Pspice วันที่ 5 ส.ค. 58
Pspice สำหรับวงจรแปลงผกผันกำลัง พศ.ดร.อภินันท์ อุร โสภณ พิมพ์ครั้งที่ 1 กทม. ดาว
กมลพับลิชชิ่ง.2556
- [3] ค้นหาข้อมูลวงจรสวิตชิ่งเพาเวอร์ซัพพลาย วันที่ 8 ต.ค.58
https://www.cpe.ku.ac.th/~yuen/204471/power/power_regulator/#TRANSFORMER_COUPLED
- [4] ค้นหาข้อมูลหลักการทำางานของวงจรพุช-พู คอนเวอร์เตอร์ วันที่ 10 ต.ค.58
https://www.cpe.ku.ac.th/~yuen/204471/power/switching_regulator/
- [5] ค้นหาข้อมูลหลักการหม้อแปลงสวิตชิ่ง วันที่ 3 พ.ย.58
<http://ssc-servicecom.blogspot.com/2014/02/switching-supply.html>

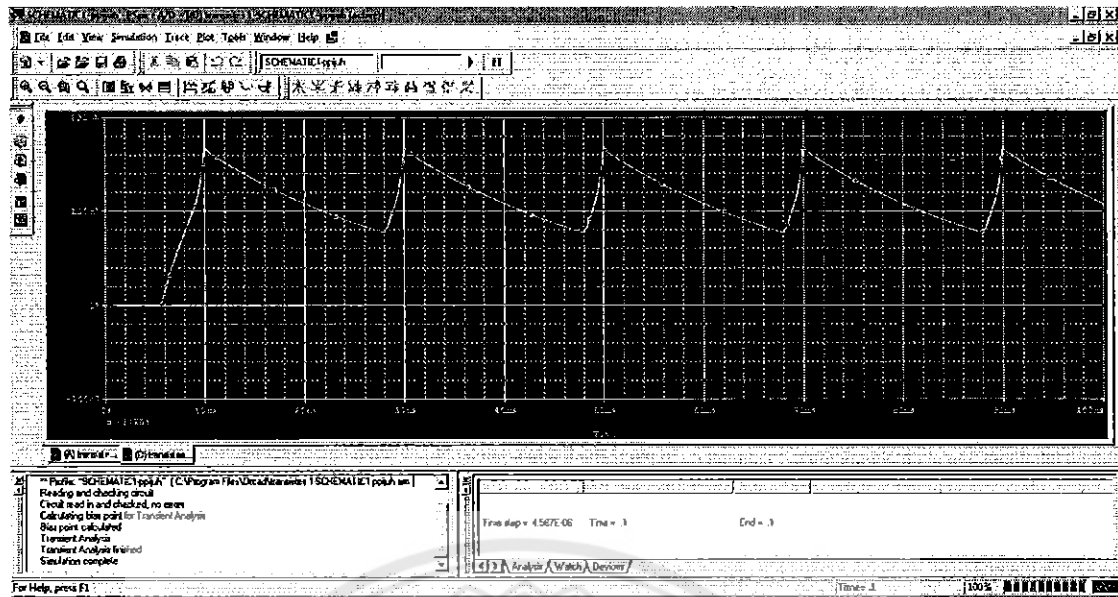




รูปวงจรเพาเวอร์ซัพพลายขนาดเล็ก



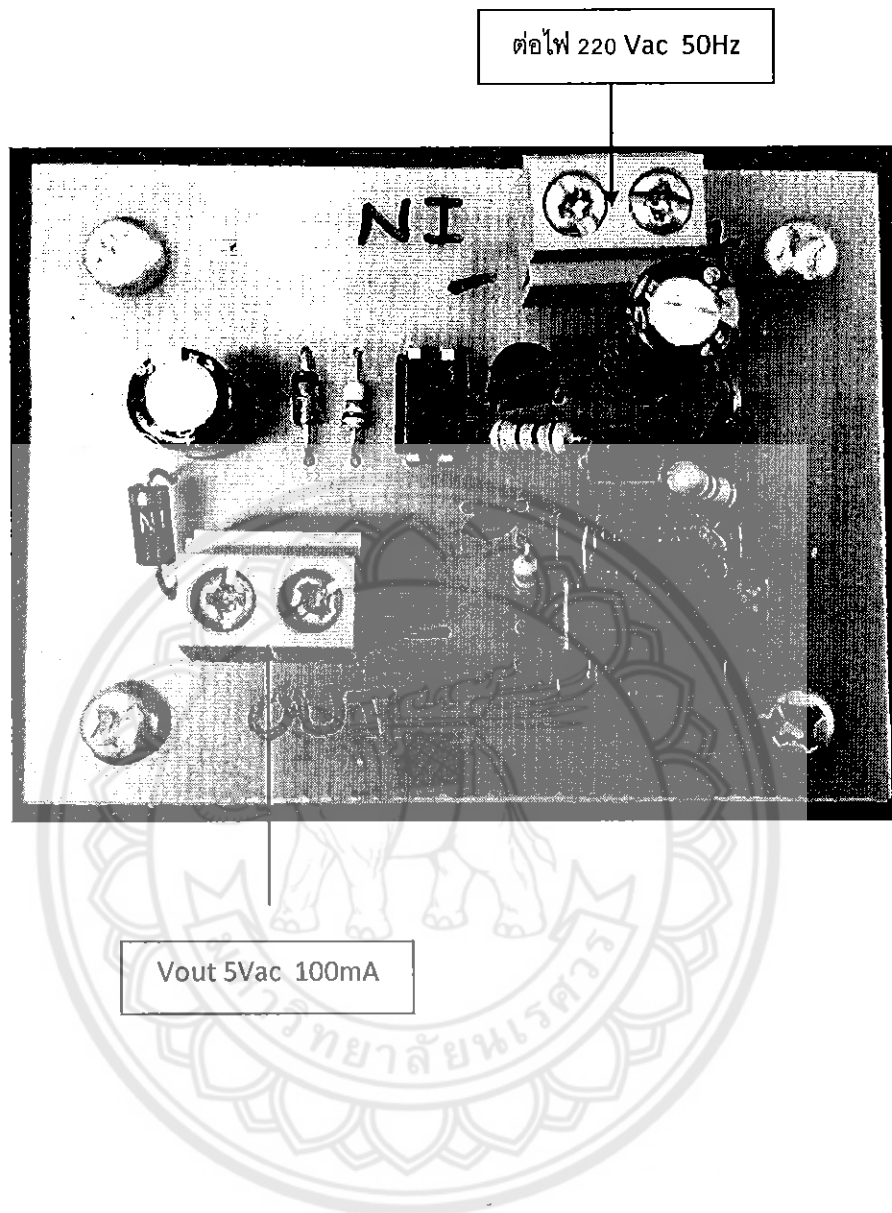
รูปกราฟ แรงดันไฟฟ้าค่าน้อยที่สุด



รูปกราฟกระแสไฟฟ้าด้านเอาท์พุต





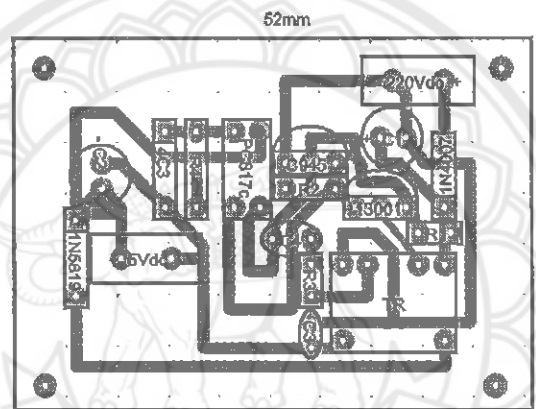
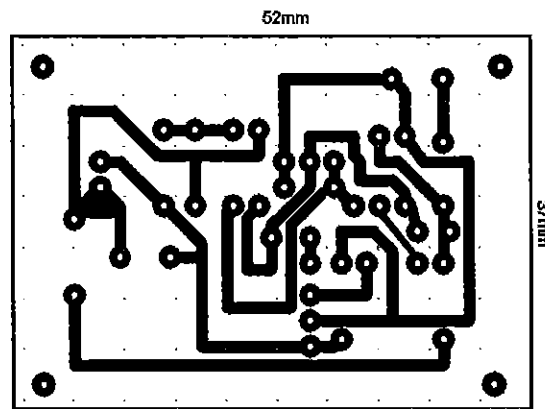


ภาคผนวก ค

รายละเอียด ลายวงจรสำหรับกัดปรินและลงอุปกรณ์โดยใช้โปรแกรม

Circuit Wizard ในการออกแบบ

มหาวิทยาลัยนเรศวร



ภาคผนวก ง

เอกสารข้อมูลอ้างอิงของอุปกรณ์ภายในห้อง



PC817 Series

High Density Mounting Type Photocoupler

- Lead forming type (L type) and taping reel type (P type) are also available. (PC817W/PC817P)
- TÜV (VDE0184) approved type is also available as an option.

■ Features

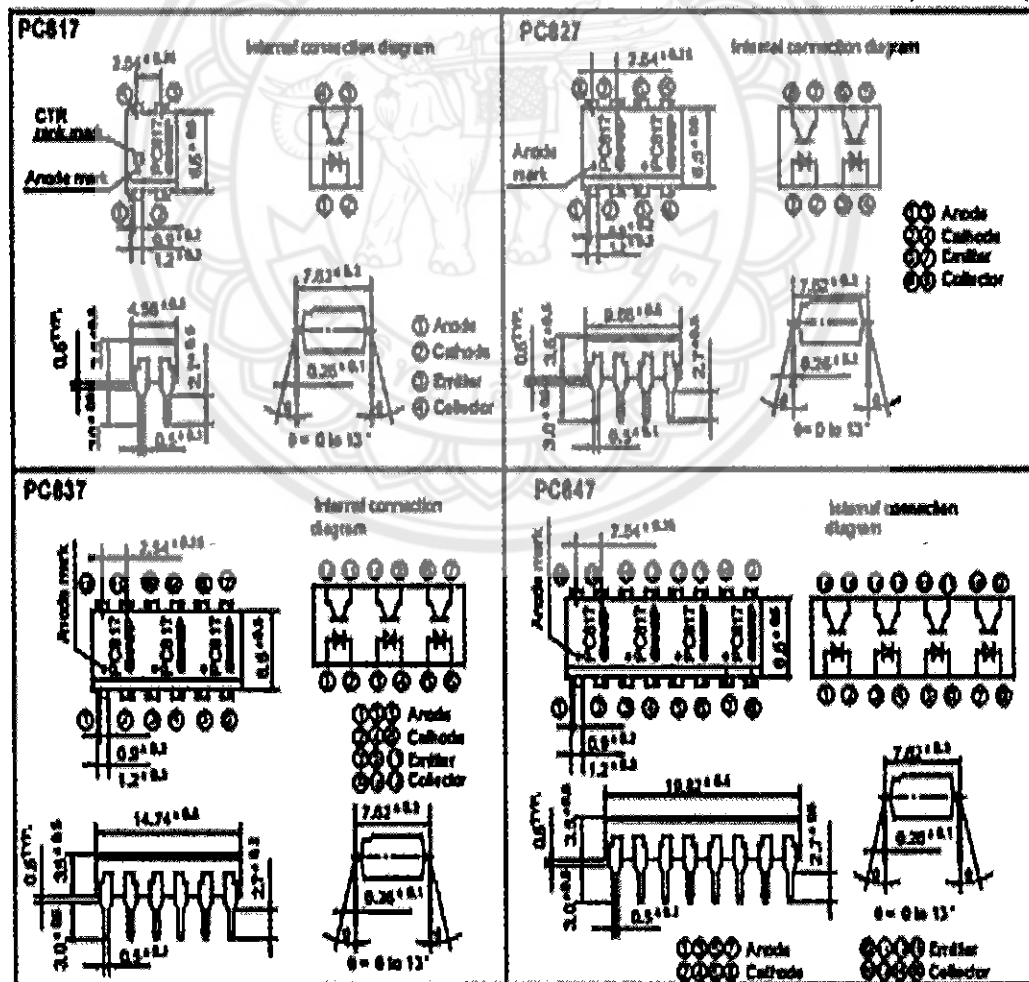
1. Current transfer ratio
(CTR: MIN. 50% at $I_s = 5mA$, $V_{CC}=5V$)
2. High isolation voltage between input and output ($V_m = 5000V_{rms}$)
3. Compact dual-in-line package
PC817 : 1-channel type
PC827 : 2-channel type
PC837 : 3-channel type
PC847 : 4-channel type
4. Recognized by UL, file No. E61380

■ Outline Dimensions

■ Applications

1. Computer terminals
2. System appliances, measuring instruments
3. Registers, copiers, automatic vending machines
4. Electric home appliances, such as fan heaters, etc.
5. Signal transmission between circuits of different potentials and impedances

(Unit : mm)



* In the interest of protection by device specification sheets, SHARP does not responsibility for any defects that may be experienced using any SHARP's devices, shown in catalog, data books, etc. Contact SHARP in order to obtain the latest version of the device specification sheet before using any SHARP's device.

SHARP

PC817 Series

■ Absolute Maximum Ratings

(Ta = 25°C)

Parameter	Symbol	Rating	Unit
Input	Forward current	I _F	50 mA
	*Peak forward current	I _{FM}	1 A
	Reverse voltage	V _R	6 V
Output	Power dissipation	P	70 mW
	Collector-emitter voltage	V _{CEO}	35 V
	Emitter-collector voltage	V _{EBO}	6 V
	Collector current	I _C	50 mA
	Collector power dissipation	P _C	150 mW
	Total power dissipation	P _{tot}	300 mW
*Isolation voltage	V _{iso}	5000 V _{iso}	V _{iso}
	Operating temperature	T _{OP}	-10 to +100 °C
	Storage temperature	T _{ST}	-55 to +125 °C
	Soldering temperature	T _{SOL}	260 °C
	Lead temperature	T _{LEAD}	260 °C

*1 Pulse width < 10μsec, Duty ratio : 0.001

*2 40 to 60% RH, AC for 1 minute

*3 For 10 seconds

■ Electro-optical Characteristics

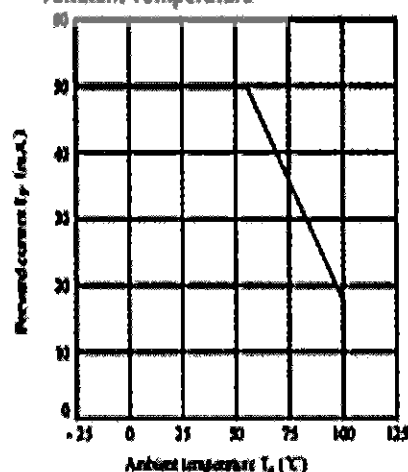
(Ta = 25°C)

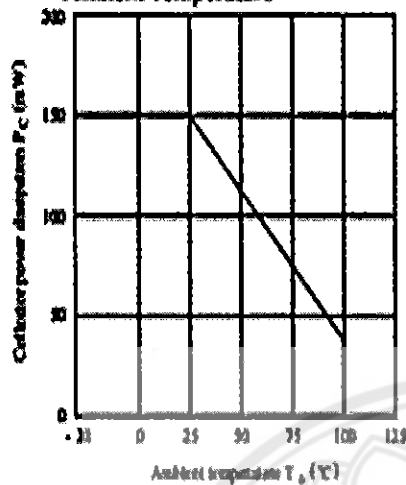
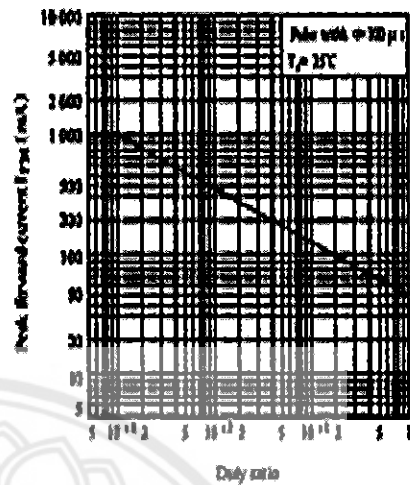
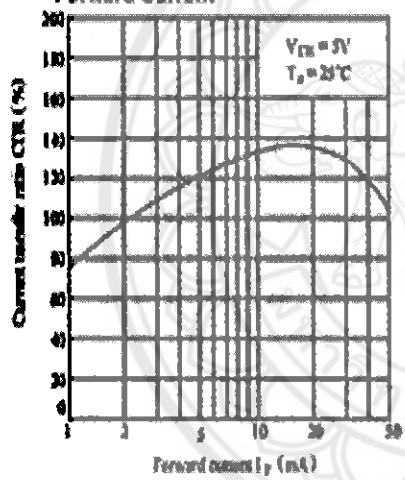
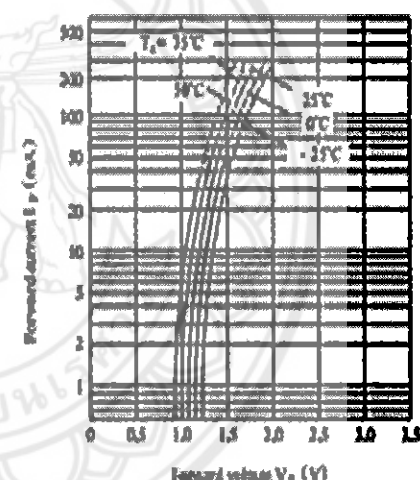
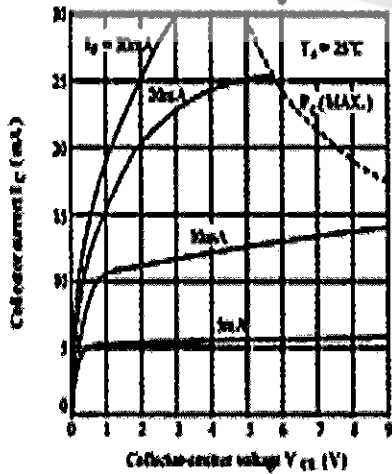
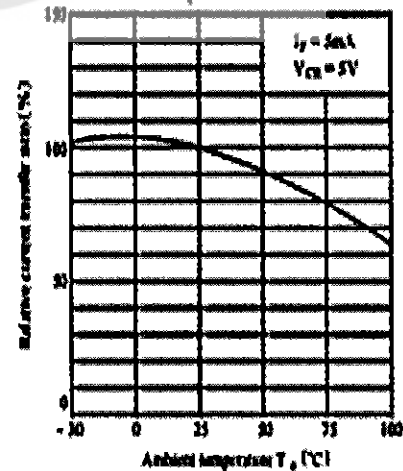
Parameter	Symbol	Condition	MIN.	TYP.	MAX.	Unit
Input	Forward voltage	V _F	I _F = 25mA	-	1.2	V
	Peak forward voltage	V _{FM}	I _{FM} = 0.5A	-	-	V
	Reverse current	I _R	V _R = 4V	-	-	μA
Output	Terminal capacitance	C _T	V = 0, f = 1MHz	-	30	pF
	Collector dark current	I _{CO}	V _{CE} = 20V	-	-	A
	*Current transfer ratio	CTR	I _C = 5mA, V _{CE} = 3V	50	-	%
Transfer characteristics	Collector-emitter voltage	V _{CEO}	I _C = 25mA, I _R = 1mA	-	0.1	V
	Isolation resistance	R _{iso}	DC500V, 40 to 60% RH	5 × 10 ¹⁰	10 ¹¹	Ω
	Floating capacitance	C _F	V = 0, f = 1MHz	-	0.6	pF
	CTR-AC frequency	f _r	V _{CE} = 3V, I _C = 25mA, R _L = 100Ω, -M	-	20	Hz
	Response time	t _r	V _{CE} = 2V, I _C = 25mA, R _L = 100Ω	-	4	μs
	Rise time	t _{ris}		-	3	μs
	Fall time	t _{fall}		-	15	μs

*4 Classification table of current transfer ratio is shown below.

Model No.	Rank mark	CTR (%)
PC817A	A	10 to 160
PC817B	B	130 to 260
PC817C	C	200 to 400
PC817D	D	300 to 600
PC817AB	A or B	80 to 260
PC817BC	B or C	130 to 400
PC817CD	C or D	200 to 600
PC817AC	A, B or C	10 to 400
PC817BD	B, C or D	130 to 600
PC817AD	A, B, C or D	80 to 600
PC817	A, B, C, D or N/A	50 to 600

*1 to 3 or 4

Fig. 1 Forward Current vs.
Ambient Temperature

SHARP**PC817 Series****Fig. 2 Collector Power Dissipation vs. Ambient Temperature****Fig. 3 Peak Forward Current vs. Duty Ratio****Fig. 4 Current Transfer Ratio vs. Forward Current****Fig. 5 Forward Current vs. Forward Voltage****Fig. 6 Collector Current vs. Collector-emitter Voltage****Fig. 7 Relative Current Transfer Ratio vs. Ambient Temperature**

SHARP**PC817 Series**

Fig. 8 Collector-emitter Saturation Voltage vs. Ambient Temperature

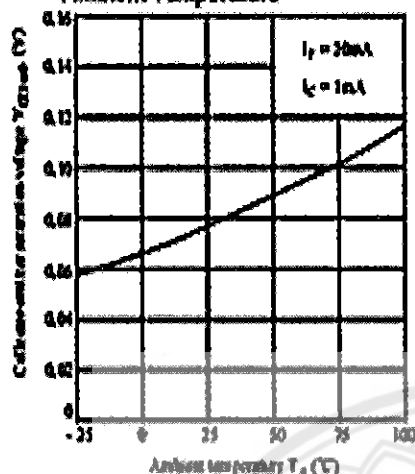


Fig. 9 Collector Dark Current vs. Ambient Temperature

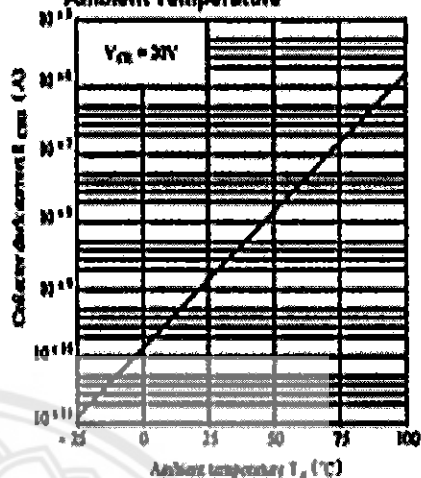


Fig.10 Response Time vs. Load Resistance

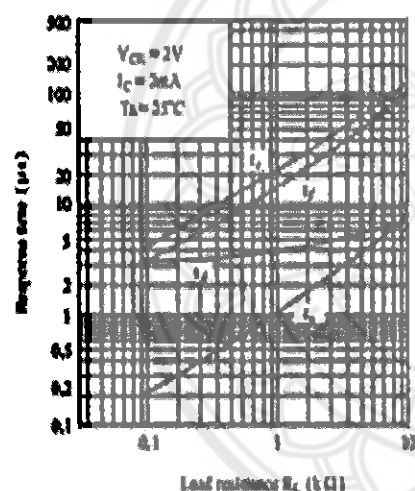
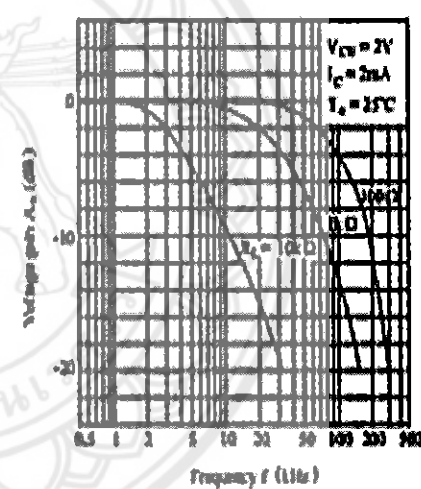
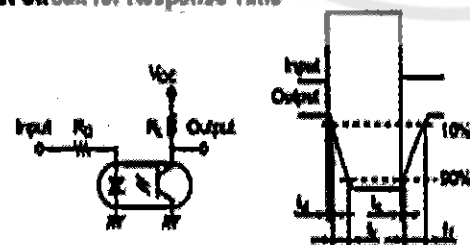


Fig.11 Frequency Response



Test Circuit for Response Time



Test Circuit for Frequency Response

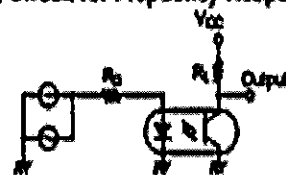
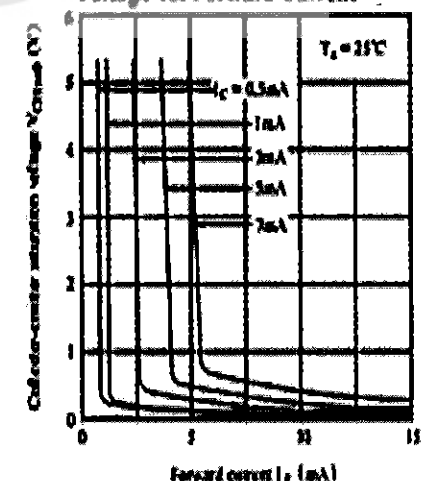


Fig.12 Collector-emitter Saturation Voltage vs. Forward Current



● Please refer to the chapter "Precautions for Use"



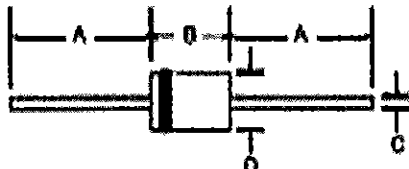
1N4001 - 1N4007

1A RECTIFIER

Please click here to visit our online splice module database.

Features

- Diffused Junction
- High Current Capability and Low Forward Voltage Drop
- Surge Overload Rating to 30A Peak
- Low Reverse Leakage Current
- Lead Free Finish, RoHS Compliant (Note 3)



Mechanical Data

- Case: DO-41
- Case Material: Molded Plastic, UL Flammability Classification Rating 94V-0
- Moisture Sensitivity: Level I per J-STD-020C
- Terminals: Tinrich - Bright Tin, Plated Leads Solderable per MIL-STD-202, Method 208
- Polarity: Cathode Band
- Mounting Position: Any
- Ordering Information: See Page 2
- Marking: Type Number
- Weight: 0.30 grams (approximate)

Dim.	DO-41 Plastic
A	25.43
B	4.04
C	8.71
D	1.00
All Dimensions in mm	

Maximum Ratings and Electrical Characteristics $\theta_{JA} = 25^\circ\text{C}$ unless otherwise specified

Single phase, half wave, 60Hz, resistive or inductive load.
For capacitive load, derate current by 20%.

Characteristic	Symbol	1N4001	1N4003	1N4003	1N4004	1N4005	1N4006	1N4007	Unit
Peak Reverse Recovery Voltage	V_{RRR}								
Working Peak Reverse Voltage	V_{WRR}	80	100	200	400	600	600	1000	V
DC Blocking Voltage	V_D								
ESD Reverse Voltage	V_{ESD}	25	75	140	280	420	680	700	V
Reverse Recovery Charge Current (Note 1) ($T_A = 25^\circ\text{C}$)	I_{RRR}				1.0				A
Non-Repetitive Peak Forward Surge Current (Note 2)	I_{FSR}				30				A
Single half sine-wave superimposed on rated load									
Forward Voltage @ $I_F = 1\text{A}$	V_{F1A}				1.0				V
Peak Reverse Current (@ $T_A = 25^\circ\text{C}$)	I_{RR}				0.0				mA
dc Rated DC Blocking Voltage @ $T_A = 100^\circ\text{C}$	V_{D100}				50				V
Typical Junction Capacitance (Note 3)	C_J		14			8			pF
Typical Thermal Resistance Junction to Ambient	R_{JA}				100				°K/W
Maximum DC Blocking Voltage Temperature	T_L				-4150				°C
Operating and Storage Temperature Range	$T_A, T_{Storage}$				-65 to +150				°C

Note:
1. Measured at ambient temperature at a distance of 0.4mm from the chip.
2. Measured at 1.0 MHz and applied reverse voltage of 1.0V DC.
3. Cu Direct 100%RoHS (Note 3). All applicable RoHS exemptions applied, see Cu Direct 100%RoHS Annex Note.

DIODES

INTEGRATED CIRCUITS

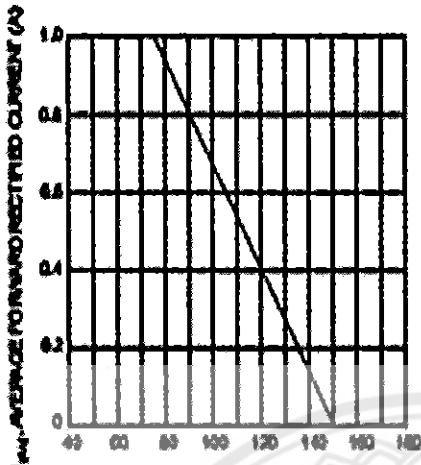


Fig. 1 Forward Current Derating Curve

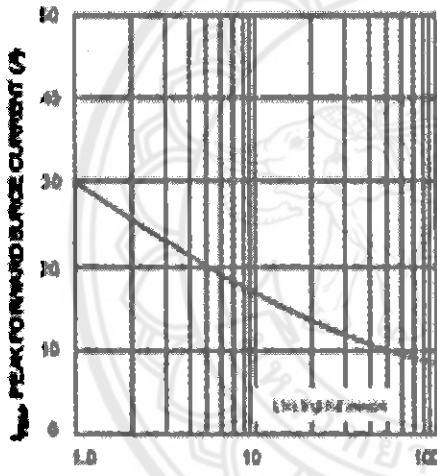


Fig. 3 Max Non-Repetitive Peak Forward Surge Current

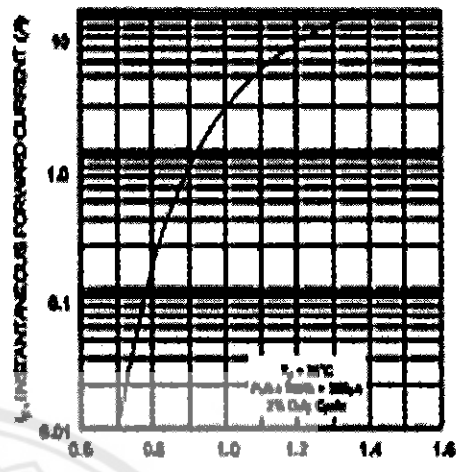


Fig. 2 Typical Forward Characteristics

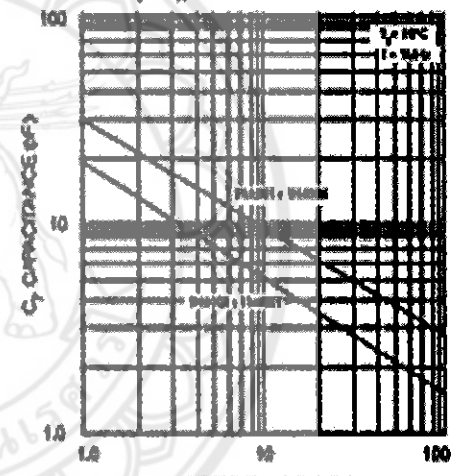


Fig. 4 Typical Junction Capacitance

Ordering Information (Note 4)

Part Number	Packaging	Marking
IN4004	DO-41 Plastic	1N4004
IN4004-S	DO-41 Plastic	1N4004
IN4005-Y	DO-41 Plastic	1N4005 1N4005-Y
IN4003-Q	DO-41 Plastic	1N4003
IN4003-T	DO-41 Plastic	1N4003 1N4003-T
IN4003-S	DO-41 Plastic	1N4003
IN4003-Y	DO-41 Plastic	1N4003 1N4003-Y
IN4004-Q	DO-41 Plastic	1N4004
IN4004-T	DO-41 Plastic	1N4004 1N4004-T
IN4004-S	DO-41 Plastic	1N4004
IN4005-Y	DO-41 Plastic	1N4005 1N4005-Y
IN4003-CY	DO-41 Plastic	1N4003 1N4003-CY
IN4004-C	DO-41 Plastic	1N4004
IN4005-T	DO-41 Plastic	1N4005 1N4005-T
IN4007-M	DO-41 Plastic	1N4007
IN4007-T	DO-41 Plastic	1N4007 1N4007-T

Note 4. For packaging details, visit our website at <http://www.diodes.com/packaging.aspx>.


IMPORTANT NOTICE

Diodes Incorporated and its subsidiaries reserve the right to make modifications, enhancements, improvements, corrections or other changes without further notice to any product herein. Diodes Incorporated does not assume any liability arising out of the application or use of any product described herein; neither does it convey any license under its patent rights, nor the rights of others. The user of products in such applications shall assume all risks of such use and will agree to hold Diodes Incorporated and all the companies whose products are represented on our website, harmless against all damages.

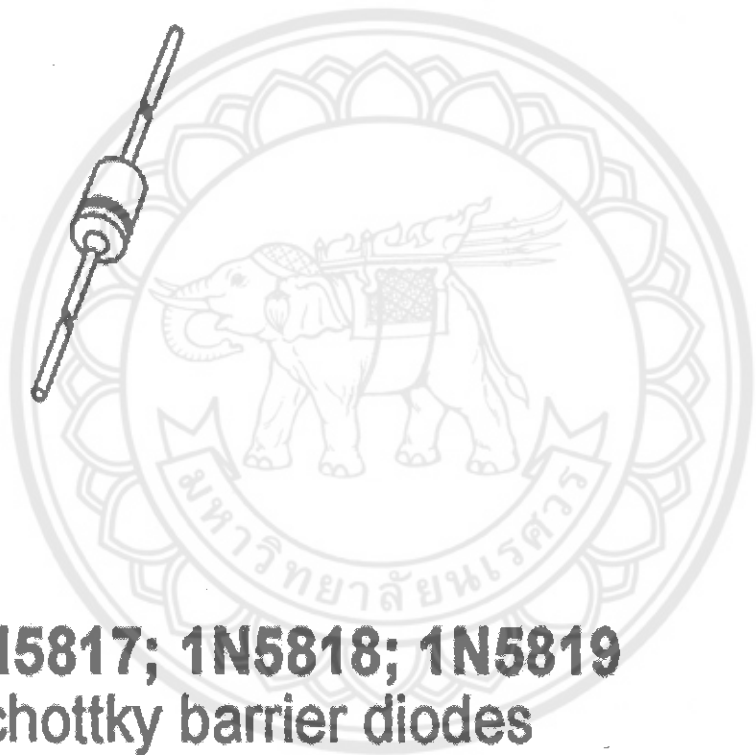
LIFE SUPPORT

Diodes Incorporated products are not authorized for use as critical components in life support devices or systems without the expressed written approval of the President of Diodes Incorporated.



DISCRETE SEMICONDUCTORS

DATA SHEET



**1N5817; 1N5818; 1N5819
Schottky barrier diodes**

Product specification
Supersedes data of April 1992

1996 May 03

Philips
Semiconductors



PHILIPS

Schottky barrier diodes**1N5817; 1N5818; 1N5819****FEATURES**

- Low switching losses
- Fast recovery time
- Guard ring protected
- Hermetically sealed leadless glass package.

DESCRIPTION

The 1N5817 to 1N5819 types are Schottky barrier diodes fabricated in planar technology, and encapsulated in SOD11 hermetically sealed glass packages incorporating ImplantTM technology.

(1) Implant is a trademark of Philips.

APPLICATIONS

- Low power, switched-mode power supplies
- Rectifying
- Polarity protection.



Fig.1 Simplified outline (SOD11) and symbol.

Schottky barrier diodes

1N5817; 1N5818; 1N5819

LIMITING VALUES

In accordance with the Absolute Maximum Rating System (IEC 134).

SYMBOL	PARAMETER	CONDITIONS	MIN.	MAX.	UNIT
V_R	continuous reverse voltage 1N5817 1N5818 1N5819		-	20 30 40	V
$V_{R(\text{pk})}$	non-repetitive peak reverse voltage 1N5817 1N5818 1N5819		-	24 34 44	V
$V_{R(\text{rep})}$	repetitive peak reverse voltage 1N5817 1N5818 1N5819		-	20 30 40	V
V_{RM}	max. working reverse voltage 1N5817 1N5818 1N5819		-	20 30 40	V
$I_{F(AV)}$	average forward current	$T_{amb} = 65^\circ\text{C}; R_{(A)25} = 100 \text{ K}\Omega$; note 1; $V_{A,25,4\mu\text{s}} = 0.2 \text{ V}$; note 2	-	1	A
$I_{F(\text{pk})}$	non-repetitive peak forward current	$I = 0.3 \text{ ms half sine wave};$ $\text{JEDEC method};$ $T_j = T_{j(\text{pk})}$ prior to surge; $V_R = 0$	-	25	A
T_{M2}	Melt temperature		-65	+175	$^\circ\text{C}$
T_j	Junction temperature		-	125	$^\circ\text{C}$

Notes

1. Refer to SOD81 standard mounting conditions.
2. For Schottky barrier diodes thermal run-away has to be considered, as in some applications, the reverse power losses P_R are a significant part of the total power losses. Nomograms for determination of the reverse power losses P_R and $I_{F(\text{pk})}$ rating will be available on request.

Schottky barrier diodes

1N5817; 1N5818; 1N5819

ELECTRICAL CHARACTERISTICS
 $T_{A(0)} = 25^\circ\text{C}$; unless otherwise specified.

SYMBOL	PARAMETER	CONDITIONS	MIN.	TYP.	MAX.	UNIT
V_F	forward voltage 1N5817	see Fig.2	-	-	320	mV
		$I_F = 0.1\text{ A}$	-	-	450	mV
		$I_F = 1\text{ A}$	-	-	750	mV
		$I_F = 3\text{ A}$	-	-	-	-
V_F	forward voltage 1N5818	see Fig.2	-	-	330	mV
		$I_F = 0.1\text{ A}$	-	-	550	mV
		$I_F = 1\text{ A}$	-	-	875	mV
		$I_F = 3\text{ A}$	-	-	-	-
V_F	forward voltage 1N5819	see Fig.2	-	-	340	mV
		$I_F = 0.1\text{ A}$	-	-	600	mV
		$I_F = 1\text{ A}$	-	-	900	mV
		$I_F = 3\text{ A}$	-	-	-	-
I_R	reverse current	$V_R = V_{RRMM}$; note 1	-	-	1	mA
		$V_R = V_{RRMM}; T_J = 100^\circ\text{C}$	-	-	10	mA
C_d	diode capacitance 1N5817 1N5818 1N5819	$V_R = 4\text{ V}; f = 1\text{ MHz}$	-	60	-	pF
			-	60	-	pF
			-	60	-	pF

Note

1. Pulsed test:
- $t_p = 300\ \mu\text{s}; S = 0.02$
- .

THERMAL CHARACTERISTICS

SYMBOL	PARAMETER	CONDITIONS	VALUE	UNIT
$R_{Th(ja)}$	Thermal resistance from junction to ambient	note 1	100	K/W

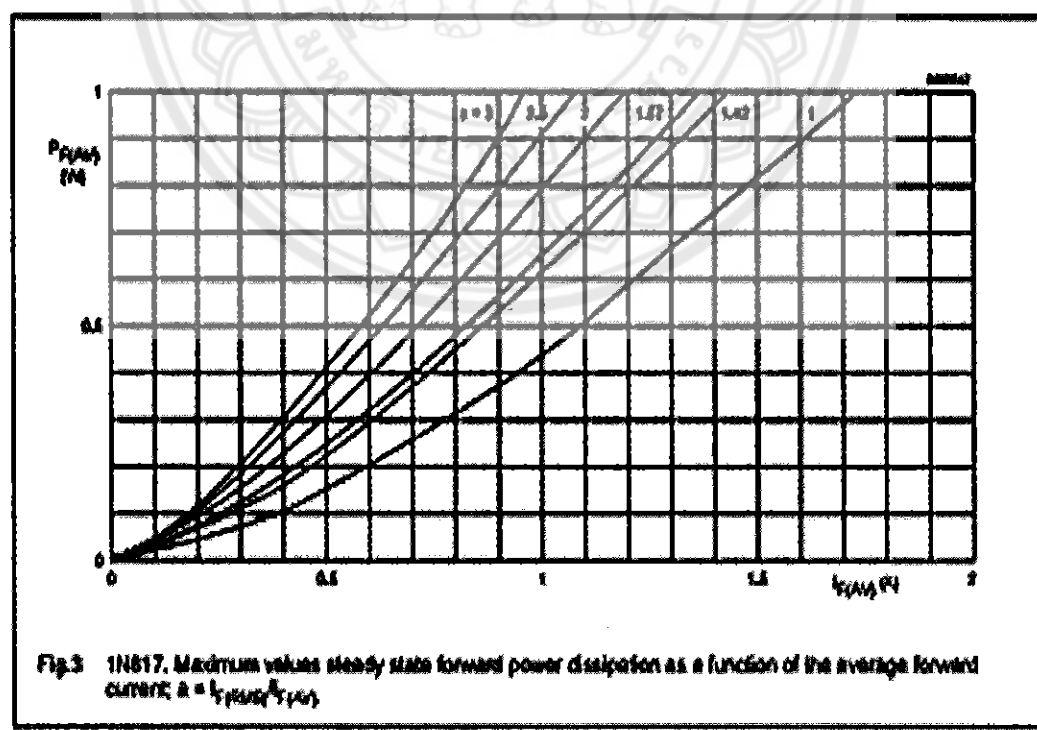
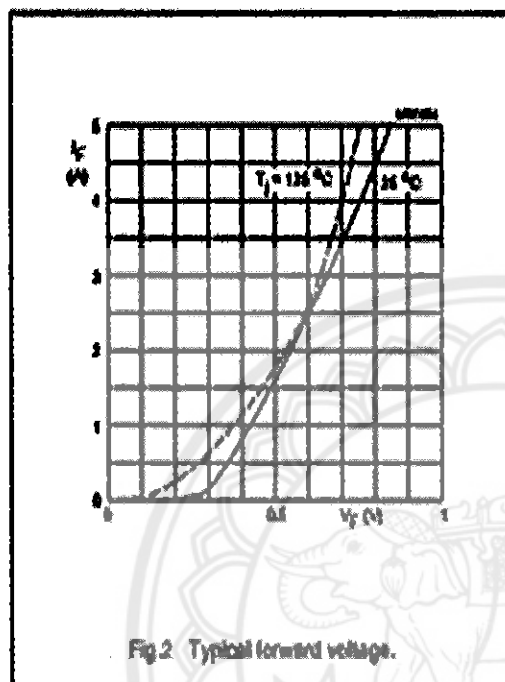
Note

1. Refer to 80081 standard mounting conditions.

Schottky barrier diodes

1N5817; 1N5818; 1N5819

GRAPHICAL DATA



Schottky barrier diodes

1N5817; 1N5818; 1N5819

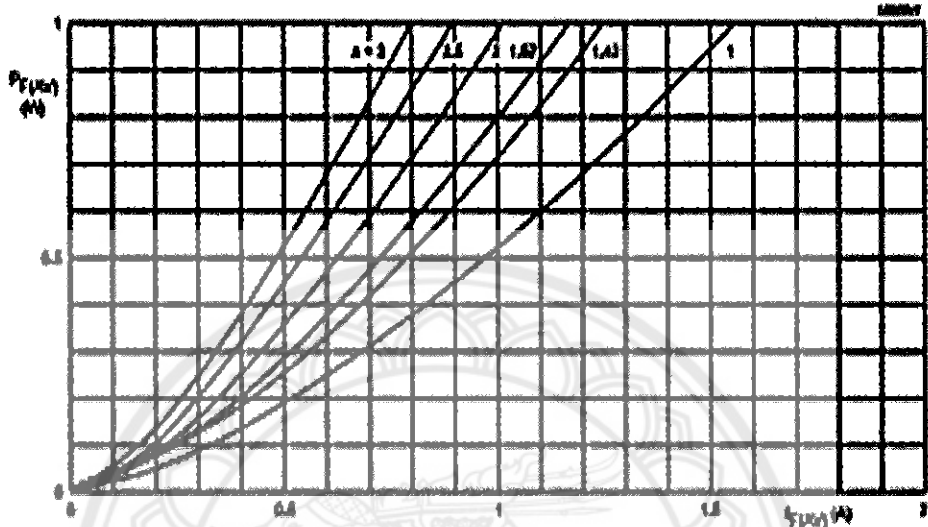


Fig.4 1N5818. Maximum values steady state forward power dissipation as a function of the average forward current; $a = k_{pmax}^2/T_{J(0)}$.

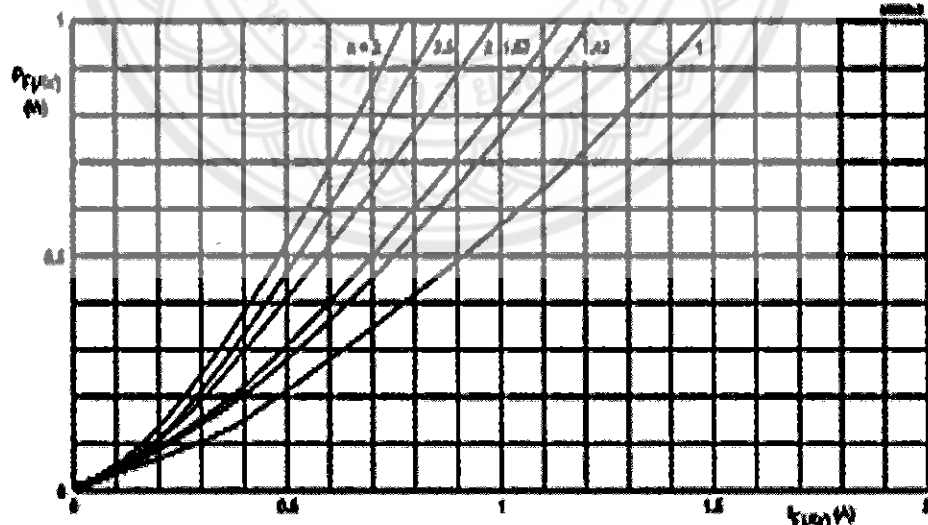


Fig.5 1N5819. Maximum values steady state forward power dissipation as a function of the average forward current; $a = k_{pmax}^2/T_{J(0)}$.

Schottky barrier diodes

1N5817; 1N5818; 1N5819

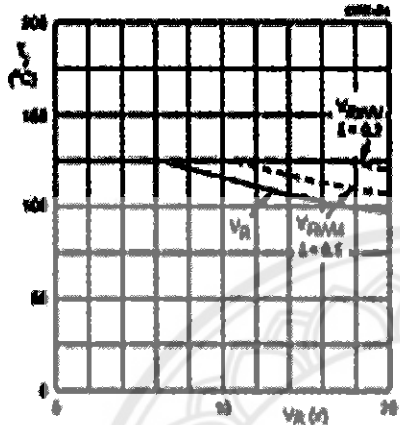


Fig.6 1N5817. Maximum permissible junction temperature as a function of reverse voltage; $R_{SDH} = 100 \text{ kA/V}$.

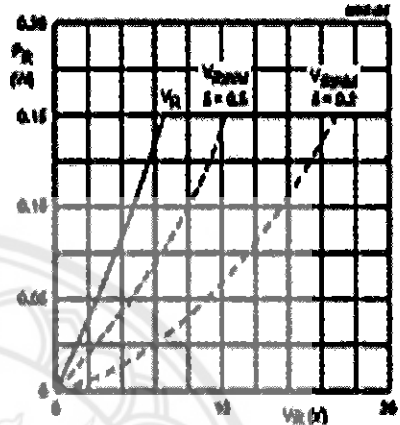


Fig.7 1N5817. Reverse power dissipation as a function of reverse voltage (max. values); $R_{SDH} = 100 \text{ kA/V}$.

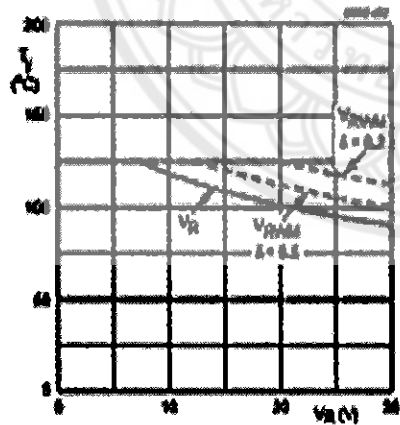


Fig.8 1N5818. Maximum permissible junction temperature as a function of reverse voltage; $R_{SDH} = 100 \text{ kA/V}$.

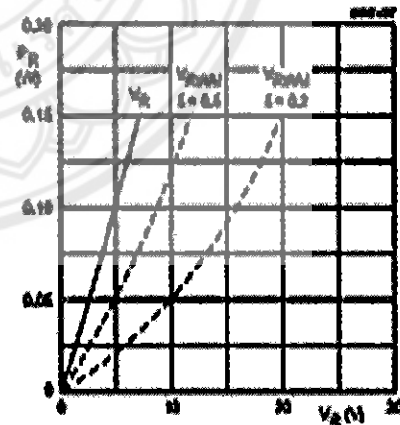


Fig.9 1N5818. Reverse power dissipation as a function of reverse voltage (max. values); $R_{SDH} = 100 \text{ kA/V}$.

Schottky barrier diodes

1N5817; 1N5818; 1N5819

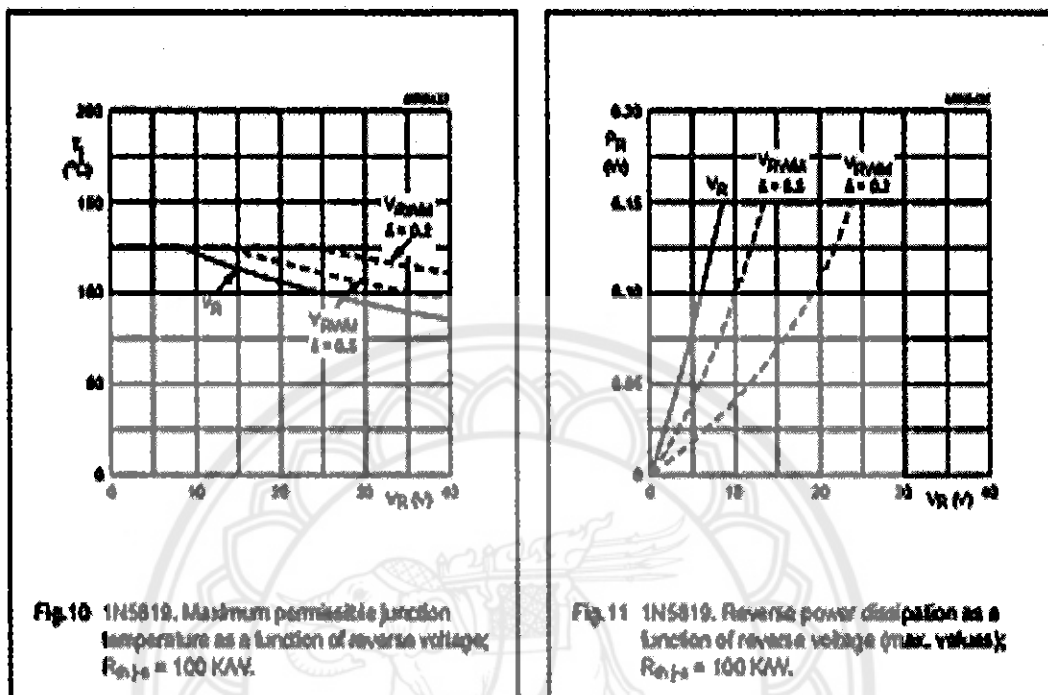


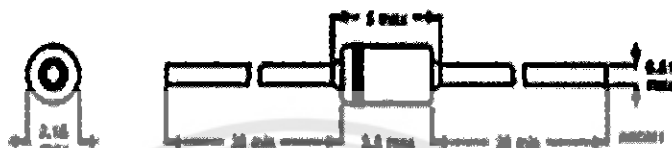
Fig.10 1N5819. Maximum permissible junction temperature as a function of reverse voltage;
 $R_{A1} = 100 \text{ KAV}$.

Fig.11 1N5819. Reverse power dissipation as a function of reverse voltage (max. values);
 $R_{A1} = 100 \text{ KAV}$.

Schottky barrier diodes

1N5817; 1N5818; 1N5819

PACKAGE OUTLINE



Dimensions in mm.

Fig.12 SOD81.

DEFINITIONS

Data sheet status	
Objective specification	This data sheet contains target or goal specifications for product development.
Preliminary specification	This data sheet contains preliminary data; supplementary data may be published later.
Product specification	This data sheet contains final product specifications.
Limiting values	
Limiting values given are in accordance with the Absolute Maximum Rating System (IEC 134). Stress above one or more of the limiting values may cause permanent damage to the device. These are stress ratings only and operation of the device at these or at any other conditions above those given in the Characteristics sections of the specification is not implied. Exposure to limiting values for extended periods may affect device reliability.	
Application Information	
Where application information is given, it is advisory and does not form part of the specification.	

LIFE SUPPORT APPLICATIONS

These products are not designed for use in life support appliances, devices, or systems where malfunction of these products can reasonably be expected to result in personal injury. Philips customers using or selling these products for use in such applications do so at their own risk and agree to fully indemnify Philips for any damages resulting from such improper use or sale.

This datasheet has been download from:

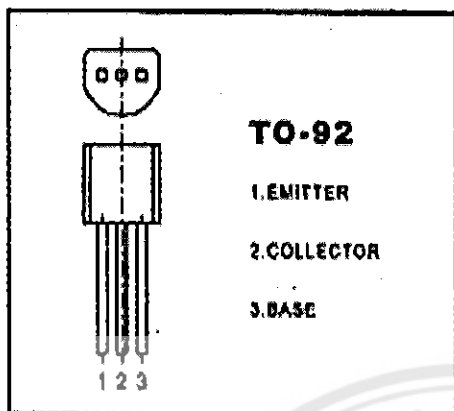
www.datasheetcatalog.com

Datasheets for electronics components.



TO-92 Plastic-Encapsulate Transistors

C945 TRANSISTOR(NPN)



FEATURES

- Small TO-92 package
- P_{diss} : 0.4W ($T_{\text{amb}}=25^{\circ}\text{C}$)
- I_{CEA} : 0.15 A
- I_{CA} : 0.05 A
- $V_{\text{BE(BR)}}$: 0.6 V
- f_T : 170 MHz ($T_{\text{amb}}=25^{\circ}\text{C}$)
- $T_{\text{J,T}_{\text{JK}}}$: -55°C to +150°C

ELECTRICAL CHARACTERISTICS

($T_{\text{amb}}=25^{\circ}\text{C}$ unless otherwise specified)

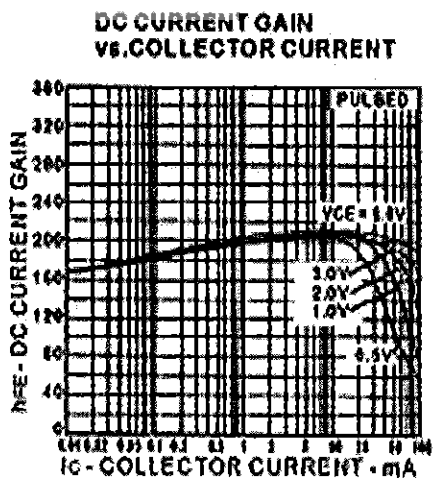
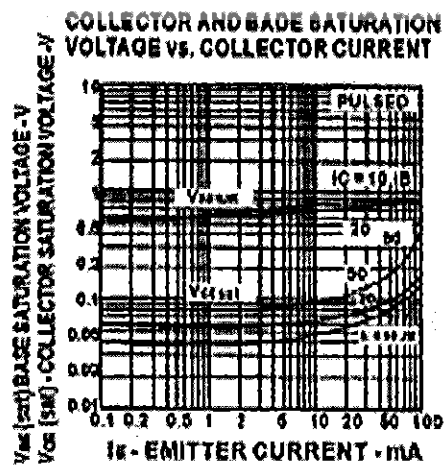
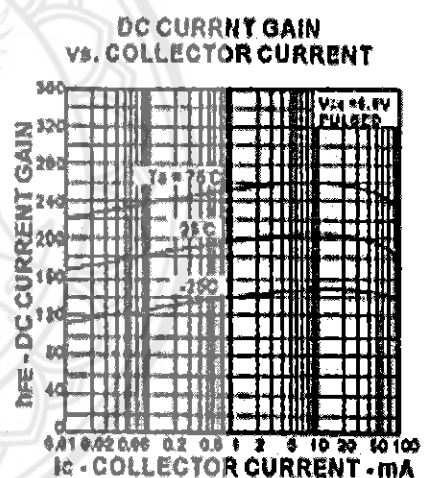
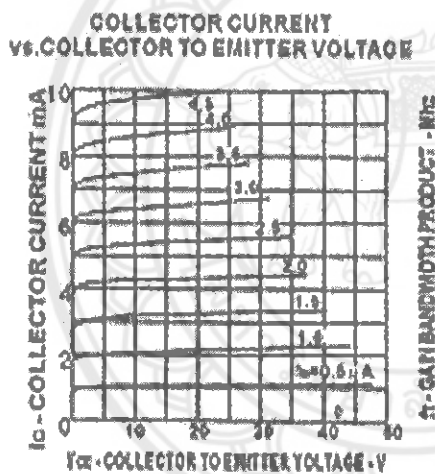
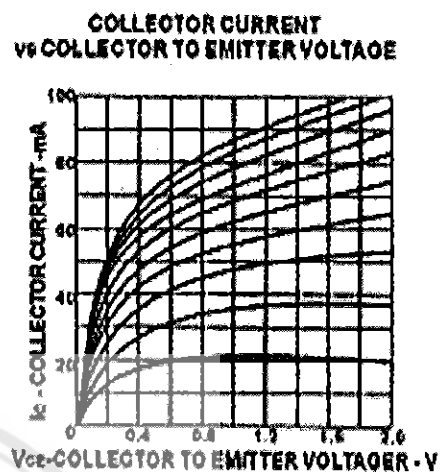
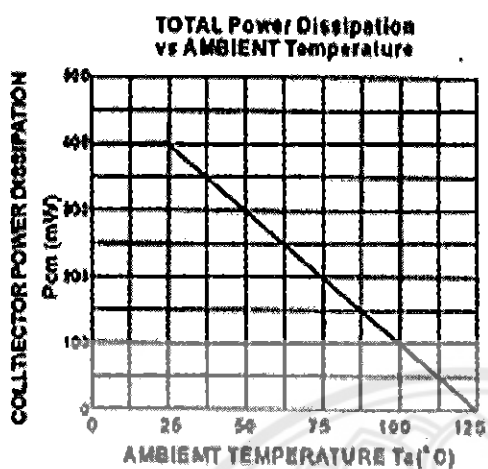
Collector-base breakdown voltage	$V_{\text{BR(CBO)}}$	$I_C=1000 \mu\text{A}, I_E=0$	60		V
Collector-emitter breakdown voltage	$V_{\text{BR(CEO)}}$	$I_C=0.1 \text{ mA}, I_E=0$	60		V
Emitter-base breakdown voltage	$V_{\text{BR(EBO)}}$	$I_E=100 \mu\text{A}, I_C=0$	5		V
Collector cut-off current	I_{CBO}	$V_{\text{CE}}=60 \text{ V}, I_E=0$		0.1	uA
Collector cut-off current	I_{CEN}	$V_{\text{CE}}=65 \text{ V}, R=10 \text{ MO}$		0.1	uA
Emitter cut-off current	I_{EBO}	$V_{\text{CE}}=6 \text{ V}, I_C=0$		0.1	uA
DC current gain	β_{DC}	$V_{\text{CE}}=6 \text{ V}, I_C=1 \text{ mA}$	70	700	
DC current gain	β_{DC}	$V_{\text{CE}}=6 \text{ V}, I_C=0.1 \text{ mA}$	40		
Collector-emitter saturation voltage	$V_{\text{CE(sat)}}$	$I_C=100 \text{ mA}, I_E=10 \text{ mA}$		0.3	V
Base-emitter saturation voltage	$V_{\text{BE(sat)}}$	$I_C=100 \text{ mA}, I_E=10 \text{ mA}$		1	V
Base-emitter voltage	V_{BE}	$I_E=310 \text{ mA}$		1.4	V
Transition frequency	f_T	$V_{\text{CE}}=6 \text{ V}, I_C=10 \text{ mA}$ $f=30 \text{ kHz}$	150		MHz

CLASSIFICATION OF f_T (MHz)

Rank	O	V	GR	BL
Range	70-140	120-240	200-400	350-700

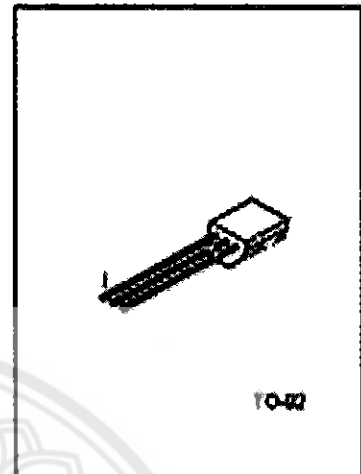
Typical Characteristics

C945



UTC MJE13001**NPN EPITAXIAL SILICON TRANSISTOR****FEATURES**

- * Collector-Emitter Voltage: $V_{CE(sat)}=400V$
- * Collector Current: $I_C=2A$



1: BASE 2: COLLECTOR 3: Emitter

ABSOLUTE MAXIMUM RATINGS

PARAMETER	SYMBOL	RATING	UNIT
Collector-Base voltage	V_{CB}	600	V
Collector-Emitter voltage	V_{CE}	400	V
Emitter-Base voltage	V_{BE}	7	V
Collector current	I_C	200	mA
Collector power dissipation	P_C	750	mW
Junction Temperature	T_J	150	°C
Storage Temperature	T_{STG}	-55 ~ +150	°C

ELECTRICAL CHARACTERISTICS ($T=25^{\circ}\text{C}$)

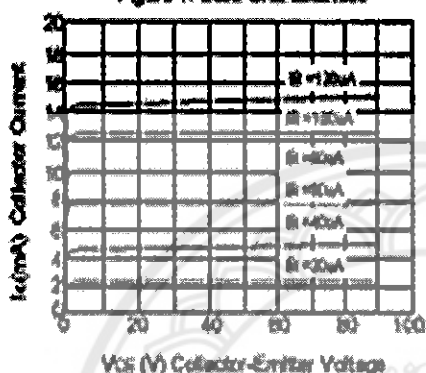
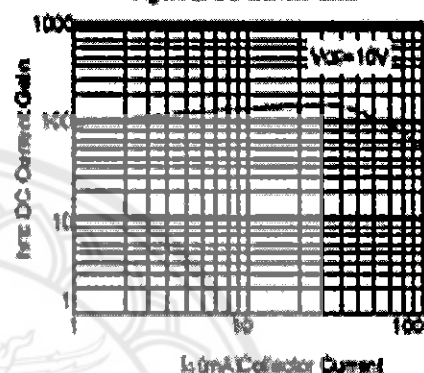
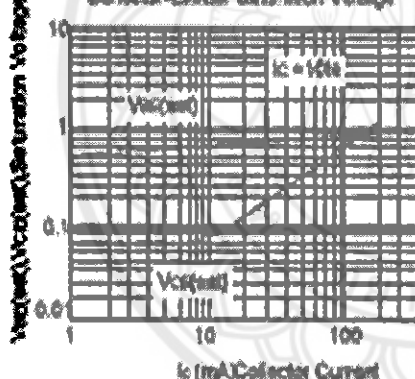
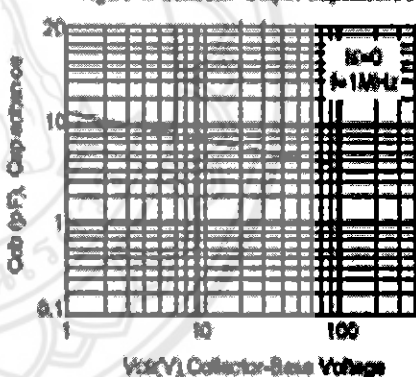
PARAMETER	SYMBOL	TEST CONDITIONS	MIN	TYP	MAX	UNIT
Collector-Emitter Breakdown Voltage	V_{BEBR}	$I=100\mu\text{A}, N=0$	600			V
Collector-Emitter Breakdown Voltage	V_{BEBR}	$I=1\text{mA}, N=0$	400			V
Emitter-Base Breakdown Voltage	V_{BERB}	$I=100\mu\text{A}, N=0$	7			V
Collector Cut-off Current	I_{Coff}	$V_{CE}=200V, I=0$			100	μA
Collector Cut-off Current	I_{Coff}	$V_{CE}=400V, I=0$			100	μA
Emitter Cut-off Current	I_{Eoff}	$V_{BE}=7V, I=0$			100	μA
DC current gain	β_{DC}	$V_{CE}=20V, I=20\mu\text{A}$	10	20		
	β_{DC}	$V_{CE}=10V, I=0.25\mu\text{A}$	5			
Collector-emitter saturation voltage	$V_{CE(sat)}$	$I=50\mu\text{A}, N=10\mu\text{A}$			0.5	V
Base-emitter Saturation Voltage	$V_{BE(sat)}$	$I=50\mu\text{A}, N=10\mu\text{A}$			1.2	V
Base-emitter Voltage	V_{BE}	$I=100\mu\text{A}$			1.1	V
Transition Frequency	f_T	$V_{CE}=20V, I=20\mu\text{A}, f=1\text{MHz}$	5			MHz
Fall Time	t_f	$I=50\mu\text{A} \text{ to } I=I_{off}/5\mu\text{A}$			0.3	μs
Rise Time	t_r	$V_{CE}=20V$			1.5	μs

UTC UNISONIC TECHNOLOGIES CO. LTD

ON4203-02A

UTC MJE13001**NPN EPITAXIAL SILICON TRANSISTOR****CLASSIFICATION OF nFE**

RANK	A	B	C	D	E	F	G	H	I	J	K	L
RANGE	10-15	15-20	20-25	25-30	30-35	35-40	40-45	45-50	50-55	55-60	60-65	65-70

TYPICAL CHARACTERISTICS**Figure 1. Static Characteristic****Figure 2. DC Current Gain****Figure 3. Base-Emitter Saturation Voltage
Collector-Emitter Saturation Voltage****Figure 4. Collector Output Capacitance**

UTC assumes no responsibility for equipment failures that result from using products at values that exceed, even fractionally, rated values (such as maximum ratings, operating condition ranges, or other parameters) listed in products specifications of any and all UTC products described or contained herein. UTC products are not designed for use in life support applications, devices or systems where malfunction of these products can be reasonably expected to result in personal injury. Reproduction in whole or in part is prohibited without the prior written consent of the copyright owner. The information presented in this document does not form part of any quotation or contract, is believed to be accurate and reliable and may be changed without notice.



Zener Diodes

0.5W Zener Diodes/DO-35 Package

Type	Grade	Zener Voltage		Dynamic Resistance		Reverse Current	
		V _Z (V)	I _Z (mA)	R _{DZ} (Ω)	I _{RR} (mA)	I _{RTA} (mA)	I _{RC} (mA)
2	A1	1.6	1.6	5	100	5	25
	A2	1.7	1.9				
	A3	1.8	2.0				
	B1	1.9	2.1				
	B2	2.0	2.2				
	B3	2.1	2.3				
	C1	2.2	2.4				
	C2	2.3	2.6				
	C3	2.4	2.6				
3	A1	2.5	2.7	5	100	5	25
	A2	2.6	2.8				
	A3	2.7	2.9				
	B1	2.8	3.0				
	B2	2.9	3.1				
	B3	3.0	3.2				
	C1	3.1	3.3				
	C2	3.2	3.4				
	C3	3.3	3.5				
4	A1	3.4	3.6	5	100	5	25
	A2	3.5	3.7				
	A3	3.6	3.8				
	B1	3.7	3.9				
	B2	3.8	4.0				
	B3	3.9	4.1				
	C1	4.0	4.2				
	C2	4.1	4.3				
	C3	4.2	4.4				
5	A1	4.3	4.5	5	100	5	25
	A2	4.4	4.6				
	A3	4.5	4.7				
	B1	4.6	4.8				
	B2	4.7	4.9				
	B3	4.8	5.0				
	C1	4.9	5.1				
	C2	5.0	5.2				
	C3	5.1	5.3				
6	A1	5.2	5.5	5	40	5	20
	A2	5.3	5.6				
	A3	5.4	5.7				
	B1	5.5	5.8				
	B2	5.6	5.9				
	B3	5.7	6.0				
	C1	5.8	6.1				
	C2	5.9	6.3				
	C3	6.0	6.4				

Excel Semiconductor

www.excel-semi.com
FaxBack +86-512-67606917

Rev. 3a, 1-Jun-2004

ประวัติผู้ดำเนินโครงการ



ชื่อ นายนันพันธุ์ จันทร์วิทูร
ภูมิลำเนา 192/348 หมู่ 4 ต.แม่เหียะ อ.เมือง จ.เชียงใหม่
ประวัติการศึกษา
- จบระดับมัธยมศึกษาจากโรงเรียนนันทบุรีวิทยา
- ปัจจุบันกำลังศึกษาระดับปริญญาตรี ชั้นปีที่ 8
สาขาวิชาวิศวกรรมไฟฟ้า คณะวิศวกรรมศาสตร์
มหาวิทยาลัยนเรศวร

E-mail: dark_mint@hotmail.com



ชื่อ นายกูมิน พงษ์ภักดี
ภูมิลำเนา 28/1 หมู่ 3 ต.ถ้ำลด อ.ปางมะผ้า จ.แม่ฮ่องสอน
ประวัติการศึกษา
- จบระดับมัธยมศึกษาจากโรงเรียนแม่ริวุฒิไกร
- ปัจจุบันกำลังศึกษาระดับปริญญาตรี ชั้นปีที่ 8
สาขาวิชาวิศวกรรมไฟฟ้า คณะวิศวกรรมศาสตร์
มหาวิทยาลัยนเรศวร

E-mail: mint_3525@hotmail.com